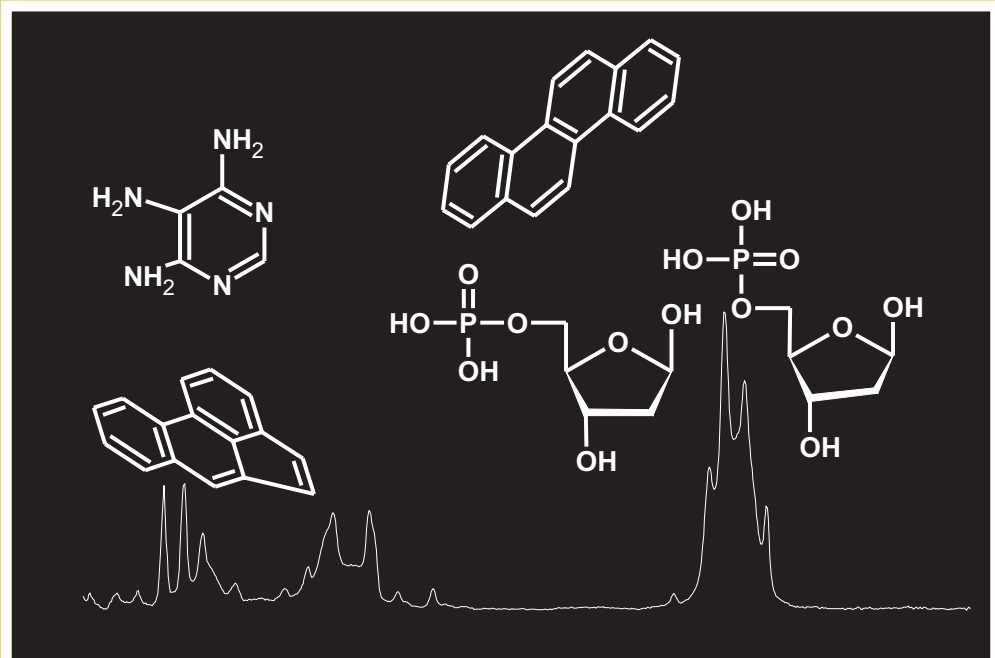
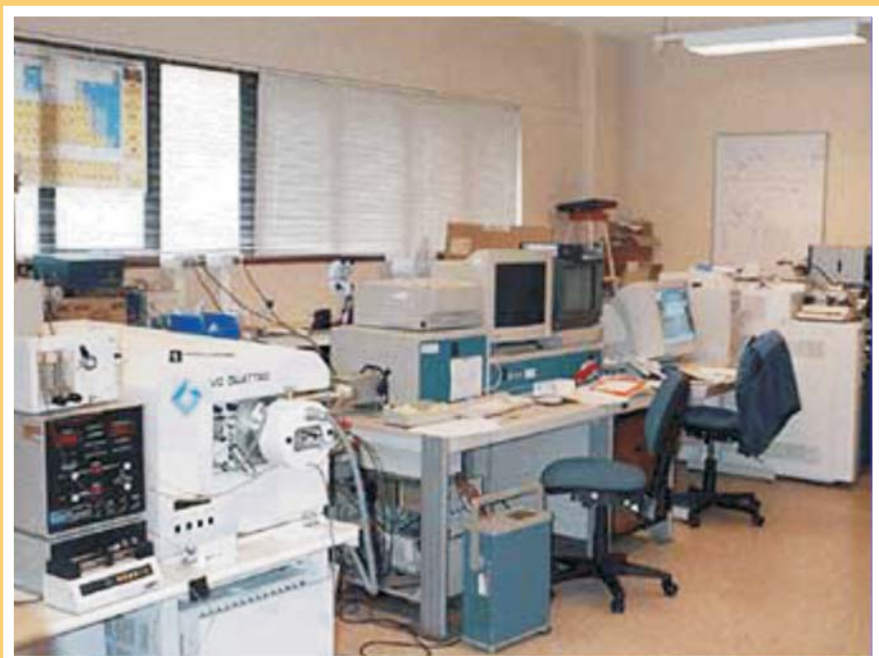




სკოენტიფიკული გათოვანის გამოყენება რჩგანელ ქიმიკი

ე.ელიზერაშვილი, ზ. გალიაშვილი, გ.ჭირაძეპავ



ტექნიკური უნივერსიტეტი
2005



თ. გელიაშვილი, ზ. გელიაშვილი, გ. ჭირაქაძე

ე. ელიზბარაშვილი, ჭ. გელიაშვილი, გ. ჭირაქაძე -
სპეციალური მეთოდების გამოყენება ორგანულ ქიმიაში

საექიროგეტრული მეთოდების გამოყენება რჩბანულ ექიმიაში



დამტკიცებულია სტუ-ს
სასწავლო-მეთოდური
საბჭოს მიერ

დამხმარე სახელმძღვანელო განკუთვნილია ქიმიური და ბიო-ლოგიური ტექნიკური ფაკულტეტის ქიმიის პროფილის (250100, 250106, 251604, 0405, 250200, 250800, 250900, 251100, 251300, 270200, 270400, 250300, 251505, 270704, 250400, 2707, 250101) სტუდენტთა და მაგისტრანტთათვის. დამხმარე სახელმძღვანელო დაეხმარება სტუდენტებს, მაგისტრანტებს, ასაირანტებსა და ქიმიკოს-მკვლევარებს ორგანული ნაერთების სტრუქტურული კვლევისათვის გამოყენებული ფიზიკური მეთოდების ათვისებაში.

წიგნი განხილულია სპეციალური მეთოდების (უი-, იუ-, H¹-ბმრ- და მას-სპეციალური) საშუალებით ორგანული ნაერთების სტრუქტურის დადგენა. მასალის თვალსაჩინოებისათვის მოყვანილია მრავალი კონკრეტული ამოცანა. წიგნის ერთვის საცნობარო მასალა ცხრილების სახით, რომელიც დიდ დახმარებას გაუწევს სპეციალური მეთოდების ინტერპრეტაციაში.

რეცენზენტები: პროფ. ა. სარუხანიშვილი, სტუ-ს ფიზიკური და კოლოიდური ქიმიის კათედრის გამგე პროფ. ჭ. კერესელიძე, თსუ-ს ფიზიკური ქიმიის კათედრა

რედაქტორი: ქ. მ. კ, დოც. ფ. აფხაზავა

© გამომცემლობა „ტექნიკური უნივერსიტეტი“, 2005
ISBN

თავისი
2005

შინასიტყვაობა

ქიმიის მეცნიერების განვითარების მთელი ისტორიის მანძილზე ქიმიკოს-მკვლევარებს მუდმივად აინტერესებდათ, თუ რა ნაერთი იყო რეტორტაში, სინჯარაში, კოლბაში, თუ როგორი იყო მისი სტრუქტურა და რა თვისებები გააჩნდა. მარტივი რაოდენობითი და თვისობრივი ანალიზის მეთოდები ვეღარ აკმაყოფილებდა მკვლევართა მზარდ მოთხოვნებს. ელემენტური ანალიზიც ძალიან ხშირად უძლური იყო, აეხსნა ამა თუ იმ ნივთიერების ქიმიური თვისებები.

ამან განაპირობა ნაერთების სტრუქტურების კვლევის ქიმიურ მეთოდებთან ერთად ინსტრუმენტული (ფიზიკური) მეთოდების შემუშავება, რომლებთაგან მოწინავე აღვილი უკავია ოთხ მეთოდის: ულტრაინფერ-, ინფრაწითელ-, ბირთვულ მაგნიტურ რეზონანსულ- და მას- სპექტრომეტრიას. დღეინათვის მათ აქტიურად იყენებენ ქიმიკოს-ექსპერიმენტატორები (თუმცა არა მარტო ქიმიკოსები!).

ზემოთ აღნიშნული მეთოდები განსაზღვრული აგრეგატული მდგომარეობის საკვლევი ნაერთის სტრუქტურის დადგენის საშუალებას იძლევა. ამ მეთოდებში სინჯი განიცდის სხვადასხვა სიხშირის ელექტრომაგნიტური გამოსხივებით ან ელემენტარული ნაწილაკების აჩქარებული ნაკადით ზონდირებას.

აქვე უნდა დავმინოთ, რომ ქიმიკოს-ექსპერიმენტატორი არ არის ვალდებული, ღრმად იყოს ორიენტირებული ფიზიკური კვლევის ამ მეთოდებში, იცოდეს მათი ძლიერი და სუსტი ასპექტები, მაგრამ ნებისმიერ მათგანს აუცილებლად უნდა ჰქონდეს საბაზო წარმოდგენა თითოეული მეთოდის შესაძლებლობისა და გამოყენების შესახებ.

წინამდებარე სახელმძღვანელოს მიზანი სწორედ ეს არის. მასში განხილულია სპექტრომეტრიის ოთხი ძირითადი მეთოდი: ულტრაინფერი, ინფრაწითელი, ბირთვულ-მაგნიტურ რეზონანსული და მას-სპექტრომეტრია.

სახელმძღვანელოს პირველი თავი მიძღვნილია იმ ზოგადი კანონზომიერებებისა და ძირითადი კანონებისადმი,

რომელთა ცოდნა აუცილებელია შემდგომი მასალის შესწავლისათვის.

მეორე თავში განხილულია ელექტრონული სპექტრომეტრია, რომელსაც განსაკუთრებით დიდი გამოყენება აქვს სინთეზური საღებრების, მათ შორის ფოტოქრომული, ლუმინესცენციური და სხვ. კვლევისას.

სახელმძღვანელოს მესამე თავში განვიხილავთ ინფრაწითელ სპექტრომეტრიას, რომელიც წარმოადგენს ნაერთის ფუნქციური ჯგუფების დადგენის მძლავრ საშუალებას.

მომდევნო თავი ეთმობა H^+ -ბრ სპექტრომეტრიას, რომელიც გამოიყენება ნაერთის აღნაგობის დადგენისათვის. აქვე უნდა აღინიშნოს, რომ ამ სპექტრომეტრიის საშუალებით შესაძლებელია განისაზღვროს ნაერთის რეგიო- და სტერეოიზომეტრები.

სახელმძღვანელოს ბოლო თავში გავეცნობით მას-სპექტრომეტრიას, რომლის დანიშნულებაა საკვლევი ნივთიერებების მოლეკულური მასის დადგენა მისი ფრაგმენტებად დაშლის გზით.

შევეცადეთ სახელმძღვანელოში მაგალითის სახით მოგვეყვანა თითოეული კლასის ნაერთზე ერთი სპექტრი მაინც, რათა აღწერილი მასალა უფრო თვალსაჩინო გამხდარიყო.

დასასრულს აღვნიშნავთ, რომ სპექტრომეტრიის თითოეული მეთოდი შესაძლებელია გამოყენებული იყოს ინდივიდუალურად, მაგრამ, როგორც წესი, ნაერთის აღნაგობის შესახებ ამომწურავი ინფორმაციის მიღება შესაძლებელი ხდება მხოლოდ მათი კომპლექსური გამოყენებით.

აღნიშნული მეთოდების შესახებ გამოქვეყნებულია უამრავი სახელმძღვანელო, რომლებშიც საქმაოდ ღრმად და საფუძვლიანად არის განხილული თითოეული სპექტრომეტრიის როგორც თეორიული, ისე პრაქტიკული ასპექტები.

ჩვენ შევეცდებით მოგაწოდოთ მხოლოდ ის მინიმალური მასალა აღნიშნული სპექტრომეტრული მეთოდების შესახებ, რომელთა ცოდნაც აუცილებელია ნებისმიერი ქიმიკოს-ექსპერიმენტატორისათვის.

შესავალი

1. ელექტრომაგნიტური გამოსხივება

ტალღური თეორიის თანახმად, გამოსხივება არის ელექტრული და მაგნიტური ველების რჩევა. c -ვექტორის პარალელურად მიმართული გამოსხივება შედგება ელექტრული და მაგნიტური ველებისაგან, რომელთა ვექტორები მიმართულია ერთმანეთისა და z -ღერძის მართობულად - ანუ იმყოფებიან (x,z) და (y,z) სიბრტყეებში.

ელექტრომაგნიტური ტალღა შესაძლებელია დახასიათდეს შემდეგი ძირითადი პარამეტრებით: E -ენერგია, λ -ტალღის სიგრძე, N -სიხშირე. აღნიშნული პარამეტრები შემდეგ ურთიერთდამოკიდებულებაში არიან (პლანკის კანონი):

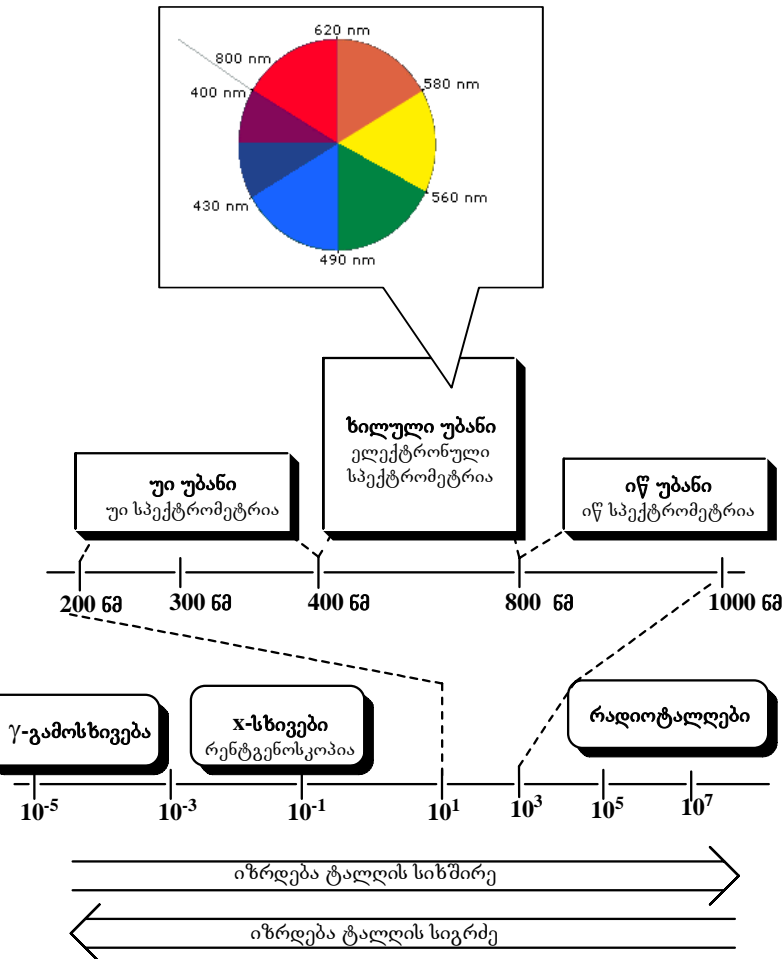
$$E = h\nu = h \frac{c}{\lambda}$$

სადაც c არის სინათლის სიჩქარე ($3 \cdot 10^8 \text{ m/s}$) და h არის პლანკის მუდმივა $6.62 \cdot 10^{-34} \text{ J}\cdot\text{s}$.

მოცემული ფორმულიდან ჩანს, რომ გამოსხივების ენერგია პირდაპირობირციულია რჩევის სიხშირისა და უკუპროპორციულია ტალღის სიგრძისა.

ენერგიის (ან ტალღის სიგრძის ან რჩევის სიხშირის) მიხედვით ანსხვავებენ სხვადასხვა სახის გამოსხივებას, რომელიც სქემატურად არის წარმოდგენილი ნახ. 1-ზე.

სხვადასხვა უბნის შესაბამისი გამოსხივება ხასიათდება განსხვავებული ტალღის სიგრძით (სიხშირით). ამიტომ ამ გამოსხივებებს გააჩნიათ სხვადასხვა ენერგია. ძირითადი აღნიშვნები და განზომილებები, რომლებიც ხშირად გამოიყენება ელექტრომაგნიტური გამოსხივების დასახასიათებლად, მოცემულია ქვემოთ (ცხრილი 1).



ნახ. 1 ელექტრომაგნიტური გამოსხივების სპექტრი. მკაცრი ზღვარი რომელიმე ორ უბანს შორის არ არსებობს. ტალღის სიგრძე იზრდება მარცხნიდან მარჯვნივ, ხოლო სიხშირე - მარჯვნიდან მარცხნივ. ნილული უბნისათვის მოცემულია სპექტრალური ფერები

2. შთანთქმა

ცხრილი 1. ელექტრომაგნიტური გამოსხივების, ტალღის სიგრძისა და სიხშირის აღნიშვნები და განზომილებები

სიღილე და განზომილება	განსაზღვრება
ტალღის სიგრძე (λ)	
\AA	ანგსტრუმი, $1\text{\AA}=10^{-10} \text{ m}$
\AA^{-1}	მიკრომეტრი (მიკრონი) $1\text{\AA}^{-1}=10^{-6}\text{m}=10^4 \text{ \AA}$
nm	ნანომეტრი (მილიმიკრონი) $1\text{nm}=10^{-9}\text{m}=10 \text{ \AA}$
სიხშირე (v)	
Hz	ჰერცი
s^{-1}	ტალღური რიცხვი. იგი ტოლია შებრუნებული ტალღის სიგრძისა სანტიმეტრებში ანუ ტალღების რაოდენობისა, რომელიც თავსდება 1 s^{-1} -ში.

უნდა აღინიშნოს, რომ არსებობს ელექტრომაგნიტური გამოსხივების გაზომვის ორი მეთოდი. ერთი მათგანის მიხედვით სიხშირე იზომება ჰერცებში, რომელსაც ზოგჯერ უწოდებენ „ჰერცმარიტ“ სიხშირეს. ტალღის სიხშირის მეორე მეთოდით გამოსახულება არ არის ჰერცმარიტი. ეს სიღილე - ტალღური რიცხვი (იგივე შებრუნებული ტალღის სიგრძე) არის მხოლოდ პროპორციული ჰერცმარიტი ტალღის სიხშირისა. მისი პროპორციული დამოკიდებულება ჩანს შემდეგი ფორმულიდან:

$$\bar{\nu} = \frac{1}{\lambda} = \frac{\nu}{c}$$

სპექტრომეტრიაში გამოყენებული მოლეკულათა აღზნების პროცესები დაქვანტულია ანუ მოლეკულის ენერგიის შემცველობა აღგზნებულ მდგომარეობაში ბირითად მდგომარეობასთან შედარებით განსხვავებულია ენერგიის გარკვეული დისკრეტული რაოდენობით. ამის გამო მოლეკულა არ შეიძლება შთანთქავდეს ელექტრომაგნიტურ გამოსხივებას (ემგ) ნებისმიერ სიხშირეზე. იგი შთანთქავს იმ ტალღის სიგრძეზე, რომლის ენერგიის შემცველობა ტოლია მოლეკულის ძირითად მდგომარეობასა და აღგზნებულ მდგომარეობას შორის ენერგიების სხვაობისა. სწორედ ეს ფენომენი იძლევა საშუალებას დავამყაროთ ურთიერთკავშირი სიხშირესა და გარკვეულ ენერგეტიკულ გადასვლებს შორის.

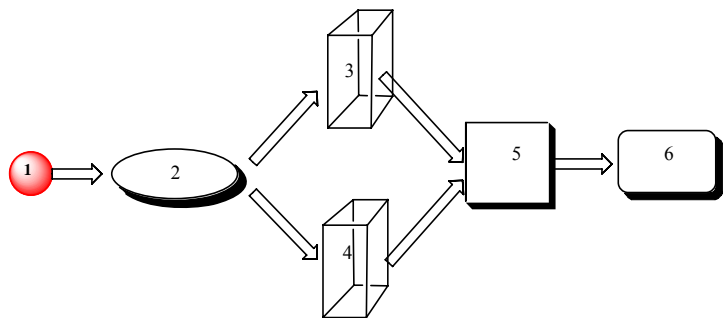
ელექტრომაგნიტური სპექტრის ნებისმიერი ძირითადი უბნისათვის (უი-, იწ-, რადიო- და ა.შ.) დამახასიათებელია გადასვლების ერთი ტიპი. მაგალითად, მოლეკულის მიერ იწ-გამოსხივების შთანთქმისას ადგილი აქვს ბმების რხევითი მოძრაობების გაზრდას, ხოლო უი-სპექტრის შთანთქმისას კი ელექტრონების გადასვლას ძირითადი ენერგეტიკული დონი-დან ზედა ენერგეტიკულ დონეებზე.

ელექტრონული სამსახუროები

შესავალი

ორგანული ნაერთების მიერ 100-800 ნმ ტალღის სიგრძის გამოსხივების შთანთქმისას ადგილი აქვს ელექტრონების აღზებას. მიღებულ სპექტრებს ეწოდებათ შთანთქმის ელექტრონული სპექტრები. შთანთქმის ელექტრონული სპექტრები იყოფა ულტრაინფრარედი (უი, 100-400 ნმ) და ხილული (400-800 ნმ) უბნების სპექტრებად. ხილული უბნის ცალკე გამოყოფა განპირობებულია იმ გარემოებით, რომ შთანთქმა 400-800 ნმ ტალღის უბანში აღიქმება ადამიანის მხედველობითი ორგანოების მიერ.

შთანთქმის ელექტრონული სპექტრების ჩაწერა ხორციელდება სპეციალურ აპარატებზე - სპექტროფოტომეტრებზე (ნახ. 2).



ნახ. 2. სპექტროფოტომეტრის პრინციპული სქემა.

1. გამოსხივების წყარო
2. მონოქრომატორი
3. კიუვეტა სტანდარტული ზნარით
4. კიუვეტა საკვლევი ზნარით,
5. რეგისტრაციის მოწყობილობა
6. თვითჩამწერი

გამოსხივების წყაროდან (1) მიღებული სხივი გადის მონოქრომატორს (2), საიდანაც გამოსულ სხივს აქვს განსაზღვრული ტალღის სიგრძე. იგი I₀ ინტენსიურობით ეცემა კიუვეტებს (3 და 4). ამასთან კიუვეტაში (3) მოთავსებულია ოპტიკურად სუფთა გამხსნელი¹, ხოლო მეორე კიუვეტაში (4) კი - იმავე გამხსნელში გახსნილი საკვლევი ნივთიერება². კიუვეტებიდან გამოსული სხივი ინტენსიურობით I (I₀<I) ეცემა რეგისტრაციის მოწყობილობას (5), ხოლო ეს უკანასკნელი ინფორმაციას აწვდის თვითჩამწერ მოწყობილობას (6), რომელიც სპეციალურ დაკალიბრებულ ქაღალდზე ჩაწერს შთანთქმის ელექტრონულ სპექტრს. სპექტრის ჩაწერისას სტანდარტული კიუვეტის გამოყენება საშუალებას იძლევა, საკვლევი ნივთიერების სპექტრიდან გამორიცხული იქნას გამხსნელის შთანთქმა. გამოსხივების წყაროდ გამოიყენება წყალბადის ნათურა (უი, 195-350 ნმ) და ვარვარების ნათურა (ხილული უბანი 350-800 ნმ). ულტრაინფრარედ უბანში მუშაობისას აუცილებელია გამოყენებული იქნას კვარცის კიუვეტები. გამოსხივების ინტენსიურობა აღიწერება ლამბერტ-ბუგერ-ბერის კანონით:

$$D = \lg \frac{I_0}{I} = \varepsilon cl$$

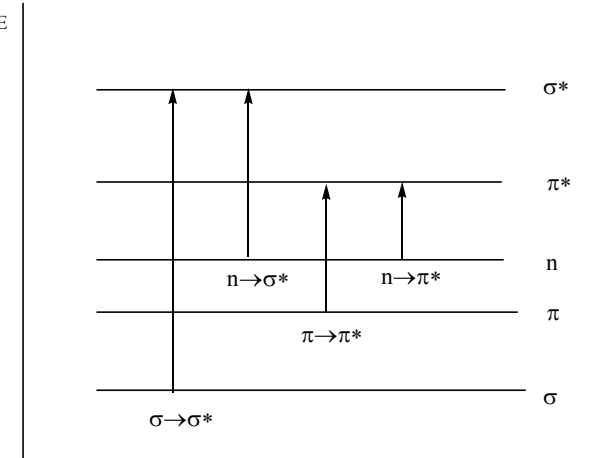
სადაც I₀ არის კიუვეტაზე დაცემული მონოქრომატული სხივის ინტენსიურობა

- I- კიუვეტიდან გამოსული სხივის ინტენსიურობა
- ε- შთანთქმის მოლური კოეფიციენტი
- c- ნივთიერების კონცენტრაცია, მოლი/ლ
- l- მშთანთქმელი შრის სისქე (სხივის მიერ კიუვეტაში გავლილი მანძილი), სმ

შთანთქმის ელექტრონული სპექტრი წარმოადგენს გრაფიკს, რომელიც აღწერს ოპტიკური სიმკვრივისა D (ზოგჯერ ε ან lgε) და ტალღის სიგრძის λ დამოკიდებულებას.

¹ ოპტიკურად სუფთა გამხსნელი ეწოდება ნივთიერებას, რომელსაც სპექტრის ჩაწერის უბანში შთანთქმა არ გააჩნია. ელექტრონულ სპექტრომეტრიაში გამოყენებადი გამხსნელები მოცემულია დანართში A.
² პოლიმერული მასალებისათვის გამოიყენება პოლიმერის გამჭვირვალე თხელი აფსკი

შთანთქმის ელექტრონული სპექტრების თანამედროვე პოსტულირება დაფუძნებულია ნაერთების აღნაგობის მოლეკულურ-ორბიტალურ მიდგომაზე. ელექტრონები მოლეკულაში იმყოფებიან მკაცრად განსაზღვრულ ორბიტალზე (ანუ გააჩნიათ მკაცრად განსაზღვრული მინიმალური ენერგია). მოლეკულაში ვალენტური ელექტრონების ენერგეტიკული დონეების ფარდობითი განაწილება მოცემულია ნახ. 3-ზე.



ნახ. 3. მოლეკულაში ელექტრონების ენერგეტიკული დონეები და ელექტრონული გადასვლების ტიპები

ურთმავი ბმების ელექტრონები (σ -ელექტრონები) იკავებენ შემაკავშირებელ σ -ორბიტალს, ჯერადი ბმების ელექტრონები (π -ელექტრონები) კი - შემაკავშირებელ π -ორბიტალს. ჰეტეროატომების თავისუფალი ელექტრონული წყვილები (n -ელექტრონები) ანუ ელექტრონები, რომლებიც არ იღებენ მონაწილეობას ქიმიური ბმების წარმოქმნაში, თავსდებიან არაშემაკავშირებელ n -ორბიტალზე. ძირითად მდგომარეობაში ყველა შემაკავშირებელი და არაშემაკავშირებელი ორბიტალი დაკავებულია. მოლეკულის მიერ

სინათლის კვანტის შთანთქმისას შემაკავშირებელი და არა-შემაკავშირებელი ორბიტალებიდან ელექტრონები გადადიან გამთიშველ ორბიტალებზე (σ^* და π^*).

ამასთანავე აღსანიშნავია, რომ ამ გადასვლებს აქვს მკაცრად მოწესრიგებული ხასიათი. ელექტრონის გადასვლას ნებისმიერი ერთი ორბიტალიდან ნებისმიერ მეორე ორბიტალზე ადგილი ექნება მხოლოდ იმ შემთხვევაში, თუ ამ გადასვლისათვის საჭირო ენერგიის სინათლის კვანტი ეცემა მოლეკულას. ორგანული ნაერთების მოლეკულებში ძირითადად შესაძლებელია შემდეგი ოთხი სახის ელექტრონული გადასვლა: $\sigma \rightarrow \sigma^*$, $\pi \rightarrow \pi^*$, $n \rightarrow \sigma^*$ და $n \rightarrow \pi^*$.

1. ნაჯერი ნაერთები

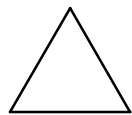
$\sigma \rightarrow \sigma^*$ გადასვლები

ყველაზე დიდი ენერგია იხარჯება $\sigma \rightarrow \sigma^*$ გადასვლებისას, ვინაიდან σ -ბმა ყველაზე დიდი სიმტკიცით ხასიათდება. ამიტომ ალკანები და ციკლოალკანები შთანთქავენ შორეულ ულტრაიისფერ უბანში (200 ნმ ტალღის სიგრძეზე მოკლე ტალღები). მაგალითად, მეთანი შთანთქავს 125 ნმ ტალღის სიგრძეზე, ეთანი - 135 ნმ-ზე, ხოლო ციკლოპროპანი - 190 ნმ-ზე.



$\lambda=125\text{nm}$

$\lambda=135\text{nm}$



$\lambda=190\text{ nm}$

$n \rightarrow \sigma^*$ - გადასვლები

აზოტის, უანგბადისა და გოგირდის შემცველ ნაჯერ ნაერთებში (ამინები $\text{R}-\text{NH}_2$, $\text{R}-\text{NH}-\text{R}$, R_3N), სპირტები ROH , თიოლები RSH და სხვა) ჰეტეროატომზე ლოკალიზებულია თავისუფალი ელექტრონული წყვილი. ეს ელექტრონები იკავებენ არაშემაკავშირებელ $n \rightarrow \sigma$ ტალს. ამიტომ მოლეკულის აღზნების შემთხვევაში ადგილი აქვს როგორც $\sigma \rightarrow \sigma^*$, ისე $n \rightarrow \sigma^*$ გადასვლებს. აქედან გამომდინარე, შთანთქმის ელექტრონულ სპექტრზე შესაძლებელია ორი შთანთქმის ზოლის გაჩენა. $n \rightarrow \sigma^*$ გადასვლის ენერგია მცირეა $\sigma \rightarrow \sigma^*$ გადასვლის ენერგიაზე. შესაბამისად, გამოსხივების ტალღის სიგრძე, რომლის შთანთქმის შედეგადაც ხდება $n \rightarrow \sigma^*$ გადასვლა, აღემატება $\sigma \rightarrow \sigma^*$ გადასვლის ტალღის სიგრძეს. იგი, როგორც წესი, მდებარეობს 200 ნმ-ის უბანში. მაგალითისათვის ცხრილი 2-ში მოცემულია სხვადასხვა

ჰეტეროატომის შემცველი ნაჯერი ნაერთების შთანთქმის მაქსიმუმების ტალღის სიგრძეები (მაგ. CH_3OH და CH_3SH).

ცხრილი 2. ნაჯერი ჰეტეროატომის შემცველი ნაერთების შთანთქმის მაქსიმუმები

ნაერთი	λ, nm $\sigma \rightarrow \sigma^*$ გადასვლა	λ, nm $\pi \rightarrow \pi^*$ გადასვლა
CH_3OH	150	183
$(\text{CH}_3)_2\text{OH}$	150	184
CH_3SH	192	255
CH_3NH_2	173	213
CH_3Cl	150	173

ნაერთები, რომლებიც შეიცავს მხოლოდ ერთმაგ ბმებს, აზასიათებთ $\sigma \rightarrow \sigma^*$ და $n \rightarrow \sigma^*$ გადასვლები და შთანთქავენ მხოლოდ შორეულ ულტრაიისფერ (120-190 ნმ) უბანში. ამ ნაერთთა სპექტრები შესაძლებელია ჩაიწეროს მხოლოდ სპეციალური მოწყობილობების - ვაკუუმური კამერების გამოყენებით, ვინაიდან ჰაერში არსებული უანგბადი და აზოტი ულტრაიისფერ სხივს შთანთქავს 190 ნმ-ზე ქვევით.

უნდა აღინიშნოს, რომ ნაჯერი ნახშირწყალბადებისა და მათი ფუნქციური წარმოებულებისათვის (ამინები, სპირტები, ალდეჰიდები, კეტონები, მჟავები და მათი წარმოებულები) ელექტრონული სპექტრომეტრის გამოყენება შედარებით მწირ ინფორმაციას იძლევა. ამ მეთოდის გამოყენებას ზღუდავს აპარატურული გაფორმების სირთულეც.

2. უჯერი ნაერთები

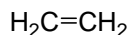
ორგანული ნაერთების იდენტიფიკაციისას პრაქტიკული მნიშვნელობა აქვს $n \rightarrow \pi^*$ და $\pi \rightarrow \pi^*$ გადასვლებს, ვინაიდან მათი შესაბამისი ტალღის სიგრძეები მდებარეობენ სპექტროფორმეტრების სამუშაო დიაპაზონში 200-1000 ნმ.

იმ ჯგუფებს, რომლებიც ელექტრომაგნიტურ სპექტრს შთანთქავენ ამ დიაპაზონში, ეწოდებათ ქრომოფორურები.

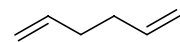
200-1000 ნმ უბანში შთანთქმას განაპირობებს მოლეკულის შემადგენლობაში არსებული ქრომოფორურები, რომლებიც შეიცავენ თუნდაც ერთ ჯერად ბმას: C=C, C≡C, C≡N, N=N, N=O, C=S, S=O და ა.შ.

$\pi \rightarrow \pi^*$ გადასვლები

$\pi \rightarrow \pi^*$ გადასვლის ენერგია მნიშვნელოვნად მცირეა $\sigma \rightarrow \sigma^*$ გადასვლის ენერგიაზე. ამიტომ შთანთქმა, რომელიც გამოწვეულია $\pi \rightarrow \pi^*$ გადასვლით, ძევს შედარებით გრძელტალღოვან უბანში. მაგალითად, ეთანის შთანთქმის მაქსიმუმი ($\sigma \rightarrow \sigma^*$) ძევს 135 ნმ-ზე, ხოლო ეთენის შთანთქმის მაქსიმუმი ($\pi \rightarrow \pi^*$) კი - 180 ნმ-ზე.



$\lambda=180$ ნმ
 $\epsilon=10000$



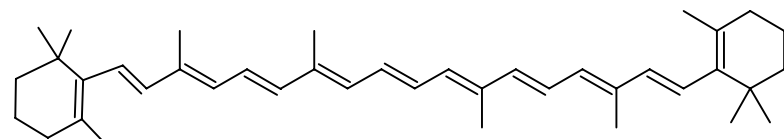
$\lambda=185$ ნმ
 $\epsilon=20000$

თუ მოლეკულა შეიცავს რამოდენიმე იზოლირებულ ქრომოფორს, მაშინ მისი შთანთქმის მაქსიმუმის მდებარეობა არ იცვლება და ემთხვევა ერთი ქრომოფორის შემცველი ნაერთის შთანთქმის მაქსიმუმს. იზოლირებული ქრომოფორების რაოდენობა პირდაპირ პორციულად არის დამოკიდებული შთანთქმის ინტენსიურობაზე - რაც მეტია ქრომოფორული ჯგუფი, მით მეტია შთანთქმის ინტენსიურობა. მაგალითად, ეთენის შთანთქმის მოლური კოეფიციენტი (ϵ) 180 ნმ ტალღის სიგრძეზე შეადგენს 10000, ხოლო 1,5-ჰექსადიენისა 185 ნმ-ზე კი - 20000.

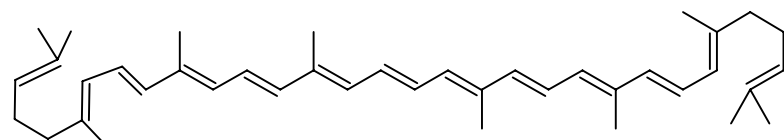
შთანთქმის მდებარეობაზე მნიშვნელოვან გავლენას ახდენს ორმაგი ბმების შეუდლების ეფექტი. სეთი ნაერთებისათვის შთანთქმა დამახსიათებელია გაცილებით გრძელტალღოვან უბანში. თუ შევადარებთ 1,3-ბუტადიენისა და 1,3,5-ჰექსატრიენის შთანთქმის მაქსიმუმებს, შევამჩნევთ, რომ

ადგილი აქვს ბატოქრომიას ანუ შთანთქმის მაქსიმუმის წანაცვლებას 217 ნმ-დან ($\epsilon=21000$) 253 ნმ-დე ($\epsilon=50000$).

ამასთანავე, რაც მეტი ქრომოფორია შეუდლებული, მით დიდია ბატოქრომული წანაცვლება. კაროტინში შეუდლებულია თერთმეტივე ორმაგი ბმა, ხოლო ლიკოპინში კი ცამეტი ორმაგი ბმიდან-თორმეტი. შეუდლების სეთი დიდი ეფექტი ამ ნაერთებს ანიჭებს შედარებით ღრმა ფერს. პირველი ნარინჯისფერია (იგი განაპირობებს სტაფილოს ფერს), ხოლო მეორე - წითელი, $\lambda=506$ ნმ ($\epsilon=170000$) (იგი განაპირობებს პომიდორის ფერს).



კაროტინი

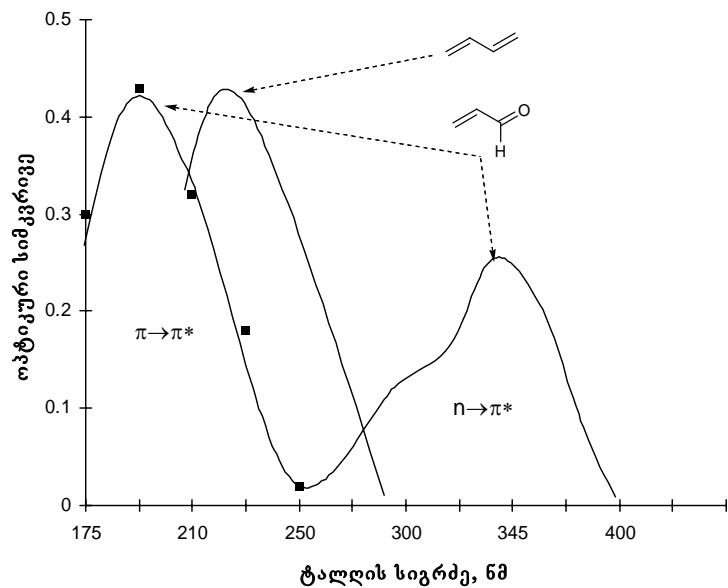


ლიკოპინი

შთანთქმის მაქსიმუმის გადაადგილებას შედარებით გრძელტალღოვანი უბნისაკენ ეწოდება ბატოქრომული წანაცვლება, ხოლო შედარებით მოკლეტალღოვანი უბნისაკენ კი - პიპერიქრომული წანაცვლება.

$n \rightarrow \pi^*$ გადასვლები

თუ ორგანული ნაერთის მოლეკულა უჯერ ბმებთან ერთად შეიცავს ისეთ ჰეტეროატომებს, რომელთაც, თავის მხრივ, გააჩნიათ თავისუფალი ელექტრონული წყვილი, მაშინ



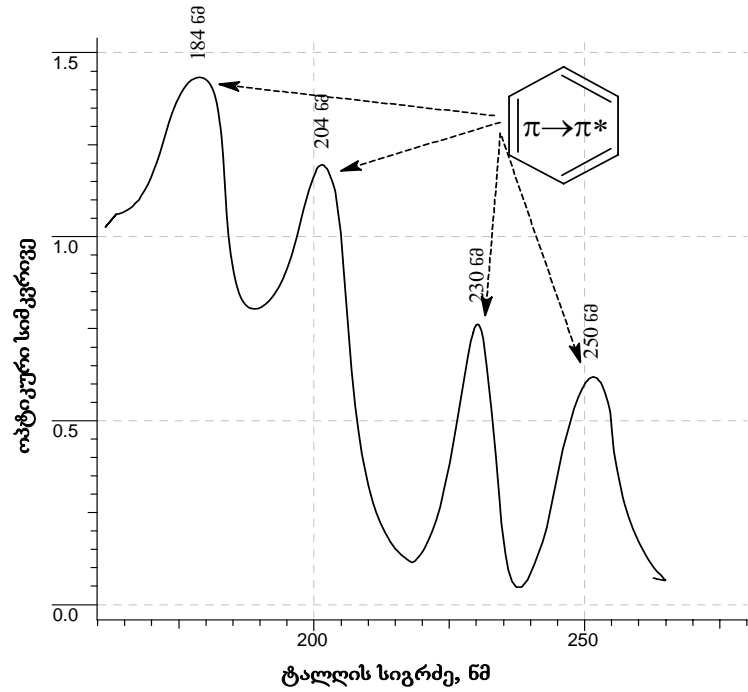
ნახ. 4. უი სპექტრები: 1,3-ბუტადიენი, $\lambda_{\max}=225$ ($\pi \rightarrow \pi^*$)
აკროლეინი, $\lambda_{\max}=203/10000$ ($\pi \rightarrow \pi^*$); $\lambda_{\max}=345/20$ ($n \rightarrow \pi^*$)

შესაძლებელია ადგილი ჰქონდეს $n \rightarrow \pi^*$ გადასვლებსაც. ამ გადასვლის ენერგია მცირეა ყველა ზემოთ აღნიშნული გადასვლების ენერგიაზე, ამიტომ ისინი ყველაზე გრძელტალღოვან უბანში მუდავნდებიან. მაგალითად, შეუღლებული ორი ორმაგი ბმის შემცველი 1,3-ბუტადიენის შთანთქმის ზოლი მდებარეობს 225 ნმ-ზე (იხ. ნახ. 4). ეს შთანთქმა შეესაბამება $n \rightarrow \pi^*$ გადასვლას. 1,3-ბუტადიენისაგან განსხვავებით, აკროლეინის მოლეკულისათვის, რომელშიც ერთი ორმაგი ბმა შეუღლებულია უანგბადის ატომთან (ჰეტეროატომთან თავისუფალი ელექტრონული წყვილით), დამახასიათებელია უკვე ორი ტიპის

ელექტრონული გადასვლა $\pi \rightarrow \pi^*$ და $n \rightarrow \pi^*$ ამიტომ, აკროლეინის მოლეკულის უი სპექტრი (ნახ. 4) შეიცავს ორ შთანთქმის ზოლს 203 ნმ-ზე ძლიერი ინტენსიურობის შთანთქმას ($\varepsilon=10000$, $\pi \rightarrow \pi^*$) და სუსტი ინტენსიურობის შთანთქმას 345 ნმ-ზე ($\varepsilon=20$, $n \rightarrow \pi^*$). ორგორც წესი, $n \rightarrow \pi^*$ გადასვლების შესაბამისი შთანთქმის ზოლები ხასიათდებიან სუსტი ინტენსიურობით. ასეთი გადასვლების შთანთქმის მოლური კოეფიციენტი არასოდეს აღემატება 2000, ხოლო ძირითად შემთხვევებში 100-ზე ნაკლებია.

3. არომატული ნაერთები

არომატული ნაერთები შეიცავენ შეუღლებულ π -სისტემას და აქვთ ციკლური აღნაგობა. სტრუქტურის ასეთი თავისებურება განაპირობებს დამატებითი ელექტრონული გადასვლების შესაძლებლობას. ამიტომაც არომატული ნაერთების ელექტრონული სპექტრები ყოველთვის შეიცავენ დამატებით შთანთქმის ზოლებს. ბენზოლის ელექტრონული სპექტრი (ნახ. 5) შეიცავს სამ შთანთქმის ზოლს - 184 ნმ-ზე ($\varepsilon=60000$), 204 ნმ-ზე ($\varepsilon=7400$) და 255 ნმ-ზე ($\varepsilon=230$), ომლებიც გამოწვეულია $\pi \rightarrow \pi^*$ გადასვლებით. ბენზოლისა და მისი წარმოებულებისათვის მახასიათებელი შთანთქმაა 230-250 ნმ ტალღის უბანში, ომლელსაც „ბენზოლის“ ზოლსაც უწოდებენ. იგი, ორგორც წესი, მცირე ინტენსიურობით და მრავალრიცხოვანი მაქსიმუმებით (რჩევითი შთანთქმის ზოლი) ხასიათდება.

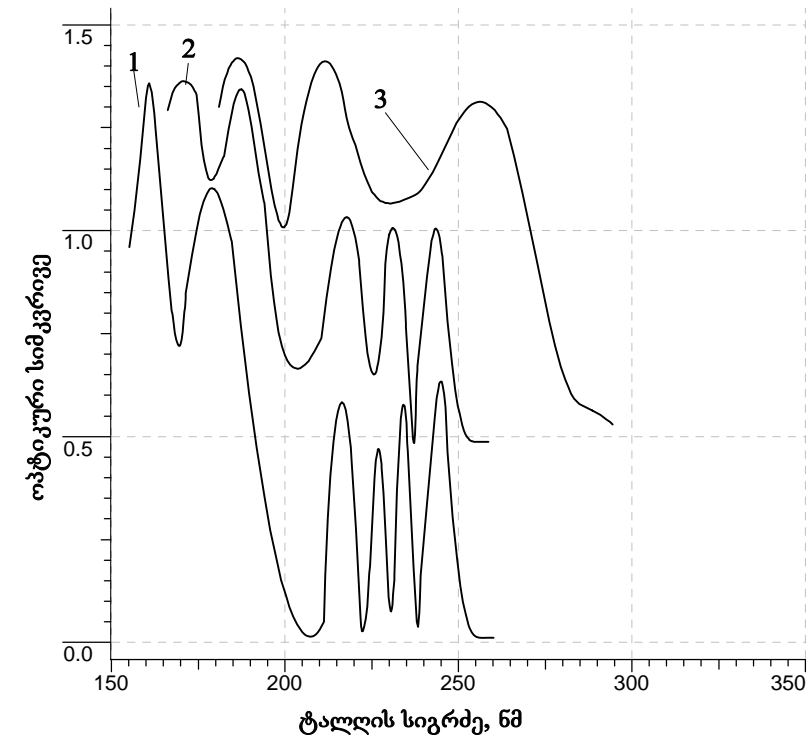


ნახ. 5. ბენზოლის ელექტრონული სპექტრი ჰეპტანში

ბენზოლის ბირთვში როგორც ელექტრონოდონორული, ისე ელექტრონოაქცეპტორული ჩამნაცვლებლების შეყვანა იწვევს არომატული სისტემის გრძელტალღოვანი შთანთქმის ზოლის ბატოქრომულ წანაცვლებას. ეს წანაცვლება შედარებით უმნიშვნელოა ჰალოგენებისა და ალკილური რადიკალების არსებობისას. ჰიდროქსი-, ალკოჰსი-, ალკოლ-ამინო-, მერკაპტო- ჯგუფების ჩანაცვლებლებისას „ბენზოლური“ შთანთქმის ზოლი არა მარტო ბატოქრომულად წანაცვლდება, არამედ ადგილი აქვს ჰიპერჯრომისასც¹ (შთანთქმის მაქსიმუმის იზტენსიურობა იზრდება დაახლოებით 10-ჯერ).

¹ ჰიპერჯრომია არის მოვლენა, როდესაც ადგილი აქვს შთანთქმის მაქსიმუმს გაზრდას. შთანთქმის მაქსიმუმის შემცირებას კი ჰიპოჯრომია ეწოდება.

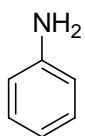
ამასთანავე სპექტრის ამ უბანში მცირდება მაქსიმუმების რაოდენობა და შთანთქმის ზოლი სინგლეტს ემსგავსება (ნახ. 6).



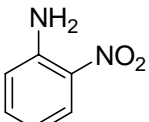
ნახ. 6. ელექტრონული სპექტრები: 1-ბენზოლი, 2-ფთორბენზოლი, 3-ანილინი

ბენზოლის ბირთვში ელექტრონოდონორული და ელექტრონოაქცეპტორული ჩამნაცვლებლების ერთდოროული არსებობა იწვევს „ბენზოლური“ შთანთქმის ზოლის უფრო მნიშვნელოვან ბატოქრომულ წანაცვლებას. აღნიშნული ჩამნაცვლებლების შეყვანას უფრო დიდი ეფექტი ექნება, თუ ისინი ურთიერთშეთანხმებულად მოქმედებენ. მაგალითისათვის განვიხილოთ ამინო- და ნიტროწარმოებულები. ბენზოლის შთანთქმის მაქსიმუმი მდებარეობს 255 ნმ-ზე, ანილინის 280 ნმ-ზე,

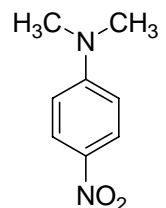
ო-ნიტროანილინის 380 ნმ-ზე, ხოლო პ-ნიტრო-N,N-დიმეთილანილინისა კი- 421 ნმ-ზე.



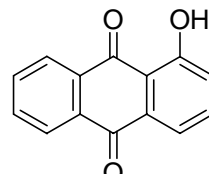
$\lambda_{\max}=280 \text{ ნმ}$



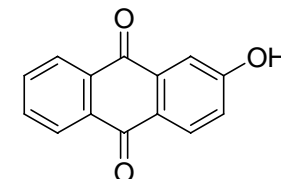
$\lambda_{\max}=380 \text{ ნმ}$



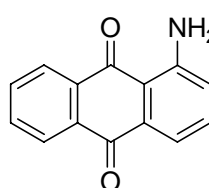
$\lambda_{\max}=421 \text{ ნმ}$



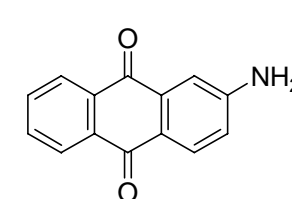
$\lambda=480 \text{ ნმ}$
წითელი



$\lambda=440 \text{ ნმ}$
ნარინჯისფერი

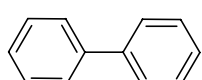


$\lambda=580 \text{ ნმ}$
იასამნისფერი

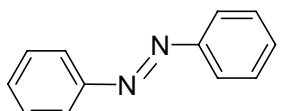


$\lambda=490 \text{ ნმ}$
წითელი

თუ საერთო არომატული შეუღლებული π -ელექტრონული სისტემა შეიცავს ჰეტეროატომებს, მაშინ აფენილური აქვს ნახტომისებურ ბაზოქრომულ წარაცვლებას. აღნიშნულის კლასიკურ მაგალითს წარმოადგენს დიფენილი და აზობენზოლი. დიფენილი უფერული ნაერთია, ხოლო აზობენზოლი ყვითელ კრისტალურ ნაერთს წარმოადგენს, ანუ მისი შთანთქმის მაქსიმუმი მდებარეობს ხილულ უბანში.



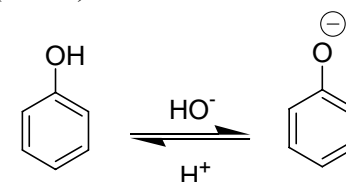
უფერული

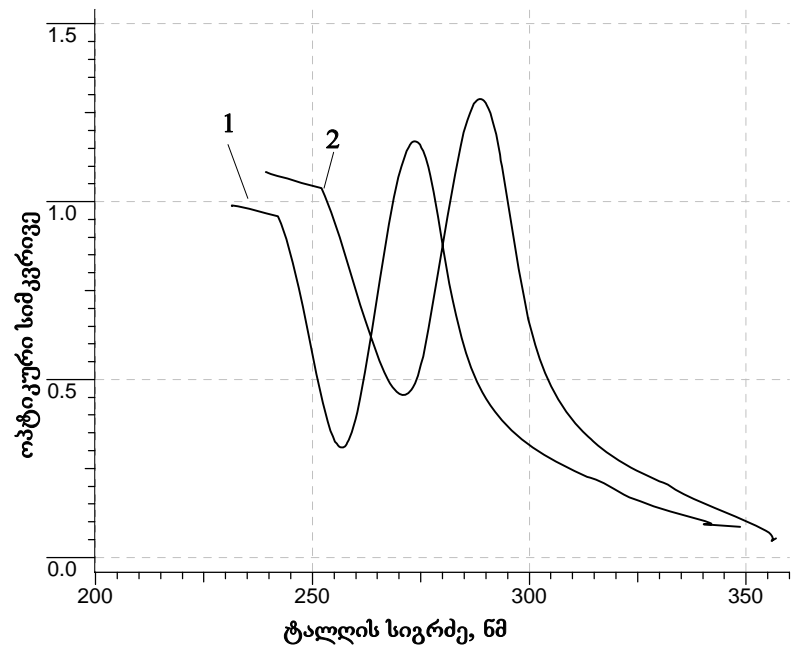


ყვითელი

ჰეტეროატომზე ლოკალიზებული თავისუფალი ელექტრონული წყვილის საერთო შეუღლებულ სისტემაში ჩართვის მაგალითია ანთრაქინონის წარმოებულები. 1-ჰიდროქსი- და 1-ამინო-9,10-ანთრაქინონები უფრო ღრმა ფერით ხასიათდებიან, ვიდრე მათი β -იზომერები.

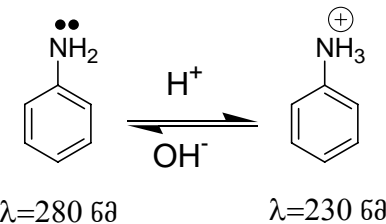
ელექტრონული სპექტრების ჩაწერისას ერთ-ერთი დიდი მნიშვნელობა ენიჭება გამხსნელის სწორად შერჩევას. როგორც წესი, გამხსნელის შერჩევისას ითვალისწინებენ მის ოპტიკურ გამჭვირვალობას სამუშაო დიაპაზონში და საკვლევი ნივთიერების მაში ხსნადობას. ამასთანავე, ყურადღება უნდა მიექცეს საკვლევი ნივთიერებისა და გამხსნელის შესაძლო ურთიერთქმედებას. ფენოლის შთანთქმის ზოლი ეთანოლში მდებარეობს 270 ნმ-ზე, ხოლო ტუტეში კი- 290 ნმ-ზე. ეს განპირობებულია იმ გარემოებით, რომ ტუტე არეში ფენოლი იმყოფება ფენოლატიონის სახით, და ფუნქციური ჯგუფი O⁻ გაცილებით ძლიერი ელექტრონოდონორია (+I, +M), ვიდრე -OH ჯგუფი (-I, +M) (ნახ. 7).





ნახ. 7. ფენოლის ელექტრონული სპექტრები ეთანოლში (1) და ტუტის წყალშინარში (2)

ამინონაერთები მუავა არეში იერთებენ პროტონს, რის შედეგადაც ამინში აზოტის ატომზე არსებული თავისუფალი ელექტრონული წყვილი ეთიშება ბენზოლის შეუღლებულ π -სისტემას. ამის გამო ადგილი აქვს ჰიპოკრომულ გადანაცვლებას. მაგალითად, ანილინის შთანთქმის მაქსიმუმი მდებარეობს 280 ნმ-ზე ($\epsilon=1430$), ხოლო ანილინის კატიონის შთანთქმის მაქსიმუმი (230 ნმ, $\epsilon=160$) ახლოსაა ბენზოლის შთანთქმის მაქსიმუმთან (203,5 ნმ, $\epsilon=204$).



ამრიგად, თუ არომატული ნაერთის იონიზაცია იწვევს ელექტრონული ან ელექტრონოდონორული ჩამნაცვლებლების თვისებების გაძლიერებას, მაშინ ადგილი აქვს ბატოქრომულ წანაცვლებას, ხოლო ისეთი იონიზაციისას, როდესაც ჩამნაცვლებელი ეთიშება საერთო შეუღლებულ ორმაგი ბმების სისტემას, ადგილი აქვს ჰიპოკრომულ წანაცვლებას.

ელექტრონული სპექტრომეტრით შესაძლებელია დადგენილი იქნას ნაერთში ისეთი ფუნქციური ჯგუფების - ქრომოფორების არსებობა, რომლებიც შეიცავენ ჯერად ბმებს, არომატულ სისტემებს, კარბონილურ ჯგუფებს და სხვა.

ინფრაწილის სპექტრომეტრია

შესავალი

ინფრაწილის სხივების ($4000-400 \text{ cm}^{-1}$) შთანთქმა იწვევს გადასვლებს მოლეკულის რხევით ენეგეტიკულ დონეებს შორის. ამიტომაც ინფრაწილი (იწ) საექტრებს ეწოდებათ რხევითი სპექტრები.

იწ სპექტრომეტრის საშუალებით ხდება საკვლევი ნივთიერების მიერ ინფრაწილის გამოსხივების შთანთქმის სიხშირის განასაზღვრა. იწ სპექტრომეტრის პრინციპული სქემა ანალოგიურია ურ სპექტროფოტომეტრისა (ნახ. 2). მხოლოდ იწ სპექტრომეტრში გამოსხივების წყაროდ გამოიყენება სპეციალური კერამიკული ღერო (სილიტი), რომელიც ელექტრული დენის მიწოდებისას ვარვარდება და ასხივებს იწ გამოსხივებას. კიუვეტები და აპარატის ოპტიკური მოწყობილობა (პრიზმები, სარკეები და სხვა) დამზადებულია ისეთი მასალის მონოკრისტალებისაგან, რომელიც გამჭვირვალები არიან იწ უბანში. ასეთ ნაერთებს მიეკუთვნება NaCl , NaBr და LiF .

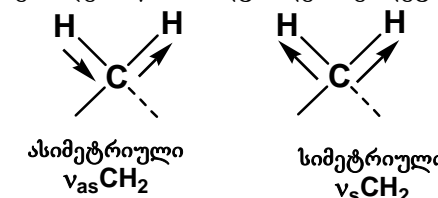
იწ სპექტრი წარმოადგენს გამტარებლობის ინტენსიურობის (პროცენტებში) $\frac{I}{I_0} \times 100$ ან შთანთქმის (პროცენტებში)

$$\left(100 - \frac{I}{I_0}\right) \times 100$$
 დამოკიდებულებას ტალღურ რიცხვზე ან ტალღის სიგრძეზე. ყოველთვის იწ სპექტრზე მიეთითება როგორც ტალღის სიგრძეები (მკმ), ისე ტალღური რიცხვები (cm^{-1}). ამასთანავე აღსანიშნავია, რომ ამ უკანასკნელს პრაქტიკული თვალსაზრისით უფრო დიდი გამოყენება აქვს.

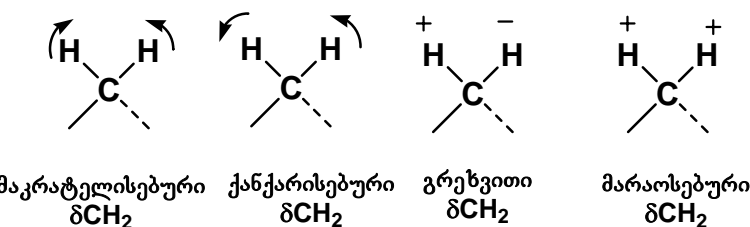
მოლეკულის რხევითი მოძრაობები შეიძლება დაიყოს ორ ძირითად ტიპად: ვალენტურ და დეფორმაციულ რხევებად.

ვალენტური რხევები ეწოდება ისეთ რხევებს, როდესაც ადგილი აქვს ქიმიური ბმის სიგრძის ცვლილებას (გაზრდას ან შემცირებას) ანუ ადგილი აქვს რხევას ბმის გასწვრივ. ვალენ-

ტური რხევები აღინიშნება v სიმბოლოთი. ეს სიმბოლოები ზოგიერთ შემთხვევაში გამოიყენება ინდექსებთან ერთად, რომლებიც მიუთითებენ, თუ რომელი ჯგუფის რხევას შეესაბამება ეს ტალღური რიცხვი. ვალენტური რხევები შესაძლებელია იყოს სიმეტრიული (v_s) და ასიმეტრიული (v_{as}). სიმეტრიული და ასიმეტრიული ვალენტური რხევები სქემატურად შეიძლება წარმოდგინდეს შემდეგნაირად:



დეფორმაციული ეწოდება რხევებს, რომლის დროსაც ადგილი აქვს ვალენტურ ბმებს შორის კუთხეების ცვლილებას. ასეთ რხევებს აღნიშნავენ δ სიმბოლოთი და ასხვავებენ სიმეტრიულ (δ_s) და ასიმეტრიულ (δ_{as}) დეფორმაციულ რხევებს. დეფორმაციული რხევების უფრო მიახლოებით დასახასიათებლად ზოგჯერ ცალკე გამოყოფება „მაკრატელისებურ“, „ქანქარისებურ“, „მარაოსებურ“ და „გრეხვით“ რხევებს. ამ ორი უკანასკნელი დეფორმაციული რხევისას ატომები გამოდიან სიბრტყიდან და ხასიათდებიან სუსტი ინტენსიურობის შთანთქმის ზოლებით.



იწ სპექტრომეტრით შესაძლებელია მრავალი ორგანული ნაერთის იდენტიფიკაცია. იგი ძირითადად გამოიყენება ნაერთში ფუნქციური ჯგუფების დასაღენად, ვინაიდან ყველა

ფუნქციურ ჯგუფს გააჩნია დამახასიათებელი შთანთქმის ზოლი. მოლეკულაში ატომების რჩევებისა და შთანთქმის ზოლების ზუსტი გაანგარიშება საკმაოდ რთულია, ამიტომ იწ სპექტრების გაშიფვრაში ძირითადად გამოიყენება ატომებისა თუ ფუნქციური ჯგუფების შთანთქმის ზოლების ემპირიული მისაღაბა ცხრილურ მონაცემებთან.

იწ სპექტრის ანალიზისას სპექტრს პირობითად ყოფენ შემდეგ უბნებად:

- 3700-2800 სმ⁻¹ უბანი, რომელშიც ვლინდება C-H, O-H, S-H ბმების ვალენტური რჩევები;
- 2500-1900 სმ⁻¹ უბანი, რომელშიც ვლინდება C≡C, C≡N და კუმულირებული პოლიენების >C=C=C< ვალენტური რჩევები;
- 1900-1300 სმ⁻¹ უბანი, რომელშიც ვლინდება C=O, C=C, C=N, NO₂ და სხვა ჯგუფების ვალენტური რჩევები;
- 1300-900 სმ⁻¹ უბანი, რომელშიც ვლინდება C-O, C-C, C-N, N-O ვალენტური და N-H, C-H, O-H დეფორმაციული რჩევები. ვინაიდან ამ უკანასკნელ უბანში ადგილი აქვს ერთმაგი ბმების როგორც დეფორმაციულ, ისე ვალენტურ რჩევებს, სპექტრი მოიცავს შთანთქმის მრავალრიცხვან სერიას, რომელთა მიკუთვნება რომელიმე კონკრეტული ჯგუფისადმი საკმაოდ რთულია. ნაერთის შთანთქმის სპექტრი ამ უბანში მნიშვნელოვნად იცვლება მოლეკულაში სულ უმნიშვნელო ცვლილებების შეტანისას. აქედან გამომდინარე, ამ უბანს „თითების ანაბეჭდების“ უბანსაც უწოდებენ. რომელიმე ორი ნაერთის იდენტურობის დადგენა სწორედ ამ უბნის შედარებით ხდება.
- 900-650 სმ⁻¹ უბანი. მასში ვლინდება ციკლური, ამინო-და ამიდნაერთების C-H ბმების დეფორმაციული რჩევები. ამ უბანში მაღალი ინტენსიურობისა და დიდი რაოდენობის შთანთქმის ზოლების არსებობა მიუთითებს ნაერთის არაარომატულობაზე. გარდა C-H ბმების რჩევებისა, ადგილი აქვს აგრეთვე ნახრშირბად-ჰალოგენის ბმის მახასიათებელი შთანთქმის ზოლების გამოვლენას.

იწ სპექტრის განხილვისას ყურადღება უნდა მიექცეს ისეთ ორ პარამეტრს, როგორიცაა შთანთქმის მაქსიმუმის მდებარეობა და შთანთქმის ინტენსიურობა. როგორც ზემოთ იყო აღნიშნული, შთანთქმის მაქსიმუმის მისაღაბება თეორიულ მნიშვნელობასთან ხდება ცხრილების გამოყენებით. როგორც წესი, შთანთქმის ზოლი უნდა მოიძებნოს $\approx 10 \text{ სმ}^{-1}$ ინტერვალში, გარდა განსაკუთრებულად აღნიშნული შემთხვევებისა. ამა თუ იმ ფუნქციური ჯგუფის შთანთქმის ზოლი ფიქსირებული არ არის, ვინაიდან მასზე მოქმედებს ისეთი შინაგანი და გარეგანი ფაქტორები, როგორიცაა სოლვატაცია, მოლეკულათშორისი და შიგამოლეკულური წყალბადური ბმები, მეზობელი ჯგუფების ელექტრონული ეფექტები, სივრცითი დაძაბულობები და სხვა სტრუქტურული ფაქტორები.

1. ინტენსიურობა

ჯერჯერობით არ არის ნაპოვნი უნივერსალური მუდმივა ინფრაწითელი შთანთქმის ინტენსიურობის დასახასიათებლად, რადგან შთანთქმის ზოლის სიგანე დამოკიდებულია სპექტროფორმეტრის ჭრილის სპექტრალურ სიგანეზე.

რაოდენობით ორგანულ ქიმიაში შთანთქმის ზოლის ინტენსიურობას აღნიშნავნ პირობითად დდ (ძალიან ძლიერი), ძ (ძლიერი), საშ (საშუალო), ს (სუსტი) და ა.შ. (ცხადია, ინტენსიურობის ასეთი დახასიათება ზუსტი არ არის და ატარებს სუბიექტურ ხასიათს.

2. მისაღაბება

მოლეკულა, რომელიც შედგება ი ატომისაგან აქვს 3n თავისუფლების ხარისხი. აქედან სამი მიეკუთვნება გადაადგილებას, სამი კ - ბრუნვითს (წრფივი მოლეკულების, მაგალითად ეთინის შემთხვევაში - ორი). დანარჩენი 3n-6 (წრფივი მო-

ლეგულებისათვის 3n-5) განეკუთვნება რხევით მოძრაობებს. ეს ძირითადი რხევები შთანთქავენ იწ გამოსხივებას. მაგრამ შთანთქმის ზოლების რიცხვი ყოველთვის არ ემთხვევა ძირითადი რხევების რაოდენობას, ვინაიდან თუ რხევა არ იწვევს მოლეკულის დიპოლური მომენტის ცვლილებას, მაშინ იგი არ შთანთქავს იწ გამოსხივებას. მაგალითად, ეთენის C=C ბმის რხევა არ შთანთქავს იწ უბანში ენერგიას და, შესაბამისად, მისი შთანთქმის ზოლი არ ვლინდება იწ უბანში.

ძირითადი რხევები უკვე იყო მოცემული წინა პარაგრაფში. მათთან ერთად ზოგჯერ თავს იჩენს სხვა ტიპის რხევებიც.

ობერტონები. მათ გააჩნიათ სიხშირე, რომელიც წარმოადგენს ძირითადი რხევის სიხშირის გაორმაგებულ სიდიდეს, თუმცა მათი ინტენსიურობა შედარებით მცირეა. მაგალითად, კარბონილური ჯგუფის შთანთქმის ზოლი მდებარეობს 1715 სმ⁻¹-ზე, ხოლო ობერტონი კი ვლინდება 3430 სმ⁻¹-ზე.

კომბინაციური სიხშირები. კომბინაციური სიხშირეები იძლევიან სუსტ ზოლებს. მათი სიხშირე ემთხვევა ძირითადი რხევების სიხშირეების მნიშვნელობის ჯამს ან სხვაობას. ე.ი ძირითადმა რხევებმა x და y შეიძლება გამოიწვიოს (x+y) და (x-y) სმ⁻¹-ზე სუსტი შთანთქმის ზოლები.

სკექტრებზე მოქმედებს აგრეთვე ისეთი ფაქტორები, როგორიცაა ურთიერთქმედება და ფერმის რეზონანსი.

ურთიერთქმედება. ძალიან ხშირად შთანთქმის ზოლი არ ასუსტობს რომელიმე ერთი ჯგუფის რხევას. ურთიერთქმედების მოვლენას ადგილი აქვს მაშინ, როდესაც მოლეკულა შეიცავს ახლო განლაგებულ ორ ბმას, რომელთაც ერთნაირი სიმეტრია აქვთ. ასეთი შთანთქმის ზოლები ინტენსიურია და შთანთქმა ხდება ერთი და იგივე უბანში. აგრეთვე უნდა გვახსოვდეს, რომ ურთიერთქმედებამ შეიძლება გადაადგილოს შთანთქმის ზოლი დამახასიათებელი სიხშირიდან, ზოგიერთ შემთხვევებში კი (მაგალითად მჟავებში და ამიღებში) ურთიერთქმედებით წარმოშობილი შთანთქმის ზოლები თავად წარმოადგენენ მახასიათებელ პიკებს.

ფერმის რეზონანსი. თუ ობერტონი ან კომბინაციური სიხშირე მოთავსებულია ძირითად სიხშირესთან ახლოს, მაშინ მათი სიხშირე შეიძლება ანომალურად გაიზარდოს ან გაიზლიჩოს. ობერტონის ან კომბინაციური სიხშირის ასეთ ურთიერთქმედებას ძირითად სიხშირესთან ეწოდება ფერმის რეზონანსი. იგი თავს იჩენს იმ შემთხვევაში, როდესაც ორივე რხევას ერთნაირი სიმეტრია აქვს.

3. ძირითადი კალენტური სიხშირის გამოთვლა

უმარტივესი მოდელის თანახმად, ორ ატომს შორის კავშირი რხევადი ზამბარის ანალოგიურია. ბმის რხევითი მოძრაობა აღიწერება იმავე კანონით, რომელიც ახასიათებს ზამბარის რხევით მოძრაობას (ჰუკის კანონი $F = -kx$).

ამ კანონის გამოყენებით შესაძლებელია გამოთვლილი იყოს ორი A და B ატომის ძირითადი ვალენტური რხევის სიხშირე:

$$\nu = \frac{1}{2\pi c} \sqrt{\frac{f}{\mu}}$$

სადაც ν არის ვალენტური რხევის სიხშირე, სმ⁻¹

c - სინათლის სიჩქარე, სმ/წმ

f - ბმის ძალური კონსტანტა, დინ/სმ

μ - დაკავშირებული ატომების დაყვანილი მასა. იგი იანგარიშება შემდეგი ფორმულის საშუალებით:

$$\mu = \frac{M_A M_B}{M_A + M_B}$$

რომელშიც M არის შესაბამისი ატომის მასა გრამებში.

ძალური კონსტანტები ერთმაგი, ორმაგი და სამმაგი ბმისათვის დაახლოებით უდრის $5, 10, 15 \cdot 10^5$ დინი/სმ შესაბამისად.

ეს საშუალებას იძლევა, „აიხსნას“ (ზამბარის ანალოგიურად) სამმაგი ბმა რატომ არის ნაკლებად დრეკადი. ძალური კონსტანტის ზუსტი მნიშვნელობა დამოკიდებულია მოლეკულაში ბმის გარემოცვაზე და, როგორც წესი, განისაზღვრება იწ სპექტრიდან.

4. ჯგუფური რხევები

ფუნქციური ჯგუფის შეგნით ბმების ურთიერთქმედება ხასიათდება მკაცრი მუდმივობით და უმნიშვნელოდ არის დამოკიდებული იმ ნახშირბადოვანი ჩონჩხის აგებულებასთან, რომელთანაც იგი არის დაკავშირებული. ამიტომ შესაძლებელია დადგენილი იქნას ამ ფუნქციურ ჯგუფსა და მათ ჯგუფურ სიხშირეს შორის შესაბამისობა. სწორედ ამ მიზეზის გამო იწ სპექტრომეტრია ძირითადად გამოიყენება მხოლოდ ფუნქციური ჯგუფების დასადგენად.

5. ალკანები და ციკლოალკანები

ალკანებისა და ციკლოალკანების C-H ბმის ვალენტური რხევები ვლინდება 3000 სმ^{-1} -ზე ქვემოთ. გამონაკლის წარმოადგენს ციკლოპროპანი, რომლის $\nu_{\text{CH}}=3050 \text{ სმ}^{-1}$.

$-\text{CH}_2-$ და $-\text{CH}_3$ ჯგუფები ვლინდებიან დუბლეტის სახით, ხოლო მეთინური CH ჯგუფის შთანთქმის ზოლი წარმოადგენს სინგლეტს და მდებარეობს 2890 სმ^{-1} -ზე.

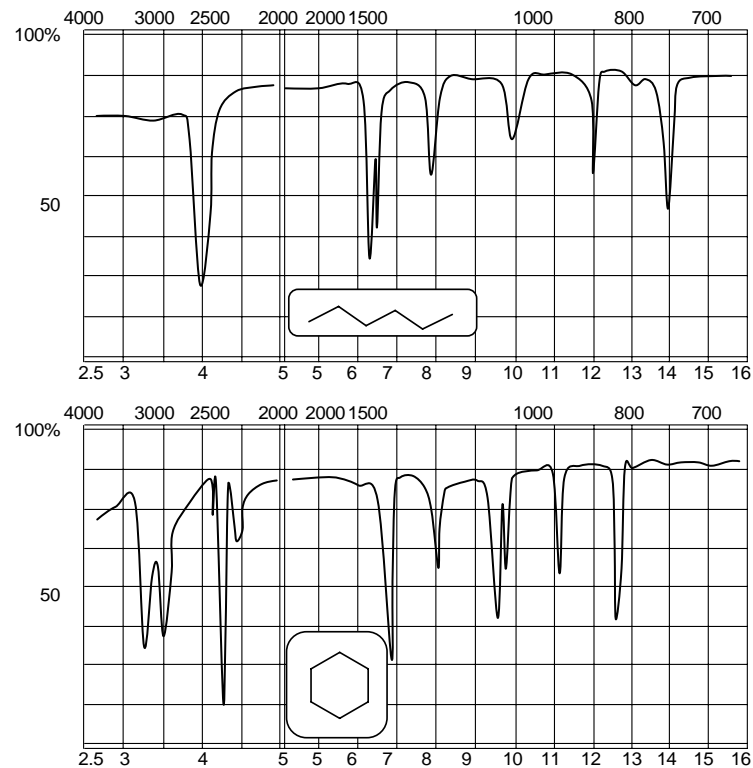
მეთილური და მეთილენური ჯგუფები შთანთქავენ აგრეთვე $1465-1460 \text{ სმ}^{-1}$ უბანში, რაც განპირობებულია მეთილის ჯგუფის ასიმეტრიული დეფორმაციული რხევით და მეთილენის ჯგუფის მაკრატლისებური რხევით.

ციკლოალკანების შთანთქმის ზოლები 1460 სმ^{-1} -ზე უფრო მახვილია, რადგან არ შეიცავს მეთილის ჯგუფებს.

მეთილის ჯგუფის სიმეტრიულ დეფორმაციულ რხევას შეესაბამება შთანთქმა 1380 სმ^{-1} -ზე და წარმოადგენს ერთ-ერთ მნიშვნელოვან მახასიათებელ ზოლს. ეს შთანთქმა ცალსახად მიუთითებს ნაერთში მეთილის ჯგუფის არსებობას და ჰირიქით. აღნიშნული შთანთქმის ზოლი ისეთი რადიკალებისათვის, როგორიცაა იზოპროპილი, მესამული ბუტილი, განიცდის გახლეჩას და ვლინდება დუბლეტის სახით. ჰექსანისა და ციკლოპენსანის იწ სპექტრები მოცემულია ნახ. 8-ზე.

6. ალკანები

ალკენების C=C ბმა შთანთქავს $1650 \pm 20 \text{ სმ}^{-1}$ უბანში. შთანთქმის პიკი ხასიათდება საშუალო ინტენსიურობით. მისი მდებარეობა არ არის დამოკიდებული ჩამნაცვლებლების ბუნებაზე. ვინილური წყალბადები =C-H შთანთქავენ 3000 სმ^{-1} -ზე ზევით. ეს შთანთქმა გამოიყენება ორმაგი ბმისა და მინიმუმ ერთი ვინილური წყალბადის არსებობის დასადასტურებლად. მაგრამ ალკენების სტრუქტურის დადგენისათვის უფრო მნიშვნელოვანია შთანთქმა $1000-800 \text{ სმ}^{-1}$ უბანში, სადაც ადგილი აქვს C=C-H ბმების არაბრტყელ დეფორმაციულ რხევებს. ამ ჯგუფის შთანთქმის მდებარეობა კი ძლიერ არის დამოკიდებული ჩამნაცვლებლებზე, როგორც ეს ნაჩვენებია ცხრილი 3-ში.



ნახ. 8. ჰექსანისა და ციკლოპენესის ირ სპექტრები

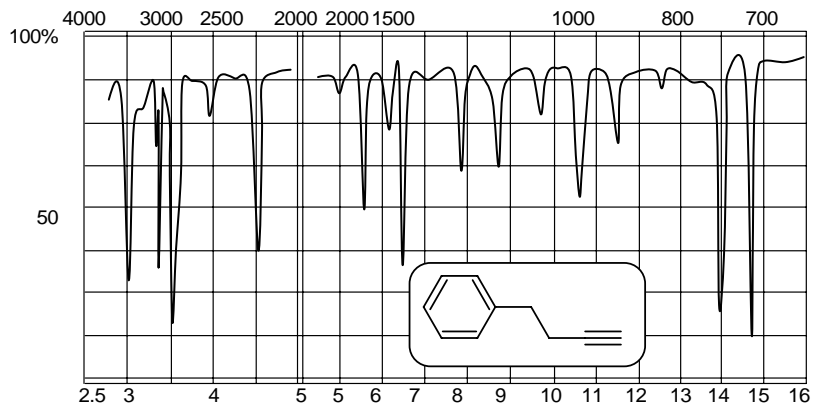
ცხრილი 3. ალკენების ძირითადი შთანთქმები ირ უბანში

ალკენის ტიპი	ν_{CH}	$\nu_{\text{C}=\text{C}}$	$\nu_{\text{C}=\text{C}-\text{H}},$ ბრტყელი	$\delta_{\text{C}=\text{C}-\text{H}}$ არაბრტყელი
$\begin{array}{c} \text{H} \\ \\ \text{R}-\text{C}=\text{C}- \\ \\ \text{H} \end{array}$	>3000	1645 (საშ)	1445 (საშ-ს)	990 (d)
$\begin{array}{c} \text{H} \\ \\ \text{R}-\text{C}=\text{C}- \\ \\ \text{R} \end{array}$	>3000	1655 (საშ)	1455 (საშ-ს)	890 (d)
$\begin{array}{c} \text{R} \\ \\ \text{R}-\text{C}=\text{C}- \\ \\ \text{H} \end{array}$	>3000	1660 (საშ)	1415 (საშ-ს)	735-670 (d)
$\begin{array}{c} \text{H} \\ \\ \text{R}-\text{C}=\text{C}- \\ \\ \text{R} \end{array}$	>3000	1670 (საშ)	1300 (საშ-ს)	965 (d)
$\begin{array}{c} \text{R} \\ \\ \text{R}-\text{C}=\text{C}- \\ \\ \text{H} \end{array}$	>3000	1670 (საშ)	1415 (საშ-ს)	840-805 (d)
$\begin{array}{c} \text{R} \\ \\ \text{R}-\text{C}=\text{C}- \\ \\ \text{R} \end{array}$		1670 (b)		

7. ალკინები

მარტივი ალკინების შთანთქმა ირ უბანში ვლინდება საშუალო ინტენსიურობის პიკების სახით 2250-2100 სმ $^{-1}$ უბანში. ტერმინალური სამაგი ბმის მქონე ნაერთების შთანთქმის ზოლები უფრო დიდი ინტენსიურობით ხასიათდებიან, ვიდრე ორჩანაცვლებული აცეტილენები. სიმეტრიულ ალკინებში $\text{R}-\text{C}\equiv\text{C}-\text{R}$ კი შთანთქმის ეს ზოლი შეიძლება საერთოდ არ გამოვლინდეს.

$\equiv\text{C-H}$ ბმის შთანთქმის ზოლი მდებარეობს 3300 cm^{-1} უბანში. ნახ. 9-ზე მოცემულია 5-ფენილ-1-პენტინის იტ სპექტრი.



ნახ. 9. 5-ფენილ-1-პენტინის იტ სპექტრი

8. პრენები

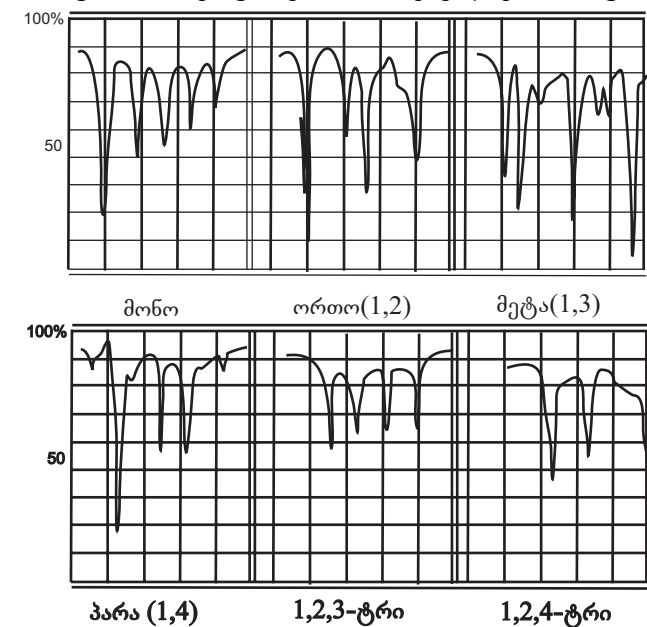
მიუხედავად იმისა, რომ არომატული ნახშირ-წყალბადები მთელ იტ უბანში შთანთქავენ, ჩვენ ყურადღებას შევაჩირებთ შემდეგ სამ დიაპაზონზე: $>3000 \text{ cm}^{-1}$, $2000 \div 1400 \text{ cm}^{-1}$, $900-675 \text{ cm}^{-1}$.

უბანი- $>3000-\text{cm}^{-1}$. $\text{C}_{\text{Ar-H}}$ ბმის ვალენტური რხევები შეინიშნება $3080-3030 \text{ cm}^{-1}$ უბანში საშუალო ან სუსტი ინტენსიურობის შთანთქმის ზოლების სახით. ვინაიდან ამ უბანში შთანთქავენ ალკენებიც, ამიტომ აღნიშნული შთანთქმის ზოლებით შეიძლება მხოლოდ ვივარაუდოთ არომატული ნაერთის არსებობა. მაქსიმალურად ჩანაცვლებული არომატული ნაერთებისათვის ეს შთანთქმის ზოლი დამახასიათებელია არ არის.

უბანი- $2000-1400-\text{cm}^{-1}$. ბენზოლის წარმოებულები ყოველთვის იძლევიან შთანთქმის ოთხ ზოლს $1650-1400 \text{ cm}^{-1}$ უბანში. ეს

შთანთქმის ზოლები ვამოწვეულია C=C ბმის ვალენტური რხევებით და მოთავსებულია 1600 , 1585 , 1500 და 1450 cm^{-1} -ის სიახლოვეს. $2000-1600 \text{ cm}^{-1}$ უბანში აღგილი აქვს ობერტონებსა და კომბინაციურ რხევებს. ეს უკანასკნელი ძლიერ სუსტი ინტენსიურობით ხასიათდებან და ვლინდებან მხოლოდ ნაერთის დიდი კონცენტრაციის დროს. მიუხედავად მათი მცირე ინტენსიურობისა, მათ ზოგჯერ ძლიერ მნიშვნელოვანი ინფორმაციის მოცემა შეუძლიათ. კერძოდ, შთანთქმის პროფილის მიხედვით შეიძლება ვისაუბროთ ორ- და მეტ-ჩანაცვლებული ბენზოლების იზომერებზე (ნახ. 10).

უბანი- $900-675-\text{cm}^{-1}$. $900-675 \text{ cm}^{-1}$ უბანში ბენზოლის წარმოებულები ხასიათდებან ინტენსიური შთანთქმის ზოლებით, რომლებიც ვამოწვეულია არომატული C-H ბმების არა-ბრტყელი რხევებით. ეს შთანთქმის ზოლები, როგორც $2000-1600 \text{ cm}^{-1}$ უბინის ობერტონები, მნიშვნელოვანი ინფორმაციის



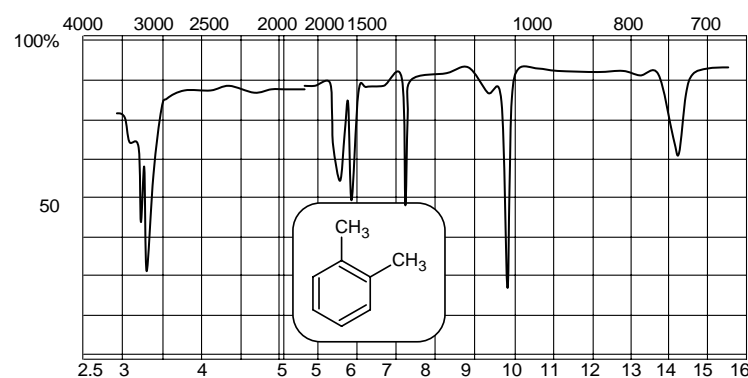
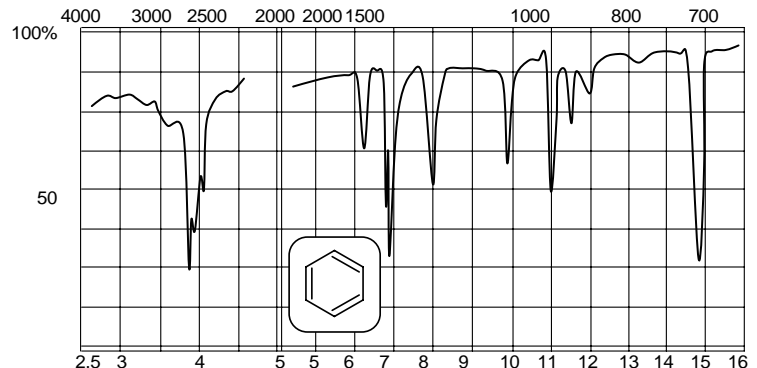
ნახ. 10. ბენზოლების შთანთქმის იტ სპექტრები

მატარებლები არიან იზომერების დაღგენაში (ცხრილი 4).

ცხრილი 4. არომატული C-H ბმების შთანთქმები $900\text{-}675 \text{ cm}^{-1}$
უბანში

იზომერი	შთანთქმის ზოლი cm^{-1}	იზომერი	შთანთქმის ზოლი cm^{-1}
მონო	770-735 710-685	1,2,3-	800-770 720-685
1,2-	760-745	1,2,4-	900-860 860-810
1,3-	900-860 790-770 725-685	1,3,5-	900-860 865-810 730-675
1,4-	830-800		

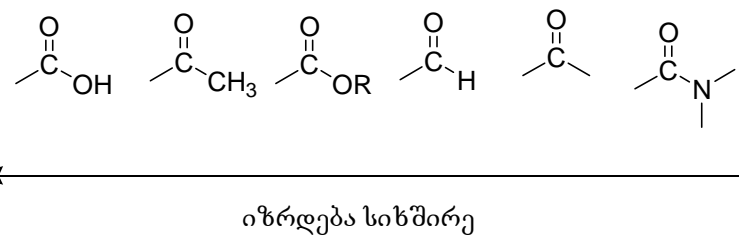
ნახ. 11-ზე მოცემულია ბენზოლისა და 1,2-დიმეთილ-ბენზოლის (ო-ქსილოლის) იწ სპექტრი.



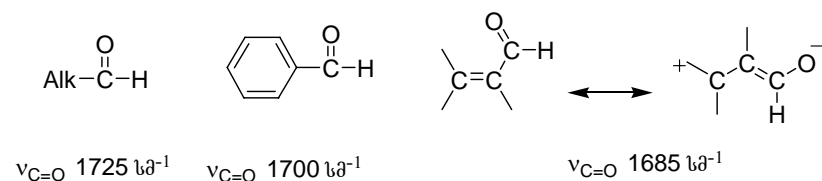
ნახ. 11. არომატული ნაერთების იწ სპექტრები: ბენზოლი,
1,2-დიმეთილბენზოლი

9. ალდეკიდები და კეტონები

ყველა C=O ბმის შთანთქმის ზოლი მდებარეობს 1900-1550 სმ⁻¹ უბანში. ამ ინტერვალში მისი ზუსტი მდებარეობა დამოკიდებულია კარბონილური ჯგუფის ჩამნაცვლებლებზე. კერძოდ, კარბონილური ამ ჯგუფს შეესაბამება უფრო მაღალი სიხშირე, ვიდრე კეტონებში. კარბონილური ჯგუფის შთანთქმის დამოკიდებულება მის აღნაგობასთან სქემებურად ქვემოთ არის წარმოდგენილი.



ალდეკიდური ჯგუფის შთანთქმის ზოლი მდებარეობს 1725 სმ⁻¹-ზე. არომატულ და უჯერ ალდეკიდებში C=O ბმის ორმაგ ბმასთან შეუღლების გამო შთანთქმას ადგილი აქვს შედარებით მცირე სიდიდის სიხშირეზე.



აქვე უნდა აღინიშნოს, რომ ამ უბანში შთანთქმა მხოლოდ C=O ბმის არსებობაზე მიუთითებს. ალდეკიდების იდენტიფიკაციისათვის აუცილებელია ყურადღება მიექცეს დუბლებს 2820-2720 სმ⁻¹ უბანში, ვინაიდან იგი გამოწვეულია კარბონილური C=O ბმის ვალენტური რხევით.

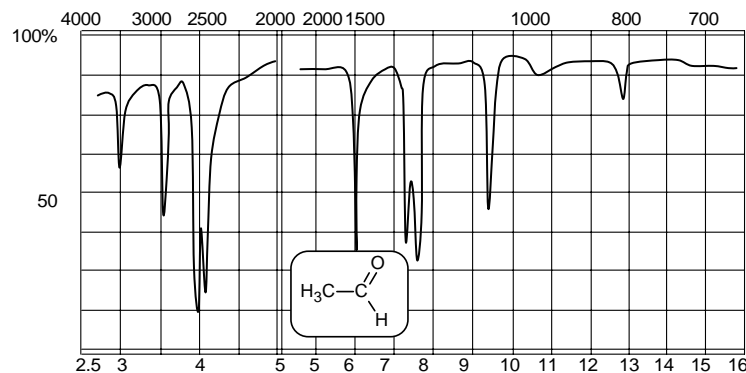
C=O ბმის ვალენტური რხევები ალიციკლურ დიალ-კილ- და ციკლოპექსანონებში შეინიშნება 1715 სმ⁻¹-ზე. C=O ბმის შეუღლების ეფექტი კეტონებში, ისევე როგორც ალდე-ჰიდებში, იწვევს შთანთქმის ზოლის გადაადგილებას შედა-რებით გრძელტალღოვან უბანში. C=O ბმის შთანთქმის ზოლის მდებარეობის დამოკიდებულება კეტონის აღნაგობასთან მოცემულია ცხრილი 5-ში.

ციკლურ კეტონებში C=O ბმის მდებარეობა დამოკიდე-ბულია ციკლის ზომაზე და ციკლური დაძაბულობის ზრდასთან ერთად შთანთქმის ზოლი უფრო მეტად გადაადგილდება მარცხნივ (იხ. ცხრილი 6).

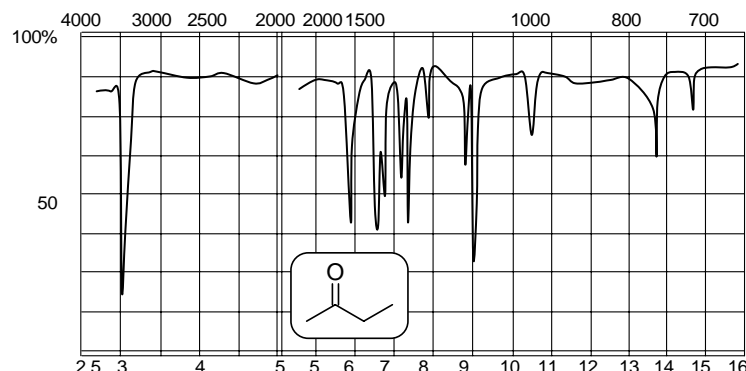
ცხრილი 5. კეტონების აღნაგობის გავლენა C=O ბმის შთანთქმის ზოლის მდებარეობაზე

კეტონის ტიპი	$\nu_{\text{C=O}}$, სმ ⁻¹	კეტონის ტიპი	$\nu_{\text{C=O}}$, სმ ⁻¹
$\text{Alk}-\overset{\text{O}}{\underset{\text{Alk}}{\text{C}}}-\text{H}$	1715	$\text{--}\overset{\text{C}}{\underset{\text{C}}{\text{C}}}=\overset{\text{O}}{\underset{\text{Alk}}{\text{C}}}-\text{Alk}$	1675
$\text{C}_6\text{H}_5-\overset{\text{O}}{\underset{\text{Alk}}{\text{C}}}-\text{H}$	1690	$\text{C}_6\text{H}_5-\overset{\text{O}}{\underset{\text{O}}{\text{C}}}-\text{C}_6\text{H}_5$	1665

კარბონილური ჯგუფის შთანთქმის ზოლის ინტენსიურობა დამოკიდებულია X-C-C=O ჯგუფის ორწახნაგა კუთხის სიდი-დეზე. როდესაც კუთხის მნიშვნელობა 0 °C უტოლდება, შთანთქმის ინტენსიურობა მაქსიმალური ხდება. ნახ. 12 და ნახ. 13-ზე მოცემულია ეთანალისა და ბუტანონის იშვიერები.



ნახ. 12. ეთანალის იწ სპექტრი



ნახ. 13. ბუტანონის იწ სპექტრი

ცხრილი 6. ციკლის ზომის დამოკიდებულება $C=O$ ბმის შთანთქმის ზოლის მდებარეობაზე

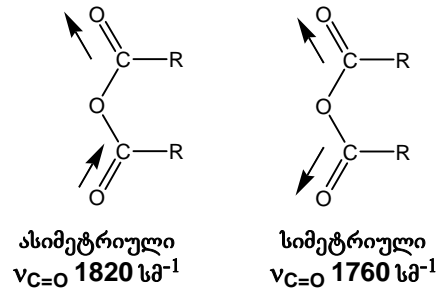
კეტონის ტიპი	$\nu_{C=O}$, cm^{-1}	კეტონის ტიპი	$\nu_{C=O}$, cm^{-1}
ციკლოპენანონი	1715	ციკლობუტანონი	1780
ციკლოპენტანონი	1745	ციკლოპროპანონი	1638

10. კარბონატები და გათი ფარმაცებულები

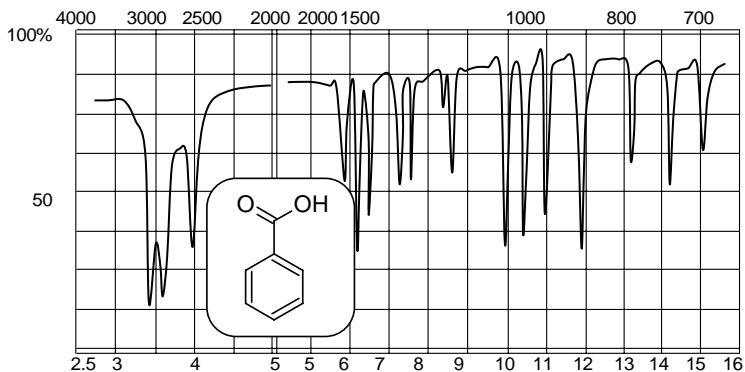
კარბონების ჯგუფს აქვს ორი მახასიათებელი შთანთქმის ზოლი. ერთი მათგანი გამოწვეულია კარბონების O-H ჯგუფის ვალენტური რხევით და ვლინდება $3300-2500 \text{ cm}^{-1}$ -ზე შთანთქმის ფართო ზოლის სახით. პიკის ასეთი ფორმა დაკავშირებულია კარბონების ჯგუფების მიერ წარმოქმნილ წყალბადურ ბმებთან.

მეორე შთანთქმის ზოლი მდებარეობს $1720-1710 \text{ cm}^{-1}$ უბანში და შესაბამება $C=O$ ბმის ვალენტურ რხევას. ნახ. 14-ზე მოცემული ბენზომჟავას იწ სპექტრი მოიცავს ამ შთანთქმის ზოლებს. არომატული კარბონმჟავების იწ სპექტრებში არომატული C-H ბმების ვალენტურ რხევებს 3000 cm^{-1} -ზე ფარავს OH-ის ვალენტურ რხევის შთანთქმის ზოლი.

კარბონმჟავების ქლორანჰიდრიდებში $C=O$ ბმის შთანთქმის ზოლი მდებარეობს $\approx 1810 \text{ cm}^{-1}$ -ზე, რაც განპირობებულია ქლორის ატომის ელექტრონოაქცეპტორული თვისებით. კარბონმჟავას ქლორანჰიდრიდებს ახასიათებთ ორი შთანთქმის ზოლი, რომელიც შეესაბამება $C=O$ ბმის ვალენტურ რხევას: 1820 cm^{-1} და 1760 cm^{-1} -ზე. ამ ორი შთანთქმის ზოლის წარმოჩნება განპირობებულია კარბონილური ჯგუფის „სიმეტრიული“ და „ასიმეტრიული“ რხევებით.



რთული ეთერების კარბონილის ჯგუფის ვალენტური რხევა მდებარეობს 1735 სმ^{-1} -ზე. მიუხედავად იმისა, რომ ეს შთანთქმის ზოლი შედარებით ახლოსაა კარბონილის ჯგუფის შთანთქმასთან 1750 სმ^{-1} , რთულია, მარტო ამ შთანთქმის საფუძველზე გავარჩიოთ მჟავები და რთული ეთერები. ეთერების არსებობა შეიძლება დადასტურებულ იქნას ორი ინტენსიური შთანთქმის მაქსიმუმით $1275-1185 \text{ სმ}^{-1}$ და $1160-1050 \text{ სმ}^{-1}$ -ზე.



ნახ. 14. ბენზომჟავას იწ სპექტრი

ამიდებში C=O ბმის ვალენტური რხევის მდებარეობა დამოკიდებულია აზოტის ატომის ალკილირების ზარისხზე. N-ჩაუნაცვლებელი ამიდები C=O ბმის ვალენტურ რხევას იძლევიან $1725-1675 \text{ სმ}^{-1}$ -ზე, N-მონოჩაუნაცვლებული ამიდები-

$1700-1650 \text{ სმ}^{-1}$ -ზე, ხოლო N,N-დიჩანაცვლებული ამიდები კი- $1670-1630 \text{ სმ}^{-1}$ -ზე.

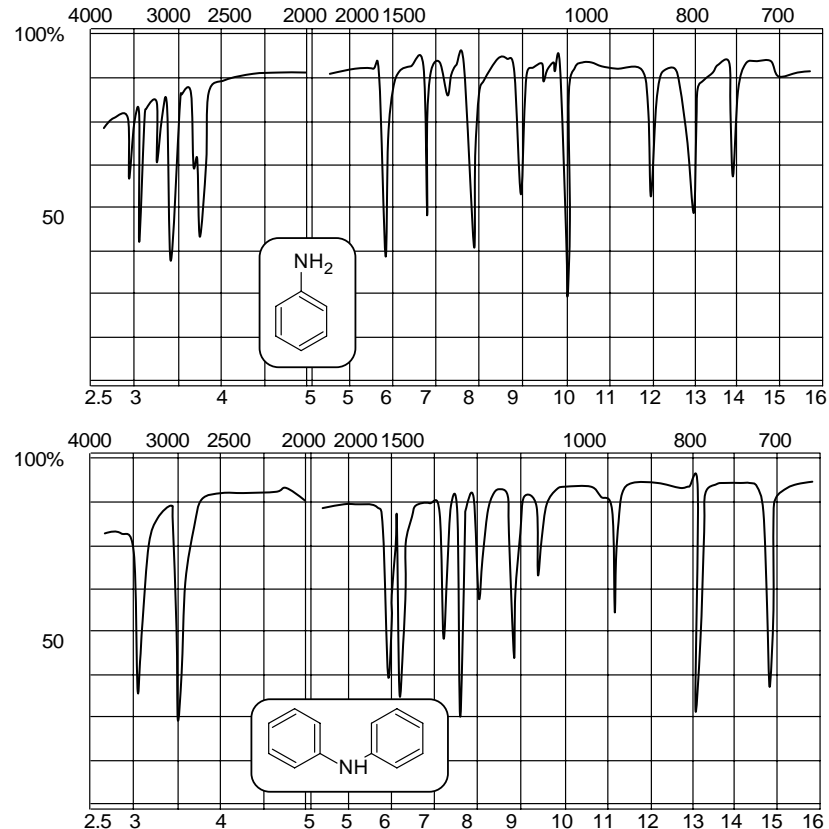
11. ამიდები

პირველადი და მეორეული ამინების იწ სპექტრებში ერთ-ერთი ყველაზე მახსიათებელი შთანთქმის ზოლი განპირობებულია N-H ბმის ვალენტური რხევით. არომატული და ალიფატური პირველადი და მეორეული ამინების სპექტრები შეიცავენ შთანთქმის ორ ზოლს 3490 სმ^{-1} და 3400 სმ^{-1} -ზე, რომელიც განპირობებულია შესაბამისად N-H ბმის სიმეტრიული და ასიმეტრიული ვალენტური რხევებით. ამინები, სპირტებთან შედარებით, სუსტად, მაგრამ შაინც წარმოქმნიან წყალბადურ ბმებს, რომელთა რხევაც ვლინდება $3300-3000 \text{ სმ}^{-1}$ -ზე.

იწ სპექტრებით შესაძლებელია პირველადი, მეორეული და მესამეული ამინების გარჩევა. $3450-3300 \text{ სმ}^{-1}$ უბანში პირველადი ამინები ხასიათდებიან შთანთქმის ორი ზოლით, მაშინ, როდესაც მეორეულ ამინებს აქვთ მხოლოდ ერთი შთანთქმის ზოლი, ხოლო მესამეული ამინები კი საერთოდ არ იძლევიან შთანთქმას აზოტის ატომზე წყალბადის არარსებობის გამო. ზოგჯერ მათი იღენტიფიკაციისათვის ამინებს გარდაქმნიან ქლორპიდრატებში. RNH_3^+ ტიპის მარილები შთანთქმის მაქსიმუმს იძლევიან $\approx 3000 \text{ სმ}^{-1}$ -ზე, R_2NH_2^+ და R_3NH^+ ტიპის მარილები კი ხასიათდებიან შთანთქმის ფართო ზოლით $2700-2200 \text{ სმ}^{-1}$ უბანში. მეორეული და მესამეული ამინების განსხვავება, როგორც ზემოთ იყო ნახსენები, მათი თავისუფალი სახით გადაღებისას ხდება.

არომატული და არაარომატული მეორეული ამინების განსხვავებაზე მიუთითებს შთანთქმის ზუსტი მდებარეობა $3450-3400 \text{ სმ}^{-1}$ უბანში. არომატული მეორეული ამინები შედარებით მაღალი სიხშირის უბანში შთანთქავენ ენერგიას, ვიდრე ალიფატური მეორეული ამინები.

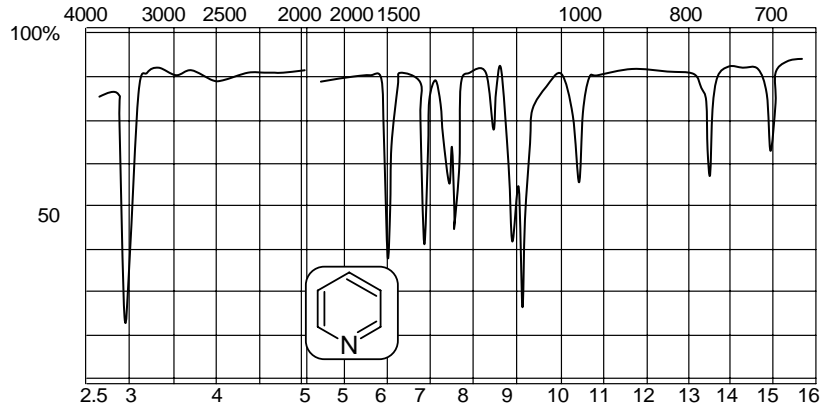
ამინები იძლევიან აგრეთვე შთანთქმის ზოლს $1350-1200 \text{ სმ}^{-1}$ უბანში, რომელიც განპირობებულია C-N ბმის



ნახ. 15. იტ სპექტრები: ანილინი, დიფენილამინი

ვალენტური რხევით, მაგრამ ვინაიდან ამ უბანში ადგილი აქვს C-C და C-O ბმის ვალენტურ რხევებსაც, ამიტომ ეს შთანთქმა მახასიათებელი არ არის.

ამინების იტ სპექტრების სადემონსტრაციოდ ნახ. 15-ზე და ნახ. 16-ზე მოცემულია ანილინის, დიფენილამინისა და პირიდინის სპექტრები.



ნახ. 16. პირიდინის იტ სპექტრი

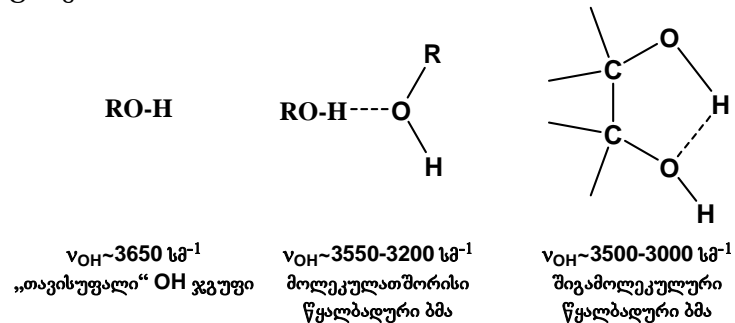
12. სპირტები და ფენოლები

სპირტების ერთ-ერთ ყველაზე დამახასიათებელ შთანთქმას წარმოადგენს 3650-3000 სმ⁻¹ უბანში შთანთქმის ფართო ზოლი, რომელიც გამოწვეულია -OH ჯგუფის ვალენტური რხევით. ასევე მნიშვნელოვანია 1200-1000 სმ⁻¹ შთანთქმის არავიწრო ზოლი, რომელიც შექსაბამება C-O ბმის ვალენტურ რხევას.

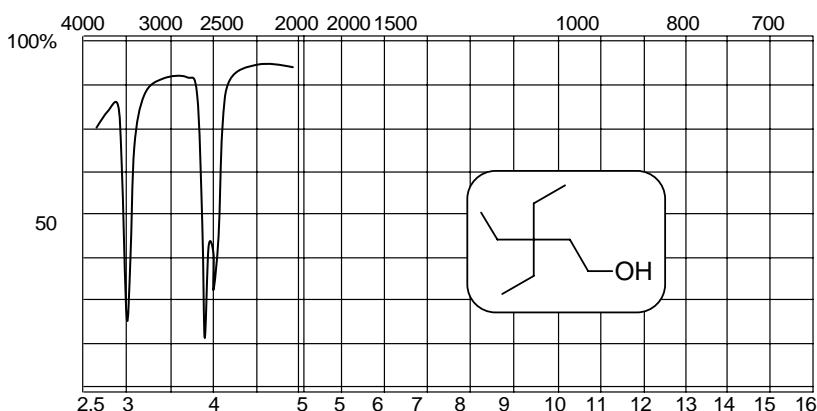
ე.წ. „OH-უბანში“ შეიძლება შეინიშნოს -OH ჯგუფის შთანთქმის რამდენიმე ტიპი. სუფთა ნაერთების ან კონცენტრირებული ხსნარების გადაღებისას სპექტრზე თავს იჩენს შთანთქმის საკმაოდ ფართო ზოლი 3550-3200 სმ⁻¹ უბანში, რაც განპირობებულია მოლეკულათშორისი წყალბადური ბმებით. ამას ადასტურებს სპირტების აირად მდგომარეობაში ან ძლიერ განზავებული (<0.05 M) ხსნარების სახით გადაღება.

სპირტები, გარდა მოლეკულათშორისი წყალბადური ბმებისა, ხშირად შიდამოლეკულურ წყალბადურ ბმებსაც წარმოქმნიან. ასეთ დროსაც იტ სპექტრზე ვლინდება შთანთქმის ფართო ზოლები. ამ დროს O-H ჯგუფის შთანთქმა 3650-3550 სმ⁻¹ უბანში ვლინდება ვიწრო ზოლების სახით, მაგრამ

მათი ინტენსიურობა არ მცირდება სინჯის კონცენტრაციის შემცირებისას.



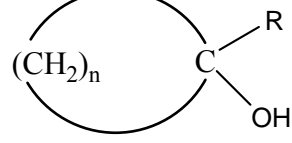
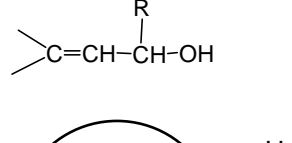
სუფთა 2,3-დიმეთილ-1-პენტანოლის იწ სპექტრი შეიცავს მხოლოდ წყალბალური ბმით დაკავშირებულ OH ჯგუფის შთანთქმის ზოლს (ნახ. 17)



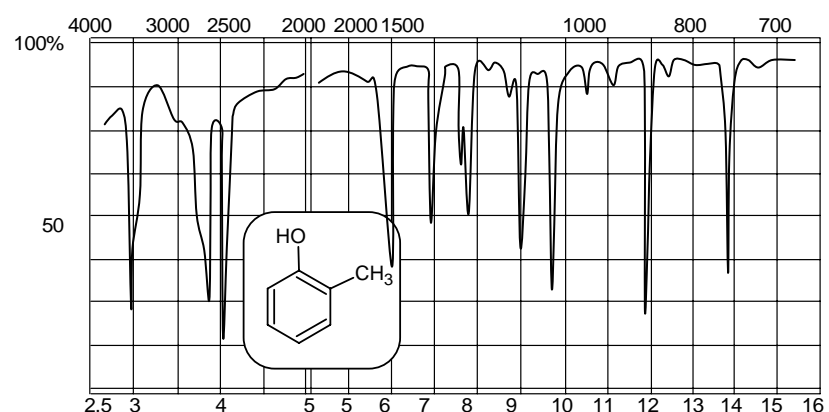
ნახ. 17. 3,3-დიეთილ-1-პენტანოლის იწ სპექტრი

1050 cm^{-1} უბანში არსებული შთანთქმის ზოლები განპირობებულია C-O ბმის რხევებით. ამ შთანთქმის საშუალებით ზოგჯერ შესაძლებელია პირველადი, მეორეული და მესამეული სპირტების გარჩევა (იხ. ცხრილი 7).

ცხრილი 7. სპირტების C-O ბმის მახასიათებელი შთანთქმის ზოლები

სპირტი	შთანთქმის უბანი, cm^{-1}
$\text{R}_3\text{C-OH}$ $\text{R}_2\text{CH-OH}$ 	1200-1125
$\text{RCH}_2\text{-OH}$ 	1125-1085
$\text{n}=4-5$ დანარჩენი	1085-1050
	<1050

ფენოლების იწ სპექტრები რამდენადმე ემსგავსება სპირტების იწ სპექტრებს, რაც ართულებს მათ ერთმანეთისაგან გარჩევას. C-O ბმის ვალენტური რხევა ფენოლებში შეინიშნება 1230 cm^{-1} -ზე. სპირტებისაგან ფენოლების განსხვავება არომატული ბირთვისათვის დამახასიათებელი შთანთქმის ზოლებით ხდება. ნახ. 18-ზე მოცემულია ო-კრეზოლის იწ სპექტრი.



ნახ. 18. ო-კრეზოლის (ნალღობი) იტ სპექტრი

ბირთვულ-მაგნიტური რეზონანსული სპექტრომეტრია დაფუძნებულია ატომური ბირთვების მაგნიტურ თვისებებზე.

ატომბირთვები მოძრაობენ საკუთარი ღერძის გარშემო და გააჩნიათ საკუთარი მოძრაობის რაოდენობის მომენტი, რომელსაც ბირთვის სპინი ეწოდება. სპინი ხასიათდება ბირთვული სპინური რიცხვით I, რომელსაც შეუძლია მიიღოს 0, 1/2, 3/2... მნიშვნელობები და განისაზღვრება ბირთვის შემადგენელი პროტონებისა და ნეიტრონების რიცხვით.

პროტონისა და ნეიტრონის სპინური კვანტური რიცხვი ტოლია $\frac{1}{2}$ -ის. იმისდა მიხედვით, ამ ნაწილაკების სპინები ბირთვში დაწყვილებულია თუ არა, ბირთვი შეიძლება დახასიათდეს ნულოვანი ან არანულოვანი ბირთვული სპინური კვანტური რიცხვით I. ნეიტრონებისა და პროტონების წყვილი რაოდენობის შემცველი ბირთვების (C_6^{12}, O_8^{16}) ჯამური სპინური მომენტი ნულის ტოლია. კენტი რაოდენობის ნეიტრონებისა და პროტონების შემცველი ბირთვებისათვის (N_7^{14}, H_1^2) კი- მთელი რიცხვია ($I=1$). ბირთვულ მაგნიტური რეზონანსული სპექტრომეტრისათვის უფრო მეტად საინტერესოა ის ორგანული ნაერთები, რომლებიც შეიცავენ ისეთი ბირთვების იზოტოპებს, რომელთაც აქვთ კენტი რაოდენობის ნეიტრონებისა და პროტონების ჯამი ($H_1^1, F_9^{19}, C_6^{13}$ და სხვა). ასეთი ატომებისათვის ბირთვის ჯამური სპინი უდრის $\frac{1}{2}$ -ს.

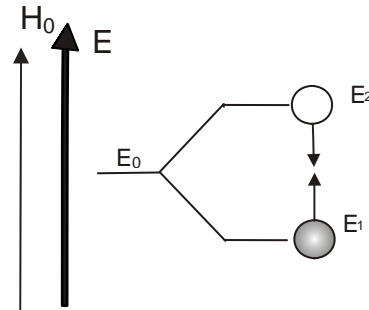
გარე მაგნიტურ H_0 გელში ბირთვმა, რომელსაც გააჩნია სპინური კვანტური რიცხვი I, შეიძლება მიიღოს $2I+1$ ორიენტაცია, ანუ დაიკავოს $2I+1$ ენერგეტიკული დონე.

ატომბირთვებს სპინით $I=0$ მაგნიტურ ველში აქვს ერთი ენერგეტიკული დონე ($2x0+1$), ამიტომ ასეთი ბირთვები არ

შესავალი

გამოიყენებიან ბირთვულ მაგნიტური რეზონანსული მეთოდით კვლევისათვის.

წყალბადის ბირთვის (პროტონის) სპინური რიცხვი არის $\frac{1}{2}$. პროტონებისათვის, რომელთა დაძაბულობაა H_0 , გარე ერთგვაროვან მაგნიტურ ველში შესაძლებელია ორი ორიენტაცია (ნახ. 19): ველის მიმართულებით (ბირთვულ მაგნიტური მომენტი μ პარალელურია მოდებული ველისა) და ველის მიმართულების საწინააღმდეგოდ (ბირთვულ მაგნიტური მომენტი μ ანტიპარალელურია მოდებული ველისა).



ნახ. 19 . მაგნიტურ ველში პროტონის ენერგეტიკული დონეების გახლება:

E_0 — ბირთვების ენერგია ველის არარსებობის შემთხვევაში

E_1 — ველის ორიენტაციის შესაბამისად მიმართული ბირთვების ენერგია

E_2 — ველის ორიენტაციის საწინააღმდეგოდ მიმართული ბირთვების ენერგია

როგორც სქემიდან ჩანს, ველის გასწვრივ ორიენტაცია ენერგეტიკულად უფრო მომგებიანია. ამიტომ ქვედა ენერგეტიკულ დონეზე იარსებებს შედარებით მეტი ბირთვები. დონეების ენერგიებს შორის განსხვავება დამოკიდებულია ბირთვის მაგნიტური მომენტის სიდიდეზე μ და მაგნიტური ველის დაძაბულობაზე H_0 . იგი განისაზღვრება შემდეგი თანაფარდობით:

$$\Delta E = 2\mu H_0$$

მეორეს მხრივ, ქვედა ენერგეტიკული დონიდან ზედა ენერგეტიკულ დონეზე გადასვლისას ბირთვი შთანთქავს ენერგიას (პლანკის განტოლება).

$$\Delta E = h\nu$$

ამიტომ

$$h\nu = 2\mu H_0$$

$$\nu = \frac{2\mu H_0}{h}$$

სადაც ν არის ელექტრომაგნიტური გამოსხივების სიხშირე და შეესაბამება ენერგეტიკულ დონეებს შორის ენერგიის სხვაობას.

თუ ძლიერ მაგნიტურ ველში მოთავსებულ ატომ-ბირთვზე ვიმოქმედებთ ცვლადი მაგნიტური ველით და შეცცვლით მის სიხშირეს (რადიოსიხშირის უბანია 10-500 მჴ), მაშინ მაგნიტური ველის განსაზღვრულ სიხშირეზე ν , რომელიც შეესაბამება კონკრეტული ბირთვის ენერგეტიკულ დონეებს შორის სხვაობას $\Delta E = h\nu$, ადგილი ექნება ამ ბირთვის მიერ ენერგიის შთანთქმას. იგი ქვედა ენერგეტიკული დონიდან გადავა ზედა ენერგეტიკულ დონეზე. ეს ენერგეტიკული გადასვლა ფიქსირდება სპექტრომეტრის მიერ და ჩაიწერება პიკის სახით. მაგნიტური ველის სიხშირის ცვალებადობით შესაძლებელია აღმოჩენილი იქნას საკვლევ მოლეკულაში შემავალი ბირთვების რეზონანსული სიგნალები ანუ მიღებული იქნას ანალიზისათვის განკუთვნილი ნაერთის ბირთვულ მაგნიტური რეზონანსული სპექტრი.

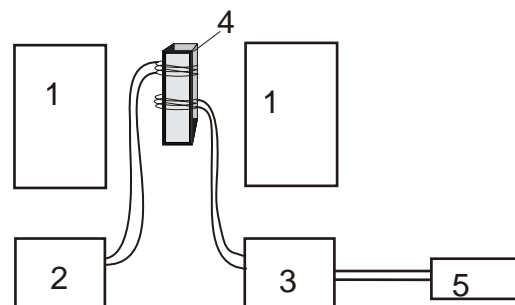
დღეისათვის ბირთვულ მაგნიტური რეზონანსული სპექტრომეტრია გამოიყენება H^1 , F^{19} , C^{13} , P^{31} და სხვა ატომების აღმოსაჩენად, თუმცა ყველაზე გავრცელებულ სახეს წარმოადგენს ბირთვულ-მაგნიტური რეზონანსული სპექტრომეტრია H^1 ატომებისათვის. სპექტრომეტრის ამ სახეს ასევე

ეწოდება პროტონულ-მაგნიტური რეზონანსული სპექტრო-მეტრია. წინამდებარე თავში განხილული იქნება სპექტრომეტ-რიის სწორედ ეს სახე.

ბირთვულ-მაგნიტური რეზონანსის სპექტრომეტრი შედგება შემდეგი ძირითადი ნაწილებისაგან (ნახ. 20):

1. ძლიერი მაგნიტი, რომელიც ქმნის მუდმივ ერთგვა-როვან მაგნიტურ ველს დაძაბულობით H_0 .
2. რადიოსისტორის გამოსხივების გენერატორი, რომელიც ქმნის ცვლად მაგნიტურ ველს დაძაბულობით H_1 .
3. რეზონანსის მარეგისტრირებელი მოწყობილობა.
4. საანალიზო ნივთიერების ამპულა.

სიჯის ამპულას ათავსებენ ძლიერი მაგნიტის პოლუ-სეპს შორის. ნაერთის ძლიერ მაგნიტურ ველში H_0 შეტანის მომენტში ველის გასწვრივ და საპირისპიროდ ორიენტირებული ატომბირთვების რაოდენობა ერთნაირია (50% საერთო რაოდენობის მიხედვით). H_0 ველში მოხვედრის შემდეგ აღგილი აქვს ენერგიის მიმოცვლას ბირთვების სისტემასა („სპინები“) და გარემოს („მესერი“) შორის, რის შედეგადაც ქვედა ენერგე-



ნახ. 20. პროტონულ-მაგნიტური რეზონანსის სპექტრომეტრის ბლოკ-სქემა:

- 1- ძლიერი მაგნიტი, 2- რადიოსისტორის გენერატორი,
- 3- რადიოსისტორის მიმღები, 4- ამპულა სინჯით,
- 5- თვითჩამწერი

ტიკულ დონეზე ბირთვების რაოდენობა საკმაოდ სწრაფად იზრდება და აღწევს ატომბირთვების საერთო რაოდენობის

50%-ზე ცოტა მეტს. ასეთი პროტონები ორიენტირებული არიან H_0 ველის გასწვრივ.

პლანკის განტოლებიდან გამომდინარე ($\Delta E=h\nu$), არსებობს ისეთი ელექტრომაგნიტური გამოსხივების სიხშირე, რომელიც ბირთვის ზედა ენერგეტიკულ დონესა (H_0 ველის საპირისპიროდ ორიენტირებული ატომბირთვები) და ქვედა ენერგეტიკულ დონეს (H_0 ველის გასწვრივ ორიენტირებული ატომბირთვები) შორის სხვაობის ტოლია. თუ ბირთვზე ვიმოქმედებთ სწორედ ასეთი ენერგიის (სიხშირის) ელექტრომაგნიტური გამოსხივებით, მაშინ ატომბირთვები ქვედა ენერგეტიკული დონიდან გადავლენ ზედა ენერგეტიკულ დონეზე და პირიქით (H_0 ველის გასწვრივ ორიენტირებული ატომბირთვები შეიცვლიან ორიენტაციას და დაიკავებენ მის მამართ საპირისპირო მიმართულებას და პირიქით). ვინაიდან თავიდან ქვედა ენერგეტიკულ დონეზე შედარებით მეტი ატომბირთვები იმყოფებოდნენ, ამიტომ ელექტრომაგნიტური გამოსხივების შთანთქმის შემდეგ ზედა ენერგეტიკულ დონეზე შედარებით მეტი ატომბირთვი აღმოჩნდება. ეს უკანასკნელი კი შთანთქმის სიგნალების სახით წარმოდგინდებან H^1 -ბმრ სპექტრზე.

გამოსხივება, რომელიც „ბირთვული მაგნიტების“ ენერგეტიკული შემცველობის ცვლილებას, მდებარეობს ელექტრომაგნიტური გამოსხივების რადიო-სიხშირის ინტერვალში. სიხშირის იმ ზუსტ მნიშვნელობას, რომელიც მოცემული ატომის ენერგეტიკულ დონეზე გადასვლას შეესაბამება, ეწოდება რეზონანსული სიხშირე (მოცემული ატომბირთვისათვის და მოცემულ მაგნიტურ ველში).

აქვე უნდა შეგნიშნოთ, H^1 -ბმრ სპექტრომეტრიაში ტერმინი „რეზონანსი“ გამოიყენება სპეციალური დანიშნულებით და არა აქვს საერთო იმ ტერმინთან, რომელიც მოლეკულების სტრუქტურებს შეეხება.

1. ქიმიური ტანაცვლება

ზემოთ მოყვანილი ფორმულიდან გამომდინარე, H^1 -ატომბირთვის შთანთქმას შეესაბამება 1.41×10^4 გაუსი ველი 60 მჰც სიხშირეზე, ხოლო 100 მჰ სიხშირეზე კი- 2.35×10^4 გაუსი.

ცხადია, ნაერთში შემავალი ყველა წყალბადატომი რომ მარტო ამ სიხშირეზე შთანთქავდეს, მაშინ H^1 -ბრ სპექტრომეტრის გამოყენება აზრს დაკარგავდა. საბედნიეროდ, მაგნიტური ველი, რომელშიც არსებობს მოცემული H^1 , იშვიათად შეესაბამება H_0 -ს. მის ნაცვლად მასზე მოქმედებს ეფექტური მაგნიტური ველი H_{eff} , რომელიც რამდენადმე განსხვავდება H_0 -საგან. ეს განსხვავება გამოწვეულია იმ გარემოებით, რომ H_0 -ის ზემოქმედებით თვით მოლეკულაში H^1 -ატომის საკუთარი სუსტი მაგნიტური ველი, რომელიც, შემთხვევიდან გამომდინარე, ემატება ან აკლდება H_0 -ს.

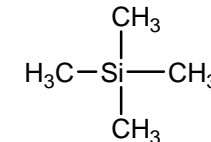
მოდებული მაგნიტური ველის შედეგად გამოწვეული ბირთვის გარშემო ელექტრონების იძულებითი მოძრაობა H^1 -ატომშობს დამატებით H' მაგნიტურ ველს, რომელიც არის მიმართული H_0 -ის საპირისპიროდ. ამის შედეგად მოდებული მაგნიტური ველის სრული დაბაბულობისადმი ბირთვი არის ეკრანირებული და ამასთანავე ეკრანირების ეფექტის ზომა H_0 -ის მნიშვნელობის პროპორციულია.

2. ვარდობითი ქიმიური ტანაცვლება

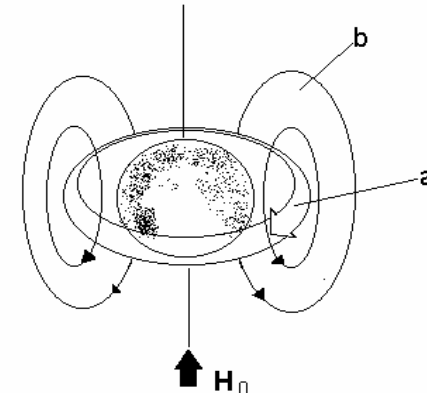
სხვადასხვა ნაერთში პროტონების რეზონანსული სიხშირეების შედარების მიზნით საკვლევ ნაერთში, როგორც წესი, ამატებენ ინერტულ სტანდარტულ ნაერთს (ე.წ. შიგა სტანდარტი) და მიღებული სიგნალების მნიშვნელობებს

აითვლიან შიგა სტანდარტის მიხედვით. ამდენად იზომება სიგნალებს შორის სხვაობა $\Delta\nu$ და ეს შეიძლება შესრულდეს საკმაოდ დიდი სიზუსტით.

სტანდარტის სიგნალისა და განსაზღვრული სიგნალის რეზონანსულ სიხშირეებს შორის სხვაობა H^1 -ატომის დაგენერაციული წარმოადგენს ქიმიურ წანაცვლებას. ორგანულ გამსსნელებში ხსნადი ნაერთის პროტონულ-მაგნიტური რეზონანსის სპექტრის შეწავლისას სტანდარტულ ნაერთად თითქმის ყოველთვის გამოიყენება ტეტრამეთილსილანი.



ტეტრამეთილსილანი (TMS)



- ნახ. 21. ელექტრონების ცირკულაცია და რეზულტატური ინდუქციური მაგნიტური ველი, რომელიც გამოწვეულია ატომზე მოდებული მაგნიტური ველით H_0 .
 a-ელექტრონების ცირკულაციის მიმართულება
 b-ინდუცირებული მაგნიტური ველის ძალწირები

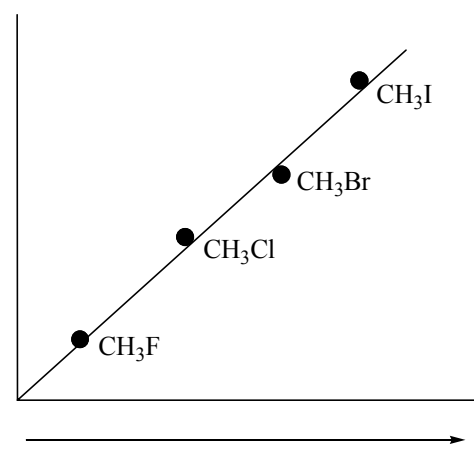
რომელიმე მოცემული ბირთვის რეზონანსული სიხშირე გამოისახება პერცებში (ჰ) და დამოკიდებულია მოდებულ მაგნიტურ ველზე. მოცემული პროტონის დახასიათებისას რომ არ იყოს საჭირო ორივე მონაცემის (მაგნიტური ველის დაძაბულობისა და სტანდარტსა და საკვლევ ნივთიერების რეზონანსულ სიხშირებს (შორის სხვაობა) მითითება, ქიმიური წანაცვლებები ძირითადად გამოისახება მილიონობით წილებში (მწ) ან ერთეულებში (გ).

$$\tau = \frac{\Delta v \times 10^6}{\text{სპექტრომეტრის სამუშაო სიხშირე (გ)}}$$

H^1 -ბმრ სპექტრის ჩაწერას ახდენენ ისე, რომ ველის დაძაბულობა გაიზარდოს მარცხნიდან მარჯვნივ. ამ დროს TMS-ის სიგნალი, რომლის პროტონებიც ყველაზე ძლიერ არიან ეკრანირებული, იმყოფება მარჯვენა განაპირა წერტილში. მისი ქიმიური წანაცვლება დაშვებულია 0-ის (0.00δ) ტოლად. თუ მოცემულ ატომზე მოქმედი ინდუცირებული მაგნიტური ველი იკრიბება მოდებულ მაგნიტურ ველთან ერთად (ე.ი. თუ $H_{\text{ფ}} > H_0$), მაშინ ასეთი პროტონისათვის რეზონანსი დადგება მოსალოდნელზე შედარებით ნაკლები H_0 მნიშვნელობისათვის. ასეთი პროტონი დეზ-ეკრანირებულია და მისი სიგნალი მდებარეობს შედარებით სუსტი ველის უბანში სტანდარტთან შედარებით. რაც უფრო ძლიერია დეზეკრანირება, მისი სიგნალი მით უფრო სუსტი ველის უბანში მდებარეობს. სიგნალების უმეტესობა მდებარეობს TMS-ის სიგნალის მარცხნივ (უფრო სუსტი ველის უბანში).

3. ქიმიურ წანაცვლებაზე მოქმედი ფაზურორეაბი

როგორც წინა პარაგრაფში ვნახეთ, ბირთვის ელექტრონებზე H_0 ველის მოქმედება იწვევს მათ ეკრანირებას. აქედან გამომდინარე, მაგნიტური ველით ინდუცირებული ბირთვების ეკრანირების ხარისხი მცირდება ბირთვზე ლოკალიზებული ელექტრონული სიძკვრივის შემცირების მიხედვით. ეს მოსაზრება მტკიცდება მეთილჰალოგენიდებში სხვადასხვა ჰალოგენის გავლენით მეთილენური ჯგუფის ქიმიურ წანაცვლებაზე. ნაერთების მწკრივში მეთილიოდიდი-მეთილბრომიდი-მეთილქლორიდი-ჰალოგენის ინდუციური ეფექტის გაზრდით პროტონების სიგნალი გადაინაცვლებს შედარებით სუსტი ველში (ნახ. 22).



ნახ. 22. ჰალოგენის გავლენა მეთილჰალოგენიდების მეთილის ჯგუფის პროტონების ქიმიურ წანაცვლებაზე

ბმების ელექტრონების ცირკულაციის გამო H_0 იწვევს არასიმეტრიული მაგნიტური ველის ინდუცირებასაც ინდუქციურ ეფექტებთან ერთად (რომელიც გადაიცემა ბმების საშუალებით). ინდუცირებული ველების ეფექტი შეიძლება იყოს როგორც ძლიერი, ისე სუსტი და გამოიწვიოს ეკრანირება ან დეზეკრანირება. ისეთ ეფექტს, რომელიც გადაეცემა სივრცეში,

ეწოდება ანიზოტროპია. იგი π -ბმებისათვის უფროა დამახასიათებელი, ვიდრე σ -ბმებისათვის.

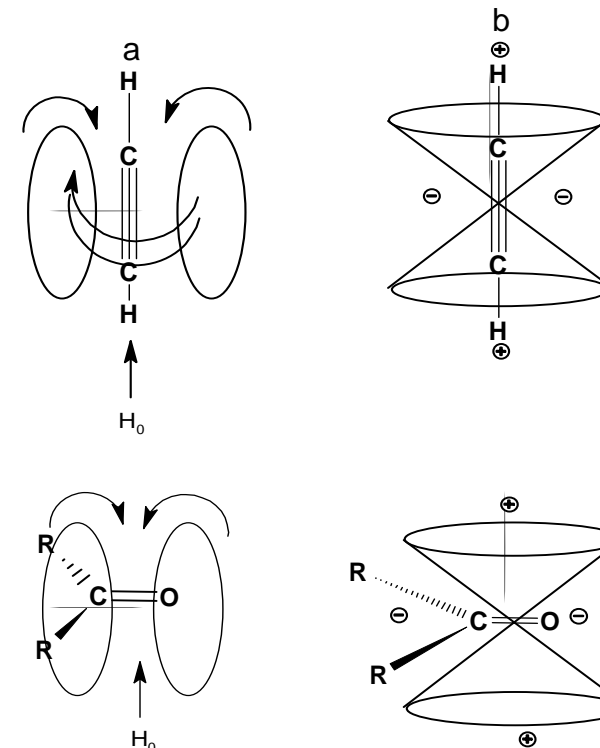
ჯერადი ბმების ანიზოტროპული ეფექტები ნაჩენებია ნახ. 23-ზე. ამ სურათზე თითოეული ფუნქციური ჯგუფის ორიენტაცია H_0 -ის მიმართ პასუხობს π -ელექტრონების სისტემის მაქსიმალურ მგძნობიარობას H_0 ველისადმი.

H^1 -ბმრ სპექტრომეტრია აქტიურად გამოიყენება ნაერთის არომატულობის დადგენისათვის. არომატული ნაერთების H -ის სიგნალები საკმაოდ სუსტ ველში ვლინდება, ვიდრე ალკენების წყალბადატომთა სიგნალები. როდესაც ბენზოლის მოლეკულაზე მოქმედებს მოდებული მაგნიტური ველი H_0 , მასში ბირთვის გარშემო აღიძვრება σ -ელექტრონების ნაკადი. ამ მოვლენას ეწოდება ციკლური დენი, იგი აღძრავს აქსიალურ მაგნიტურ ველს, რომელიც აძლიერებს H_0 ველს ციკლის გარედან წყალბადატომების რეგიონში და მიმართულია ციკლის შიგნით მის საპირისპირო. აქედან გამომდინარე რეზულტატური ეფექტი ისეთია, რომ ბენზოლის მოლეკულის პროტონები დეზეკრანირებულნი არიან და შედიან რეზონანსში H_0 -ის შედარებით დაბალი მნიშვნელობისათვის (ნახ. 25).

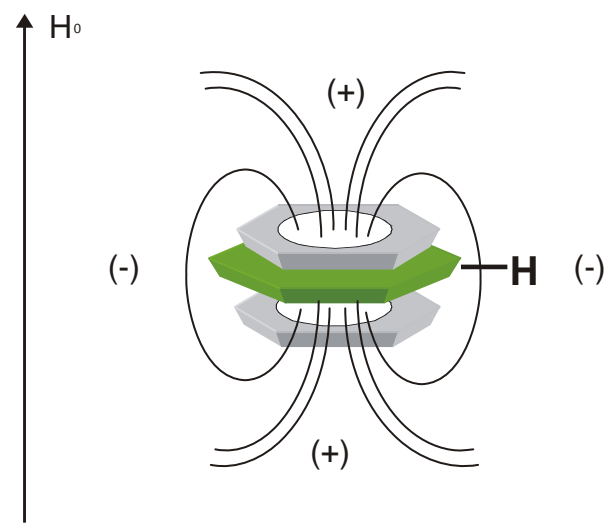
აღმოჩნდა, რომ ასეთი მიმართულების დენი და ძალები აღიძვრება მხოლოდ არომატული ნაერთის მოლეკულებში. ამიტომ წყალბადატომების „უჩვეულოდ“ დიდი ქიმიური წანაცვლება ცალსახად მიუთითებს ნაერთის არომატულობაზე. ამის სადემონსტრაციოდ ქვემოთ მოყვანილია ბენზოლის (არომატული ნაერთის), ფურანის (ჰეტეროციკლური არომატული ნაერთის) და ციკლოოქატეტრაენის (არაარომატული ანულენის) H^1 -ბმრ სპექტრები.

აქედან გამომდინარე, არომატული პროტონები მნიშვნელოვნად არიან წანაცვლებულნი სუსტ ველში ($\delta \approx 7$ მჴ). წრიული დენის ეფექტი დამახასიათებელია არა მარტო ბენზოლისათვის, არამედ სხვა „ბენზოიდური“ მოლეკულებისათვისაც.

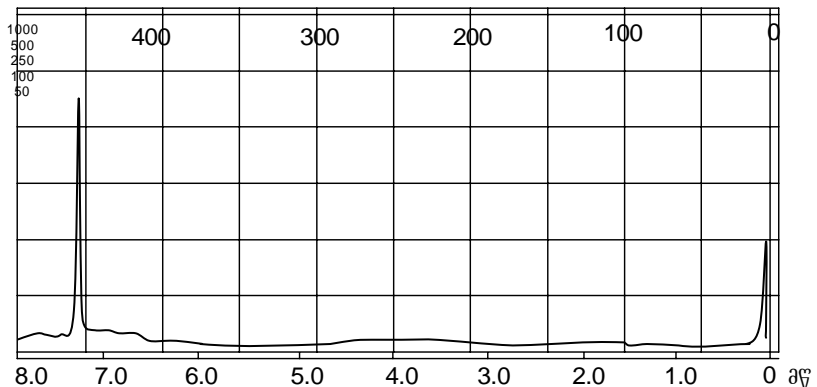
ქვემოთ მოყვანილ ცხრილში მოცემულია ზოგიერთი ჯგუფისათვის დამახასიათებელი ქიმიური წანაცვლებები (ცხრილი 8).



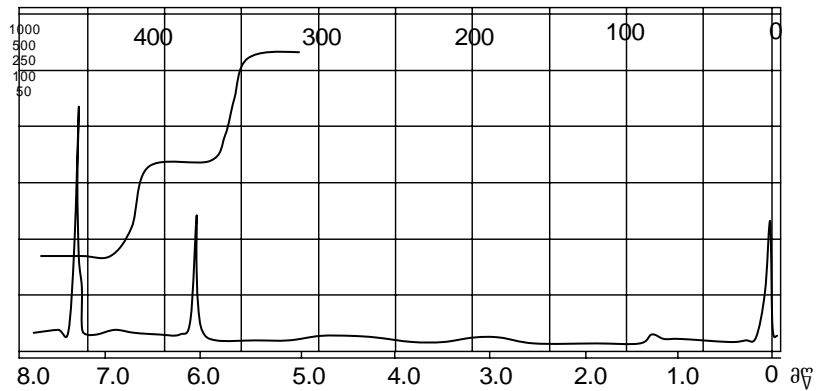
ნახ. 23. ჯერადი ბმების ეკრანირებისა და დეზეკრანირების ეფექტები. $C \equiv C$ ბმის მოდელი მისაღებია $C \equiv N$ ბმისათვისაც. $C=C$ ბმის ეფექტი ანალოგიურია $C=O$ ბმისათვის. პროტონები ეკრანირებულნი არიან „+“ უბნებში და დეზეკრანირებულნი „-“ უბანში. a-ინდუცირებული მაგნიტური ველი, b-მაგნიტური ველით გამოწვეული ეკრანირებისა და დეზეკრანირების სქემატური გამოსახვა.



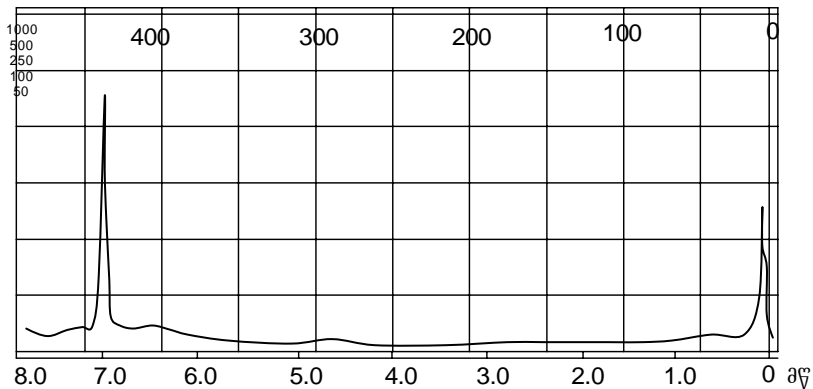
ნახ. 25. ბენზოლში ელექტრონული სიმკვრივე, ციკლური დენი და მაგნიტური ველის ძალწირები



ნახ. 24. ბენზოლის H^1 -ბმრ სპექტრი



ნახ. 26. ფურანის H^1 -ბმრ სპექტრი



ნახ. 27. ციკლოოქტატეტრაენის H^1 -ბმრ სპექტრი

ცხრილი 8. ნახშირწყალბალების ქიმიური წანაცვლებები

ჯგუფი	δ, ppm	ჯგუფი	δ, ppm
მეთოლენური ჯგუფები	CH ₃ -R	R-CH ₂ -R	1.1-1.5
	CH ₃ -CR=C<	R-CH ₂ -Ar	2.5-2.9
	$\begin{array}{c} \text{O} \\ \diagdown \\ \text{H}_3\text{C}-\text{C} \\ \diagup \\ \text{R} \end{array}$	$\begin{array}{c} \text{R}-\text{CH}_2-\overset{\text{R}}{\underset{\text{O}}{\text{C}}} \\ \diagdown \\ \text{O} \end{array}$	2.5-2.9
	$\begin{array}{c} \text{O} \\ \diagdown \\ \text{H}_3\text{C}-\text{C} \\ \diagup \\ \text{Ar} \end{array}$	R-CH ₂ -OH	3.2-3.5
	$\begin{array}{c} \text{O} \\ \diagdown \\ \text{H}_3\text{C}-\text{C} \\ \diagup \\ \text{OR} \end{array}$	R-CH ₂ -OAr	3.9-4.3
	$\begin{array}{c} \text{O} \\ \diagdown \\ \text{H}_3\text{C}-\text{C} \\ \diagup \\ \text{OAr} \end{array}$	$\begin{array}{c} \text{R}-\text{CH}_2-\overset{\text{R}}{\underset{\text{O}}{\text{C}}} \\ \diagdown \\ \text{O} \end{array}$	3.7-4.1
	CH ₃ -N<	R-CH ₂ -Cl	3.5-3.7
	CH ₃ -OR	R ₃ CH	1.4-1.6
	CH ₃ -OAr	R ₂ CH-OH	3.5-3.8
	$\begin{array}{c} \text{O} \\ \diagdown \\ \text{H}_3\text{C}-\text{C} \\ \diagup \\ \text{R} \end{array}$	Ar ₂ CH-OH	5.7-5.8
უჯრიანი ჯგუფები	R-CH=C<	R-OH	3-6
	Ar-H	Ar-OH	6-8
	$\begin{array}{c} \text{O} \\ \diagdown \\ \text{R}-\text{C} \\ \diagup \\ \text{H} \end{array}$	RCOOH	10.12
	R-C≡CH	RNH-	2-4

4. ეპრანირების ემპირიული პრისტანტები

ცხრილი 8-ში მოცემული კონსტანტების საშუალებით ზოგჯერ შესაძლებელია, დიდი სიზუსტით იქნას განსაზღვრული ზოგიერთი პროტონის ქიმიური წანაცვლება, მაგრამ როგორც ჩანს, ცხრილი არ მოიცავს პროტონის ყველა შესაძლო სახეობას. ასეთ შემთხვევაში მიმართავენ სხვადასხვა მეთოლს, რომელთა შორისაც დიდი პოპულარობით სარგებლობს ე.წ. ეკრანირების კონსტანტების ცხრილი. აღნიშნული ცხრილის ძირითადი იდეა მდგომარეობს იმაში, რომ ყველ ფუნქციურ ჯგუფს მიეწერება განსაზღვრული რიცხვი (ინკრიმენტი), რომელიც ასახავს მოცემული ჯგუფის გავლენას ქიმიურ წანაცვლებაზე. ორი ან მეტი ჯგუფის გავლენა განისაზღვრება ინკრიმენტების ჯამის სახით. მაგალითად, თუ ჯგუფი X იწვევს ქიმიურ წანაცვლებას x-ერთეულით, ხოლო Y-ჯგუფი კი y-ერთეულით, მაშინ Y-CH₂-X-ში მეთილენური ჯგუფის ქიმიური წანაცვლება გამოვლინდება (x+y) მწ სილიდეზე.

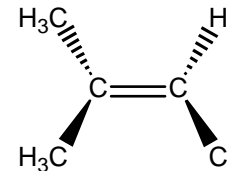
ინკრიმენტების რამოდენიმე სახის ცხრილიდან ქვემოთ მოყვანილია ყველაზე მეტად გავრცელებული, რომლის საშუალებითაც წარმოებს მეთილენური ჯგუფების დადგენა. ამ მიღვიმას ეწოდება **შულერის წესი**. ამ წესის თანახმად, მეთილენის ჯგუფთან დაკავშირებულ ჯგუფთა ინკრიმენტები იკრიბება მეთანის ქიმიურ წანაცვლებასთან (0.23 მწ). ნაპოვნი მნიშვნელობა შესაბამება საძიებელი მეთილენური პროტონის ქიმიურ წანაცვლებას. მაგალითად, ნაერთში Br-CH₂-Cl ბრომის ინკრიმენტი არის 2.33 მწ, ხოლო ქლორის 2.53 მწ. ამიტომ CH₂ ჯგუფის მოსალოდნელი ქიმიური წანაცვლება მდებარეობს 0.23+2.53+2.33+5.09 მწ-ზე, რაც ძალიან ახლოსაა პრაქტიკულად მიღებულ მონაცემთან (5.16 მწ).

ცხრილი 9. X-CH₂-Y ტიპის ნაერთებში პროტონების ქიმიური წანაცვლებების გამოსათვლელი ინკრიმენტები („საინური კონსტანტები“)

ჯგუფი (X ან Y)	ინკრიმენტი მწ	ჯგუფი (X ან Y)	ინკრიმენტი მწ
-CH ₃	0.47		1.59
-CF ₃	1.14	-C≡N	1.70
-RC=CR ₂	1.32	-I	1.82
-C≡CR	1.44	-C ₆ H ₅	1.85
-C≡CAr	1.65	-Br	2.33
	1.55	-OR	2.36
	1.70	-Cl	2.53
		-OH	2.56

5. H¹-ბმრ სპექტრომეტრია და სტერეოქიმია

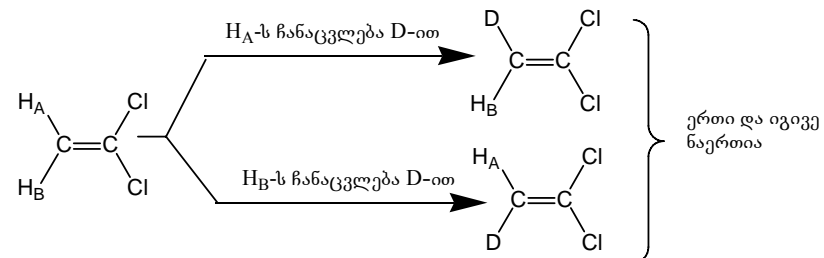
ზემოთ განხილული მასალიდან ნათელია, რომ ორ მეთილის ჯგუფს ექნება სხვადასხვა ქიმიური წანაცვლება, თუ ერთი უანგბადის ატომთან არის დაკავშირებული, ხოლო მეორე ქლორის ატომთან. მაგრამ საინტერესოა, როგორი იქნება მეთილის ჯგუფის ქიმიური წანაცვლება 2-მეთილ-1-ქლორპროპენში ანუ შესაძლებელი იქნება თუ არა სტერეოიზომერული სტრუქტურების დადგენა H¹-ბმრ სპექტრომეტრით.



2-მეთილ-1-ქლორპროპენი

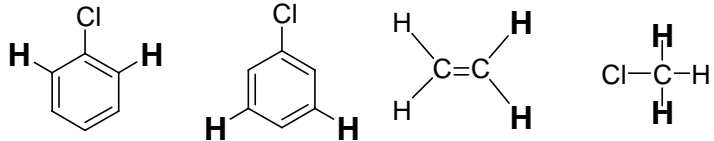
ამ საკითხის გარკვევისათვის საჭიროა დადგენილი იქნას ზოგადი კანონზომიერება, რომლის მიხედვითაც გაირკვევა, მოლეკულაში ერთნაირია თუ არა რომელიმე ორი პროტონის ქიმიური წანაცვლება. პროტონების შემცველ ჯგუფებს, რომელთაც ერთნაირი ქიმიური წანაცვლება გააჩნიათ, ეწოდებათ მაგნიტოეკვივალენტური ქიმიური წანაცვლების თვალსაზრისით ან იზოქრონულები¹.

ზოგადად ჯგუფების ქიმიური წანაცვლება იქნება ერთნაირი, თუ ისინი ეკვივალენტურები (ჰომოტოპები) ან ენანტიოტოპები არიან. რომ დავადგინოთ ეკვივალენტურია თუ არა ორი პროტონი, შეიძლება ვინელმდლვანელოთ შემდეგი მეთოდით. მაგალითად, დეინტერიუმით უნდა შეიცვალოს ჯერ ერთი პროტონი, შემდეგ მეორე. თუ ორივე შემთხვევაში მიიღება იდენტური ნაერთი, მაშინ ორივე პროტონი ეკვივალენტურია. მაგალითად H_A და H_B პროტონები 1,1-დიქლორეთანში ეკვივალენტურია.

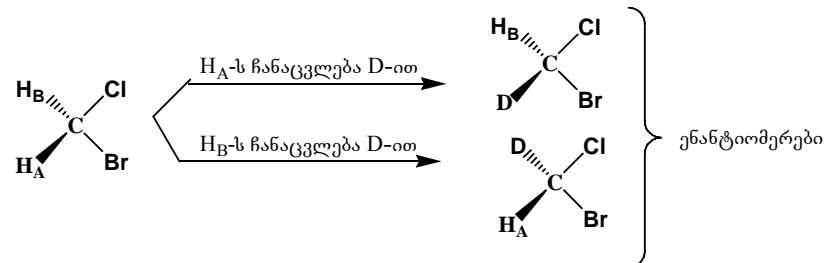


¹ ასეთი პროტონების ალანიშვად ასევე გამოიყენება ტერმინები „სიმეტრიულად ეკვივალენტურები“, „ქიმიურად ეკვივალენტურები“, ქიმიური წანაცვლებით მაგნიტოეკვივალენტურები

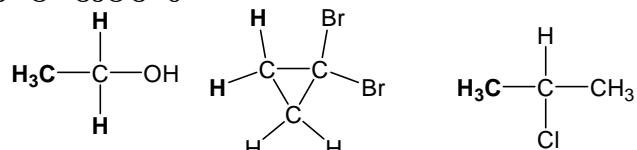
ასევე ეკვივალენტურები არიან ქვემოთ მოყვანილი მუქი შრიფტით აღნიშნული პროტონები.



ენანტიოტონპული ბირთვები შეიძლება იდენტიფი-ცირებულნი იქნან ანალოგიური მეთოდით. თუმცა ამ დროს წყალბადატომების დეიტერიუმით შეცვლისას მიიღება ენანტიომერები. მაგალითად, ბრომქლორმეთანში H_A და H_B პროტონები ენანტიომერებია. D-ით მათ მორიგეობით ჩანაცვლებას მივყავართ ენანტიომერებთან. ამიტომ H_A და H_B იზო-ქრონული პროტონებია.

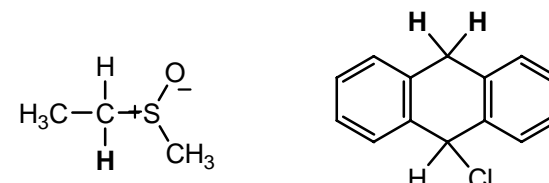
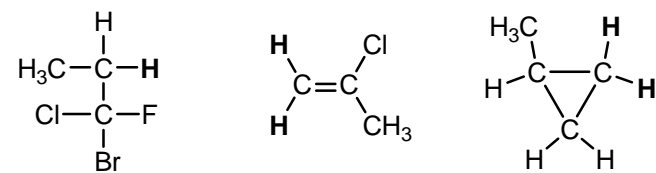


ენანტიოტონპული ბირთვების (განსხვავებული შრიფტით აღნიშნული პროტონები) სხვა მაგალითები მოცემულია შემდეგ სტრუქტურებში.



დიასტერეოტოპურ პროტონებს განსხვავებული ქიმიური წანაცვლებები აქვთ. ასეთი პროტონები შეიძლება გამოვიცნოთ ჩანაცვლების კრიტერიუმის გამოყენებით. დიასტერეოტოპური პროტონების დეიტერიუმით ჩანაცვლებისას მიიღება დიას-

ტერეომერები. ქვემოთ მოცემულ სტრუქტურებში განსხვავებული შრიფტით აღნიშნული H -ატომები დიასტერეოტოპურებია.



დიასტერეოტოპური ბირთვების ერთ-ერთ კლასიკურ მაგალითს წარმოადგენს მოლეკულები, რომელშიც მეთილენური ჯგუფები იმყოფებიან ქირალურ ცენტრთან (მაგალითად, 1-ბრომ-1-ქლორ-1-ფთორპროპანი, იხ. ზემოთ). ასეთი პროტონები დიასტერეოტოპურებია და მათი ქიმიური წანაცვლებები განსხვავებულია. ასეთ პროტონებს ეწოდება მაგნიტურარაგვიგალებურები ქიმიური წანაცვლების თვალსაზრისით ანუ ანიზოქრონულები. იზოპროპილის ნაშთის მეთილის ჯგუფები, რომლებიც ხირალური ცენტრის მეზობლები არიან, ასევე დიასტერეოტოპურებია.

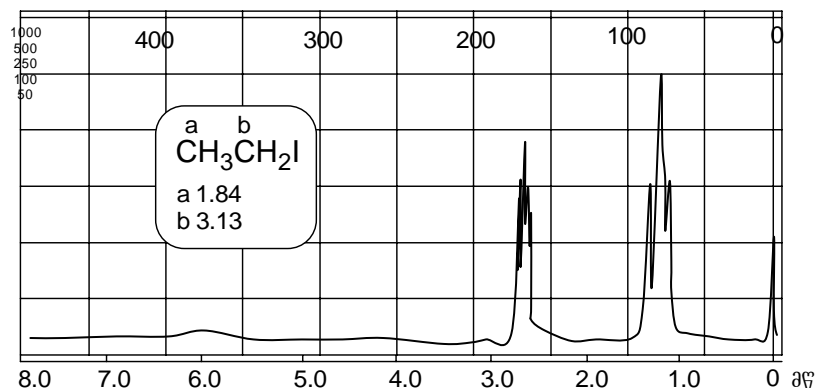


ქიმიური წანაცვლების თვალსაზრისით, მაგნიტური არაეკვივალენტურობის არსებობა არ არის დამოკიდებული იმ გამსხველის ბუნებაზე, რომელშიცაა სპექტრი გადაღებული

(გამხსნელის ცვლილებით შეიძლება შეიცვალოს ინტერგალი და ასტერეოტური ბირთვების ქიმიურ წანაცვლებებს შორის). მაგნიტური არაეკვივალენტურობა ასევე არ არის დამოკიდებული მოლეკულის კონფორმაციული მდგომარეობის თავისებურებაზე. H^1 -ბმრ სპექტრომეტრის გამხსნელები აქირალურებია. ასეთ გამხსნელებში კი ენანტიომერების H^1 -ბმრ სპექტრები თავსებადები არიან. ამიტომ „მაგნიტური არაეკვივალენტურობა“ ქიმიური წანაცვლების თვალსაზრისით, რომელიც გამოწვეულია მოლეკულაში ხირალური ცენტრის არსებობით, სპექტრში ერთი ენანტიომერისათვის ისეთივე ფორმით წარმოდგინდება, როგორც მის რაცემატულ მოდიფიკაციაში.

6. სპინ-სპინური ურთიერთქმედება

სპინ-სპინური ურთიერთქმედების დასაღენად განვიხილოთ ეთილიოდიდის H^1 -ბმრ სპექტრი (ნახ. 28). ერთი შეხედვით, სპექტრზე თითქოს ორი სიგნალი უნდა ყოფილიყო - ძლიერ ველში (3H- მეთილის ჯგუფი) და სუსტ ველში (2H- მეთილენის ჯგუფი). ფრჩხილებში მოცემული სიდიდეები მიუთითებს



ნახ. 28. ეთილიოდიდის H^1 -ბმრ სპექტრი

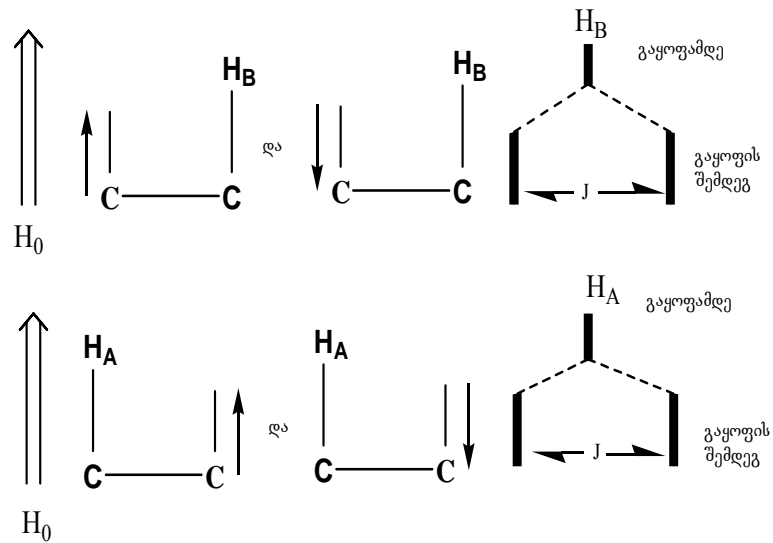
განსახილველი სიგნალის ფარდობით ინტენსიურობებს, რომელიც წარმოადგენს პიკის ფართობს და არა სიგნალის სიმაღლეს. H^1 -ბმრ სპექტრებში პიკის ინტენსიურობა პროტონების რაოდენობის პროპორციულია.

რეალურად H^1 -ბმრ სპექტრი მოიცავს 7 ცალკეულ პიკს, რომელიც ორ ჯგუფადაა წარმოდგენილი. სუსტ ველში პიკების ჯგუფი შეიცავს ოთხ სიგნალს საერთო ინტენსიურობით 2H, ხოლო ძლიერ ველში პიკების ჯგუფი შეიცავს სამ პიკს საერთო ინტენსიურობით 3H. ამ ჯგუფებს ეწოდებათ კვარტეტი და ტრიპლეტი შესაბამისად. H^1 -ბმრ სპექტრებში სიგნალების მულტიპლეტურობის გაზრდა ძლიერ ზრდით მოვლენაა. იგი აიხსნება სპინ-სპინური ურთიერთქმედებით (ანუ როგორც ზოგჯერ უწოდებენ სპინ-სპინური გახლებით) ატომბირთვებს შორის.

სიგნალის გამოვლინება მულტიპლეტის სახით განპირობებულია მეზობელი ბირთვების მაგნიტური ველების ურთიერთქმედებით. ნახ. 29-ზე სქემატურად არის წარმოდგენილი ორი ატომბირთვის მაგნიტური ველების ურთიერთქმედება. H_A ბირთვის მაგნიტური ველი შესაძლებელია მიმართული იყოს H_0 ველის მიმართულებით ან საწინააღმდეგოდ. ამის გამო H_B პროტონი იმყოფება ორ განსხვავებულ ეფექტურ მაგნიტურ ველში. ამიტომ H_B პროტონის სიგნალი გამოვლინდება დუბლეტის სახით. თავის მხრივ, ანალოგიურ ზეგავლენას განიცდის H_A პროტონი და ამიტომ მის სიგნალსაც დუბლეტის სახე ექნება.

როგორც ზემოთ იყო ნახსენები, პიკების ფართობი ერთეული მნიშვნელოვანი მახასიათებელია H^1 -ბმრ სპექტრებში. კერძოდ, სიგნალების ფართობი პირდაპირპროპორციულია პროტონების რაოდენობისა. მაგალითად, შესაძლებელი რომ ყოფილიყო, H_A და H_B პიკების ფართობის გაზომვა სპინ-სპინურ გახლებამდე, ვნახავდით, რომ მათი ფართობა იქნებოდა 1:1. თუმცა გახლების შემდეგ მულტიპლეტში შემავალი პიკების ფართობების ჯამი გახლებამდე არსებული პიპოთეზური პიკის ფართობის ტოლია.

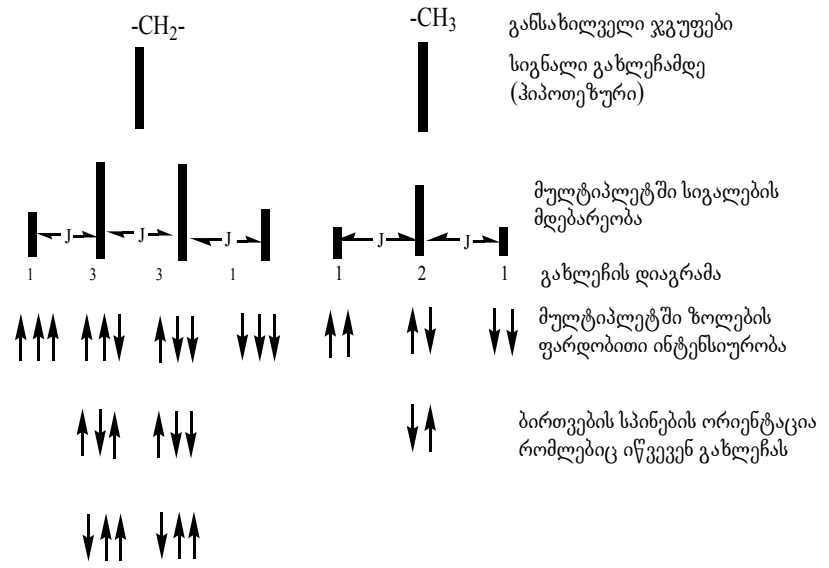
აქედან გამომდინარე, უნდა გვახსოვდეს, რომ მულტიპლეტის ფართობი მიუთითებს H-ატომების რაოდენობას, ხოლო მულტიპლეტში პიკების რაოდენობა კი- იმ ატომების



ნახ. 29. ვიცინალურ პროტონებს შორის სპინ-სპინური ურთიერთქმედების გადაცემის გამარტივებული მექანიზმი (სინამდვილეში ამ შემთხვევაში მონაწილეობენ σ-ელექტრონები. სპინ-სპინური ურთიერთქმედების კონსტანტა J ანასიათებს ორ ატომბირთვს შორის ურთიერთქმედების ხარისხს).

რაოდენობას, რომლებიც ურთიერთქმედებენ განსახილველ პროტონთან ან პროტონებთან.

განვიხილოთ მეთილისა და მეთილენის ჯგუფების ურთიერთქმედებით სპინ-სპინური გახლების მაგალითი (ნახ. 30).



ნახ. 30. სპინ-სპინური ურთიერთქმედების შედეგად ეთილის ჯგუფის გახლების დიაგრამა. მეთილისა და მეთილენის ჯგუფის ქვეშ მოცემული ისრები მიუთითებენ ორიენტაციას, რომელიც შეიძლება მიიღოს ამ ჯგუფის პროტონების სპინებმა. CH₃ ჯგუფის პროტონების ორიენტაციები ↑↑↑, ↑↓↑, ↓↑↑ იძლევა ერთნაირ ეფექტურ მაგნიტურ ველს CH₂ ჯგუფისათვის, ვინაიდან ყველა ეს პროექცია პასუხობს სპინს ↑. ამის შედეგად კი კვარტეტის შიგა ზოლები სამჯერ უფრო ინტენსიურია, ვიდრე გარე ზოლები.

ამდენად, თუ A ჯგუფის n პროტონი ურთიერთქმედებს B ჯგუფის n' პროტონთან, მაშინ A-ს შესაბამისი სიგნალი შედგება n'+1 ზოლისაგან, ხოლო B-ს შესაბამისი სიგნალი- n+1 ზოლისაგან. მულტიპლეტის თითოეული ზოლის ინტენსიურობა განისაზღვრება ნახ. 31-ის მიხედვით.

განლეჩის გამომწვევი ეპეივალენტური ბირთვების რაოდენობა	მიღებული სიგნალის მულტიპლეტობა	ზოლების ფარდობითი ინტენსიურობები
0	სინგლეტი	1
1	დუბლეტი	1 : 1
2	ტრიპლეტი	1 2 1
3	კვარტეტი	1 3 : 3 1
4	კვინტეტი	1 4 6 4 1
5	სექსტეტი	1 5 10 : 10 5 1

ნახ. 31. ზოლების ფარდობითი ინტენსიურობები და მათი განლაგება მულტიპლეტში, რომლებიც წარმოიქმნება ორი ეპეივალენტური ჯგუფის სპინ-სპინური ურთიერთქმედებით. აქვე უნდა აღინიშნოს, რომ სიგნალის ზოლი ჭეშმარიტ ქიმიურ წარაცვლებას ემთხვევა მხოლოდ იმ შემთხვევაში, თუ მულტიპლეტი შედგება კენტი რაოდენობის ზოლებისაგან. მარჯვნივ ციფრებისაგან მიღებულ სამკუთხედს ზოგჯერ უწოდებენ „პასკალის სამკუთხედს“.

7. სპინ-სპინური ურთიერთქმედების კონსტანტა

სპინ-სპინური ურთიერთქმედების კონსტანტა (ანუ სპინ-სპინური განლეჩის კონსტანტა) J ახასიათებს ბირთვებს შორის ურთიერთქმედების ხარისხს და იზომება ჰერცებში (და არა მილიონობით წილებში, ვინაიდან არ არის დამოკიდებული H_0 -ზე). ეს მოვლენა საშუალებას იძლევა, განვასხვავოთ ორი სინგლეტი დუბლეტისაგან, თუ სპექტრს ჩავწერთ სხავადსხვა რადიოსისშირეზე.

J-ის სიდიდე დამოკიდებულია რამოდენიმე ფაქტორზე, რომელთაგანაც უნდა აღინიშნოს ურთიერთმომქმედი ატომ-ბირთვების ფარდობითი განლაგება და მათი დამაკავშირებელი ბმების რაოდენობა. სპინ-სპინური ურთიერთქმედება არ შეინიშნება იმ პროტონებისათვის, რომლებიც ერთმანეთთან დაცილებული არიან სამი ან მეტი ერთმაგი ბმით. ჯერადი ბმების არსებობისას კი უფრო შორ მანძილზე შეინიშნება სპინ-სპინური ურთიერთქმედება. ამასთანავე, მოქმედების მანძილი იზრდება ჯერადი ბმების რაოდენობის პროპორციულად.

J-ის მნიშვნელობის დამოკიდებულება გეომეტრიულ ფაქტორებზე შეიძლება განხილული იყოს ცხრილი 8-ის მონაცემების საფუძველზე. C-C ბმის გარშემო შედარებით თავისუფალი ბრუნვის შემთხვევაში H-C-C-H ვიცინალური პროტონების სპინ-სპინური ურთიერთქმედების კონსტანტა შეადგენს ≈ 7 ჰერცს. J-ის მნიშვნელობა ტოლია სხვადასხვა კონფორმერების საშუალო არითმეტიკულისა და გამოითვლება შემდეგი ფორმულით:

$$J = n_1 J_1 + n_2 J_2 + \dots + n_i J_i$$

$$\sum_{i=1}^k n_i = 1$$

სადაც n_i არის i -ური კონფორმერის მოლური ფრაქცია, J_i -ვიცინალური პროტონების კონსტანტა ამ i -ურ კონფორმერში.

ზოგიერთი ჯგუფის პროტონების სპინ-სპინური ურთიერთქმედების კონსტანტები

ჯგუფი	J, ჰც	ჯგუფი	J, ჰც
	12-18		1-3
	2-10*		7-12
	0		13-18
	3		3
	5-10		1-3

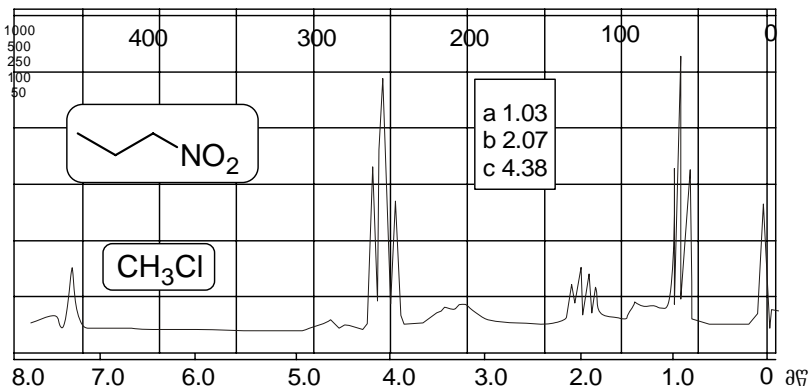
* თავისუფალი ბრუნვისას J=7 ჰც

8. გახლების ხასიათი

H¹-ბმრ სპექტრის მიხედვით ადვილი გასარჩევია ზოგიერთი რადიკალი:

მესამული ბუტილის რადიკალს ახასათებს მკაფიო ინტენსიური სინგლეტი 0.9 ბ-ზე, იზოპროპილს- დუბლეტი ძლიერი ველის არეში, CH₃, 1,2 ბ, J=7 ჰც, ეთილს- ტრიპლეტი და კვარტეტი, (როგორც ზემოთ იყო უკვე მოცემული) მეთოქსიჯგუფს- სინგლეტი (მისი მდებარეობა დამოკიდებულია ნაერთის სტრუქტურაზე) და სხვა.

ამ მარტივ შემთხვევებთან ერთად ზოგჯერ შესაძლებელია უფრო რთული ჯგუფების ანალიზი სპინ-სპინური გახლების დიაგრამების გამოყენებით. შედარებით რთული შემთხვევის მაგალითად განვიხილოთ 1-ნიტროპროპანის H¹-ბმრ სპექტრი (ნახ. 32).



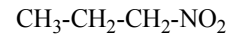
ნახ. 32. 1-ნიტროპროპანის H¹-ბმრ სპექტრი

ამ სპექტრში მეთილისა და მეთილენის ჯგუფები ვლინდებიან ტრიპლეტების სახით. ეს მოსალოდნელი იყო კიდეც, თუ გავითვალისწინებთ მათ ურთიერთქმედებას ცენტრალურ მეთილენურ ჯგუფთან. ეს უკანასკნელი კი ვლინდება მულტიპლეტის სახით, ვინაიდან ურთიერთქმედებს როგორც მეთილის,

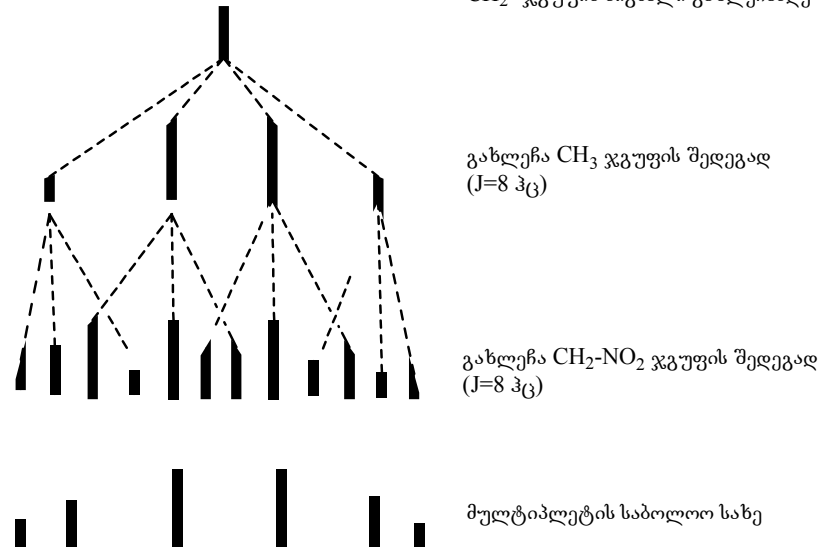
ისე მეთოლენის ჯგუფთან. ამ მულტიპლეტის სპინ-სპინური ურთიერთქმედების ანალიზის საშუალებას იძლევა გახლეჩის დაგრამის შედგენა (ნახ. 33).

სპინ-სპინური ურთიერთქმედების ახლო მნიშვნელობების გამო მულტიპლეტი, რომელსაც შეიძლებოდა ჰქონოდა თორმეტი ზოლი, რეალურად ვლინდება შედარებით ფართო ზოლების - სექტეტის სახით.

1-ნიტროპროპანის მეთოლის სამი პროტონის სიგნალი არ შეიცავს სპინ-სპინურ გახლეჩას ერთმანეთთან ურთიერთქმედების შედეგად, ვინაიდან კვანტური მექანიკის კანონები არ იძლევა საშუალებას, გავარჩიოთ პროტონები ერთი და იგივე ქიმიური წანაცვლებით. ამის გამო ეთილიოდიდის H^1 -ბმრ სექტრიც არ შეიცავს სპინ-სპინურ გახლეჩას ერთმანეთთან ურთიერთქმედებისას.



CH_2 -ჯგუფის სიგნალი გახლეჩამდე

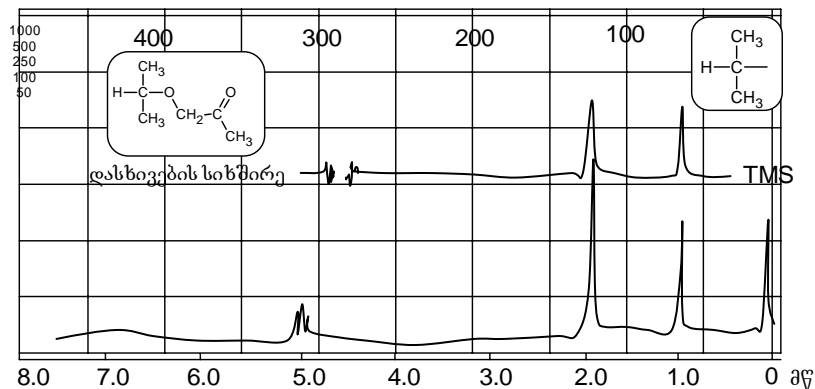


ნახ. 33. 1-ნიტროპროპანის ცენტრალური მეთოლენური ჯგუფის გახლეჩის ანალიზი

9. სპინ-სპინური ურთიერთქმედების ჩახშობა

ორი ატომბირთვის სპინ-სპინური ურთიერთქმედების ჩახშობის მიზნით სინჯს ასხივებენ ერთ-ერთი ბირთვის შესაბამისი რადიოსინაშირით. H^1 -ბმრ სექტრის ჩაწერისას ორმაგი რეზონანსის პირობებში დასხივებული პროტონის სიგნალი აღარ ჩანს და ამასთანავე მარტივდება სხვა სიგნალების სახეც, ვინაიდან გამოირიცხება მათ შორის სპინ-სპინური ურთიერთქმედება (ნახ. 34).

ანალოგიური ეფექტი შესაძლებელია მივიღოთ, თუ პროტონს ჩავანაცვლებთ დეიტერიუმით, რადგან ეს უკანასკნელი ძლიერ მცირედ გამოხატული სპინ-სპინური ურთიერთქმედებით ხასიათდებან.



ნახ. 34. იზოპროპილის ჯგუფის მეთოლის პროტონების სპინ-სპინური ურთიერთქმედების ჩახშობა სინჯის მეთილენურ სიგნალზე დასხივებით

10. მაგნიტური ეპვივალენტობა სპინ-სპინური ურთიერთებების თვალსაზრისით

სხვადასხვა პროტონის ეკვივალენტობა და არაეკვივალენტობა გამოვლინებას ჰარმონიული წარმოადგენს H^1 -ბმრ სპექტრის ორ პარამეტრში: ქიმიურ წარმოადგენის და სპინ-სპინური ურთიერთებების კონსტანტაში. იმისათვის რომ ორი პროტონი იყოს იდენტური H^1 -ბმრ ექსპერიმენტში, აუცილებელია:

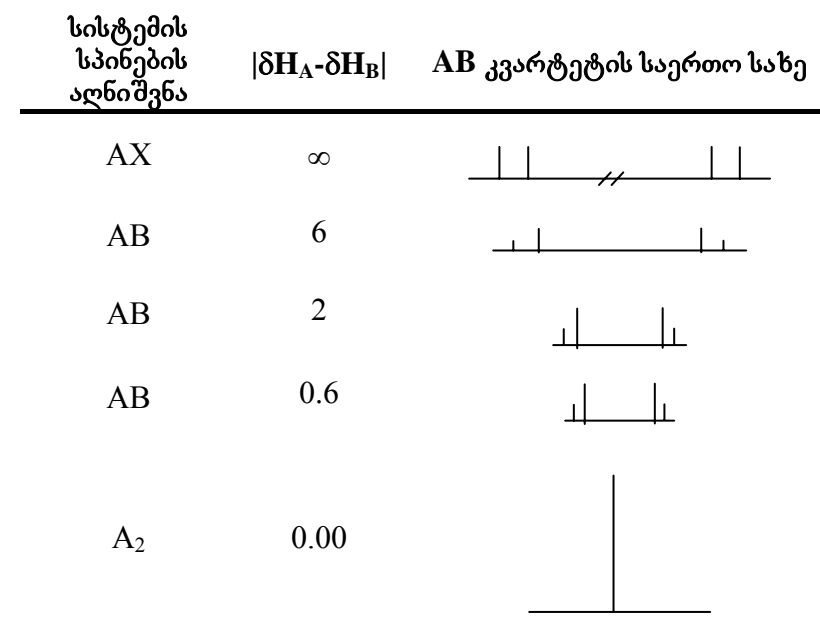
- ჰარმონიული ერთნაირი ქიმიური წარმოადგენი
- სპინ-სპინური ურთიერთებების კონსტანტები უნდა იყოს წყვილ-წყვილად ტოლი მოლეკულის დანარჩენი ატომების მიმართ

პროტონებს, რომელთაც წყვილ-წყვილად ტოლი აქვთ სპინ-სპინური ურთიერთებების კონსტანტები, ეწოდებათ „მაგნიტური ეკვივალენტურები“ სპინ-სპინური ურთიერთებების თვალსაზრისით“.

მაგნიტური ეკვივალენტობა ქიმიური წარმოადგენის თვალსაზრისით და მაგნიტური ეკვივალენტობა სპინ-სპინური ურთიერთებების თვალსაზრისით არის მაგნიტური ეკვივალენტობის ორი სხვადასხვა ასპექტი. პირველი მათგანი უკვე იყო აღწერილი. ახლა განვიხილოთ მაგნიტური ეკვივალენტობა სპინ-სპინური ურთიერთებების თვალსაზრისით.

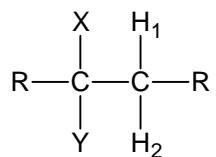
დიასტერომოტოკური პროტონები ყოველთვის ამჟღავნებენ მაგნიტურ არაეკვივალენტობას სპინ-სპინური ურთიერთებების თვალსაზრისით. უმარტივეს მაგალითად განვიხილოთ ხირალურ ცენტრთან დაკავშირებული მეთილენის ჯგუფის პროტონები. როგორც ზემოთ იყო აღნიშნული, მათი ქიმიური წარმოადგენი განსხვავებულია. თუ გავითვალისწინებთ, რომ ისინი ერმანეთისაგან დაცილებული არიან ორი ს-ბმით, შეიძლება დაგასკვნათ, რომ ისინი ერთმანეთთან ურთიერთებების წარმოადგენს კვარტეტს (ე.წ. AB სისტემის დუბლეტების წყვილს). თუმცა არცერთი სიგნალი არ შეესაბამება რაიმე პროტონის ქიმიურ წარმოადგენას.

მეთილენური პროტონების ერთმანეთთან ურთიერთება საკმაოდ დიდია. ოთხივე ზოლს შორის ინტერვალი (და როგორც გარეთა, ისე შიგნითა ზოლების ფარდობითი ინტენსიურობა) წარმოადგენს ორი პროტონის სპინ-სპინური ურთიერთებების კონსტანტისა J_{AB} და მათი ქიმიური წარმოადგენის სხვაობის δH_A-δH_B ფუნქციას. ნახ. 35-ზე ნაჩვენებია, თუ როგორ იცვლება AB სისტემის სპექტრის სახე ამ ორი პარამეტრის ცვლილებისას.

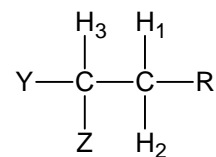


ნახ. 35. „AB კვარტეტის“ დამოკიდებლება H_A და H_B სპექტრის პარამეტრებზე. შესაბამისი პროტონების ქიმიური წარმოადგენი ტოლია δH_A და δH_B. მათ შორის ურთიერთებების კონსტანტაა J_{AB}. AX და A₂ განიხილება როგორც სისტემები, რომელთაც მივყავართ „პირველი რიგის“ სპექტრებთან.

ქვემოთ მოყვანილ სტრუქტურაში H_3 პროტონი აღვნიშნოთ რაიმე სიმბოლოთი. მაშინ H_1 და H_2 პროტონები მის მიმართ ვიცინალურები იქნებიან და მათ შორის იარსებებს ურთიერთქმედება. თუმცა H_1 ატომის ურთიერთქმედების კონ-სტანტა ($J_{1,3}$) არ იქნება იდენტური H_2 ატომთან ურთიერთ-ქმედების ($J_{2,3}$) კონსტანტისა. ამის გამო თითოეული მათგანი გამოიწვევს H_3 -ის სიგნალის სხვადასხვაგვარ გახლეჩას. აქედან გამომდინარე, შეიძლება დავასკვნათ, რომ ვინაიდან H_2 და H_1 პროტონები სხვადასხვაგვარად ურთიერთქმედებენ H_3 პრო-ტონთან, ისინი არიან მაგნიტო-არაეკვივალენტურები სპინ-სპინური ურთიერთქმედების თვალსაზრისით.

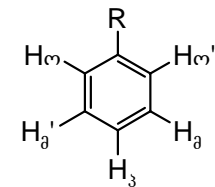


H_1 და H_2 ანიზოქრონულებია



H_1 და H_2 ანიზოტროპულებია და მაგნიტოარაეკვივალენტურები სპინ-სპინური ურთიერთქმედების თვალსაზრისით ($J_{1,3} \neq J_{2,3}$)

სპინ-სპინური ურთიერთქმედების თვალსაზრისით, მაგ-ნიტური არაეკვივალენტურობის მაგალითია მონოჩანაც-ვლებული ბენზოლების წარმოებულები C_6H_5-R . ამ სტრუქტუ-რებში ორთო პროტონები H_1 იმყოფებიან ერთნაირ გარემოც-ვაში და, შესაბამისად, აქვთ ერთნაირი ქიმიური წანაცვლება. თუმცა რაიმე მესამე პროტონთან H_3 მიმართებაში ისინი გან-ლაგებული არიან სხვადასხვაგვარად და ამიტომ მაგნიტო-არაეკვივალენტურები არიან სპინ-სპინური ურთიერთქმედების თვალსაზრისით. აქედან გამომდინარე არსებობს პროტონები, რომლებიც ეკვივალენტურები არიან ქიმიური წანაცვლების თვალსაზრისით და მაგნიტო-არაეკვივალენტურები სპინ-სპი-ნური ურთიერთქმედების თვალსაზრისით. ამის გამო H^1 -ბრ სპეტრებზე შედარებით დიდი რაოდენობის სიგნალი იჩენს თავს.



მონოჩანაცვლებული ბენზოლი

H_o -ს და H_d -ს გააჩნიათ ერთნაირი ქიმიური წანაცვლება, მაგრამ მაგნიტოარაეკვივალენტურე-ბია სპინ-სპინური ურთიერთქმედების თვალსაზრისით.

ახლა განვიხილოთ H_o და H_d პროტონები. მათი ქიმიური

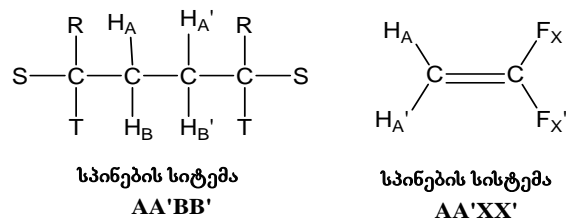
წანაცვლებები ერთნაირია, მაგრამ ორი ატომის კონსტანტის ნებისმიერი განსხვავება არღვევს მათ ეპვიგალენტურობას სპინ-სპინური ურთიერთქმედების თვალ-საზრისით. აქედან გამომდინარე, ვინაიდან H_o და H_d პროტო-ნები განსხვავებულად ურთიერთქმედებენ H_d პროტონთან, მაგნიტო-არაეკვივალენტურებია სპინ-სპინური ურთიერთ-ქმედების თვალსაზრისით.

11. მაგნიტური ეპვიგალენტურობა და მათი აღნიშვნელი

პროტონებს, რომელთაც განსხვავებული წანაცვლებები გააჩნიათ, ლათინური ასოებით აღნიშნავენ, შემდეგნაირად: ყველაზე სუსტი ველში გამოვლინებულ პროტონს მიაკუთვნებენ ასოს A, მის მომდევნო პროტონს- B და ა.შ. როდესაც აღნიშნულია ყველა სუსტი ველის პროტონი (A,B,C...) ანალოგიური მეთოდით ასახელებენ ძლიერ ველში მოცემულ პროტონებს, მხოლოდ მათოვის აღნიშვნა იწყება ასოდან X (X,Y,Z). შესაბამისად, საშუალო ველში არსებულ პროტონებს აღნიშნავენ ასოებით K,L,M,N... ვინაიდან ქილარულ ცენ-ტრთან ჩანაცვლებული მეთილენური ჯგუფები მცირედ გან-სხვავდებიან თავისი ქიმიური წანაცვლებით, ისინი წარმოქმნიან AB და არა AX სისტემებს.

აღნიშვნების ასეთი სისტემა არ მოცუას მოლეკულის შემადგენელ ყველა პროტონს და გამოიყენება მხოლოდ იმისათვის, რომ დახასიათებული იქნას ერთმანეთთან ურთიერთგავლენის მქონე პროტონები, რომელთა განხილვაც მიმდინარეობს მოცემულ კონკრეტულ მომენტში.

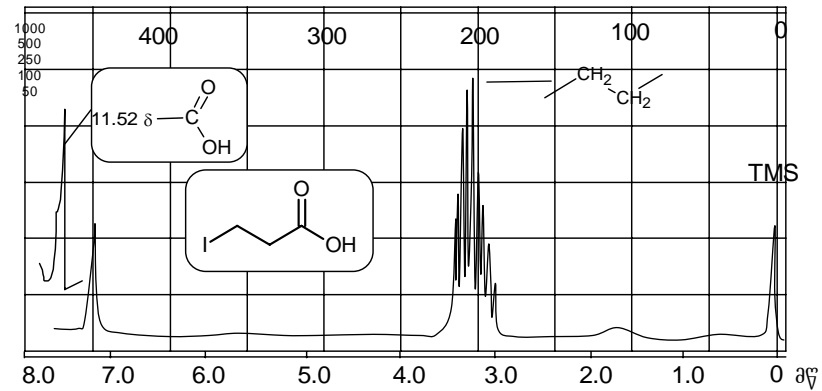
ის პროტონები, რომლებიც მაგნიტურ-ეკვივალენტურებია ქიმიური წანაცვლებით და მაგნიტურ-არაეკვივალენტურებია სპინ-სპინური ურთიერთქმედების თვალსაზრისით, აღინიშნებიან ერთნაირი ასოებით, მხოლოდ უკანასკნელებისათვის გამოიყენება შტრიჩიანი სიმბოლოები. მათი ერთნაირი ასოთი აღნიშვნა განპირობებულია იმ გარემოებით, რომ ლათინური სიმბოლო მიუთითებს ქიმიურ წანაცვლების სიდიდიდეს. ზემოთ აღნიშვნულის მაგალითად განვიხილოთ შემდეგი ორი სტრუქტურა.



პირველ მოლეკულაში A-ს და A'-ს აქვთ ერთნაირი ქიმიური წანაცვლება, მაგრამ სხვადასხვაგვარად ურთიერთქმედების B-სთან (ან B'-სთან). ანალოგიურად, B და B' იდენტურია ქიმიური წანაცვლებების მიხედვით, მაგრამ აქვთ განსხვავებული ურთიერთქმედების კონსტანტები A-სა და A'-თან. მეორე მოლეკულაში B და A' ხასიათდებიან ერთნაირი ქიმიური წანაცვლებით, მხოლოდ სხვადასხვაგვარად ურთიერთქმედებენ ფორმის თითოეულ ატომთან.

ასეთი სისტემის ძირითადი მნიშვნელობა ის არის, რომ ნაწინასწარმეტყველები იქნას ზოლების მაქსიმალური რაოდენობა H^1 -ბმრ სპექტრზე ამა თუ იმ ჯგუფისათვის.

3-იოდპროპანმჟავა წარმოადგენს AA'BB' სპინურ სისტემას. როგორც მოსალოდნელი იყო, ორი მეთილგური ჯგუფი გლინდება ტრიპლეტების სახით (ნახ. 36).



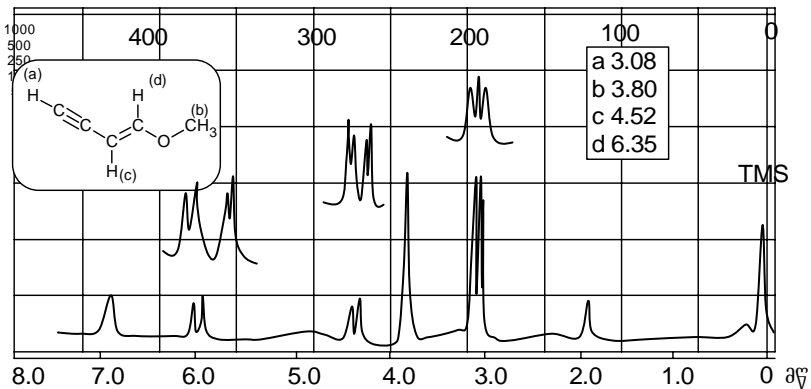
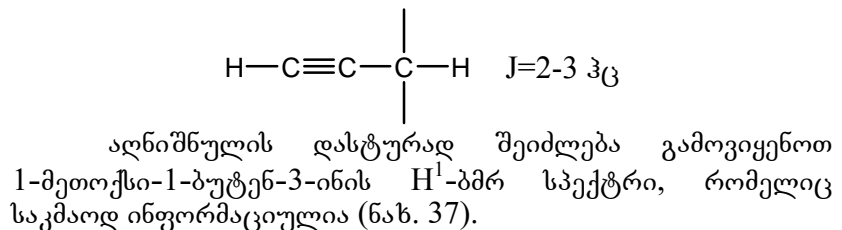
ნახ. 36. 3-იოდპროპანმჟავას H^1 -ბმრ სპექტრი

12. მრგბანული ნაერთების H^1 -ბმრ სპექტრომეტრია

12.1. ალკინები

ალკინების $\equiv C-H$ პროტონების სიგნალები ვლინდება ფართო ინტერვალში 1.8-დან 3.1 მჴ-მდე. სიგნალის მდებარეობა შედარებით ძლიერ ველში განპირობებულია $C\equiv C$ ბმის ანიზოტროპით.

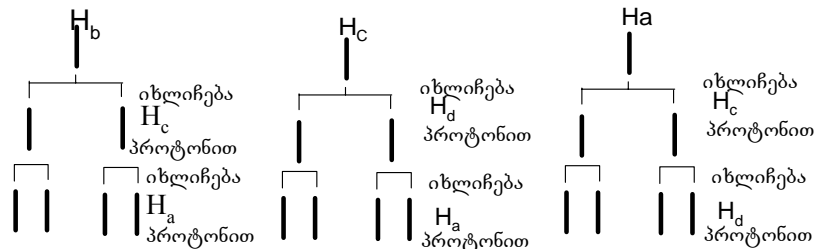
სამმაგი ბმის π -სისტემა თითქოს გადასცემს საკმარის „სპინურ ინფორმაციას“, რასაც მივყავართ აცეტილენურ ბმასთან არსებული პროტონის გახლებამდე სხვა უახლოესი პროტონის გავლენით.



ნახ. 37. 1-მეთოქსი-1-ბუტენ-3-ინის H^1 -ბმრ სპექტრი

მეთოქსიჯგუფის სიგნალი ვლინდება სინგლეტის სახით, რომელიც გადაადგილებულია საკმაოდ სუსტ ველში უანგბადის ელექტროუარყოფითობის გამო. მეთილენური ჯგუფის პროტონების სიგნალები წარმოადგენენ როულ მულტიპლეტებს. H_A პროტონი (δ 3.08) ურთიერთქმედებს H_C პროტონთან (δ 4.52) და იძლევა დუბლეტს. ამ დუბლეტს თითოეული სიგნალი შემდგომში განიცდის გახლებას H_A და H_D პროტონების სუსტი გავლენის გამო. H_C პროტონის სიგნალი იხლიჩება 1-მდებარეობაში არსებული H_D პროტონის გავლენით და იძლევა დუბლეტს (J -ის დიდი მნიშვნელობით). ანალოგიურად იხლიჩება H_C პროტონის ყოველი სიგნალი (იხ. ნახ. 38).

დაკვირვებადი პროტონების სიგნალი გახლებამდე

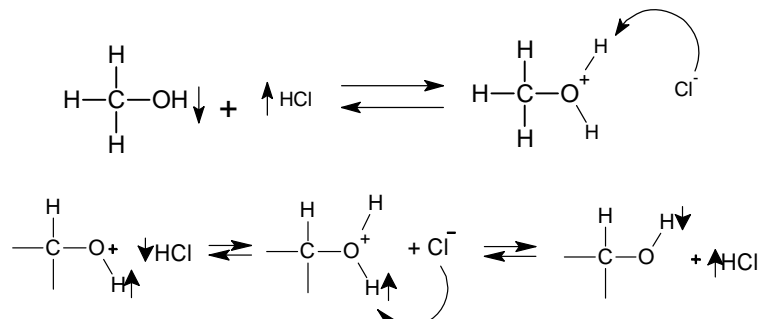


სპექტრის საბოლოო სახე

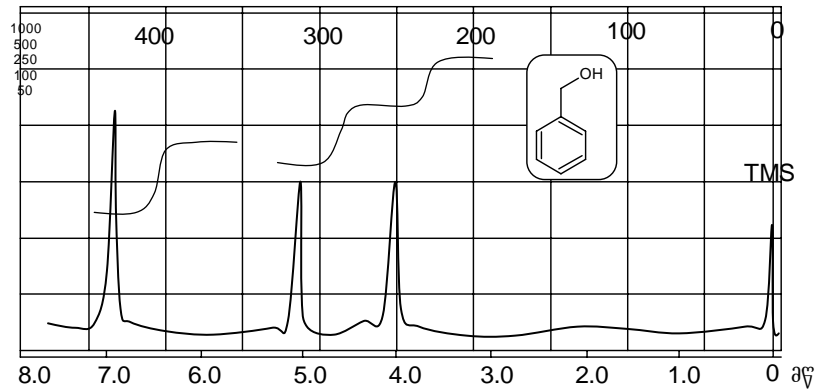
ნახ. 38. 1-მეთოქსი-2-ბუტენ-3-ინის მეთინური პროტონების გახლების ანალიზი. გახლება ნაჩვენებია მასშტაბის გარეშე. გახლების თანამიმდევრობა არ მოქმედებს სპექტრის საბოლოო სახეზე. ამდენად, შესაძლებელია თავიდან ვაჩვენოთ H_A პროტონის გახლება H_C პროტონით, შემდეგ H_D პროტონის გახლება H_C -თი. შედეგი იქნება იგივე.

12.2. სპირტები

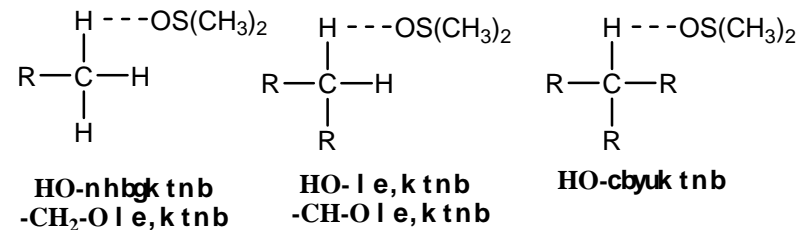
სპირტული ჰიდროქსილის პროტონი, როგორც წესი, იძლევა სინგლეტს ინტერვალში 2-დან 4 მწ-მდე. ეს სიგნალი პირველად და მეორეულ სპირტებში არ განიცდის გახლებას იმ პროტონებით, რომლებიც დაკავშირებულია კარბონილურ ატომთან, რაც განპირობებულია პროტონების მიმოცვლით (ე.წ. ქიმიური მიმოცვლის ეფექტი). პროტონი, რომელიც წყდება ჰიდროქსილის ჯგუფიდან, შეიძლება ჩანაცვლებულ იქნას ანალოგიური ორიენტაციის სპირტის მქონე პროტონით. სპირტების პროტონების ასეთი მიმოცვლა გამხსნელებში CCl_4 და CDCl_3 კატალიზდება HCl -ით.

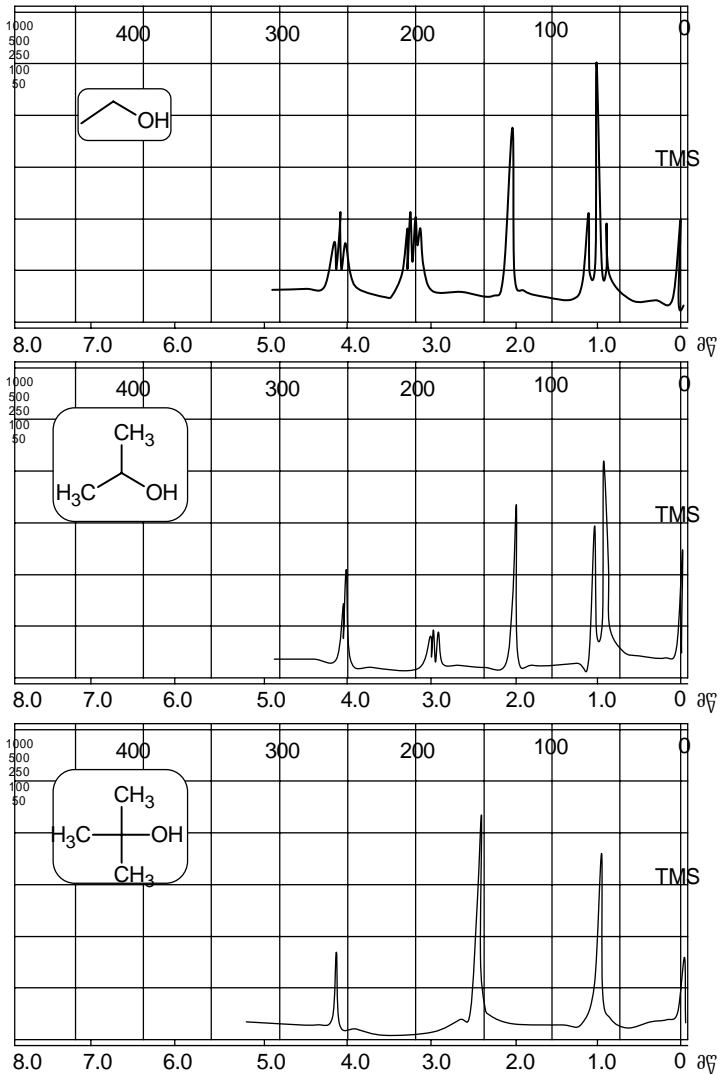


ჰიდროქსილის ჯგუფის პროტონის სპინური მიმოცვლა აქედან გამომდინარე, ჩვეულებრივ გამხსნელებში, რომლებიც გამოიყენება H^1 -ბმრ სპექტრომეტრიაში, შეინიშნება OH-ის სიგნალის გახლება. ამის მაგალითია ბენზილის სპირტის H^1 -ბმრ სპექტრი, რომელიც მოცემულია ნახ. 39. დიმეთილ-სულფონიდში სპექტრების გადაღებისას წარმოიშობა ძლიერი წყალბადური ბმები სპირტსა და გამხსნელს შორის, რაც მნიშვნელოვნად ამცირებს ატომის მიმოცვლის სიჩქარეს. ეს კი საშუალებას იძლევა, სპექტრზე ჩაიწეროს ვიცინალური პროტონებით გახლებილი -OH ჯგუფის სიგნალი. ამასთანავე, -OH ჯგუფის პროტონის სიგნალი უფრო სუსტ ველში ვლინდება (≈ 5 მწ). სიგნალის გახლება და ჰიდროქსილის პროტონის გადაადგილება საშუალებას იძლევა, ცალსახად იქნას დადგენილი სპირტული ბუნება - კერძოდ, პირველადია, მეორეული თუ მესამეული სპირტი. ეს მოვლენა ნაჩვენებია ეთოლის, იზოპროპილისა და მესამეული ბუტილის სპირტების მაგალითზე ნახ. 40-ზე. სპექტრების გადაღებისას მთლიანად დეიტერირებულ დიმეთილ-სულფონიდში (CD_3SOCD_3) სპექტრზე გამხსნელის სიგნალი არ ვლინდება.



ნახ. 39. ბენზილის სპირტის H^1 -ბმრ სპექტრი





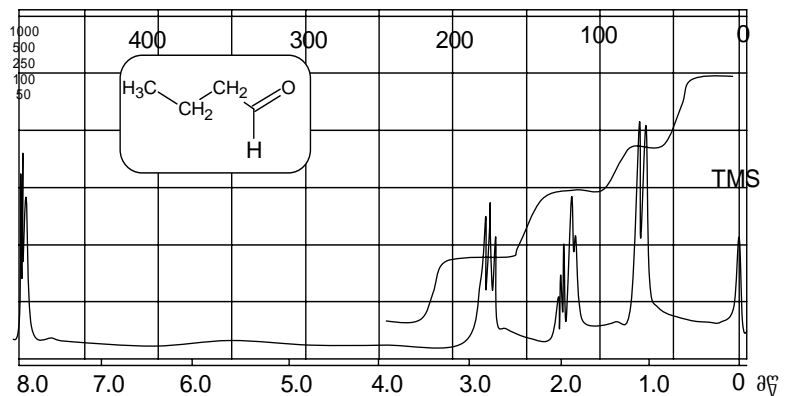
ნახ. 40. H^1 -ბმრ სპექტრები: ეთანოლი, 2-პროპანოლი, 2-მეთილპროპანოლ-2. სპექტრები გადაღებულია არადეიტერირებულ DMSO-ში. ამიტომ, სიგნალი $\delta = 2.6 \text{ ppm}$ შეესაბამება გამსსნელს.

12.3. ალდეკიდები და კეტონები

ალდეკიდების კეტონებისაგან განსხვავება საკმაოდ ძნელია იწ სპექტრომეტრით $\text{C}=\text{O}$ ბმის შთანთქმაზე დაყრდნობით. 2720-2820 cm^{-1} უბანში დუბლეტის გამოვლინება გვეხმარება ალდეკიდების იდენტიფიკაციაში, რადგან ეს შთანთქმა განპირობებულია კარბონილურ ნახშირბადსა და წყალბადს შორის ბმის ვალენტური რხევით.

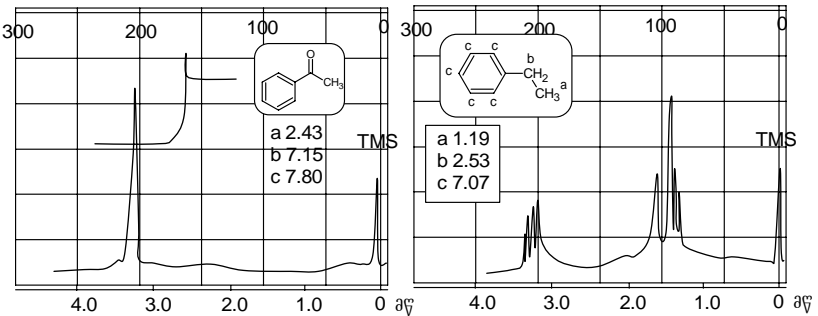
ანალოგიური მეთოდით H^1 -ბმრ სპექტრომეტრიაში ეს წყალბადატომი სუსტ ველში გადანაცვლებულია კიდევ უფრო ძლიერ, ვიდრე არომატული პროტონები, რაც მათი (ალდეკიდების) იდენტიფიკაციის საშუალებას იძლევა.

როგორც ბუტანალის H^1 -ბმრ სპექტრიდან ჩანს (ნახ. 41), CHO -ს სიგნალი არამარტო შორსაა გადაადგილებული სუსტ ველში ($\approx 10 \text{ ppm}$), არამედ ძლიერ სუსტად ურთიერთომოქმედებს მეზობელ პროტონებთან ($J=1-3$). ვინაიდან კეტონებში კარბონილურ ნახშირბადის ატომზე პროტონი არ არსებობს, ამიტომ მათი იდენტიფიკაციისას გათვალისწინებული უნდა იქნას კეტონის ჯგუფის გავლენა მეზობელ პროტონებზე. კეტოჯგუფის მაღაზეკრანირებადი უვაძლი



ნახ. 41. ბუტანალის H^1 -ბმრ სპექტრი

ნაჩვენები ნახ. 42-ზე, რომელზეც მოცემულია აცეტოფენონისა და ეთილბენზოლის სპექტრები.

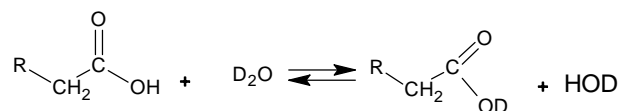


ნახ. 42. აცეტოფენონისა და ეთილბენზოლის H^1 -ბმრ სპექტრები.
ნაჩვენებია მხოლოდ ალკილური ჯგუფების ფრაგმენტები

თუ ნაერთი არსებობს ენოლური ფორმით, მაშინ ენოლური პროტონის სიგნალი წანაცვლებულია სუსტ ველში ($\delta=18$ მწ), რაც აიხსნება, პირველ რიგში, ჟანგბადის ატომის ელექტროუარყოფითობით, მეორეს შერივ კი მდგრადი შიგა მოლეკულური წყალბადური ბმების არსებობით, რომელიც დამახასიათებელია მრავალი ენოლისათვის.

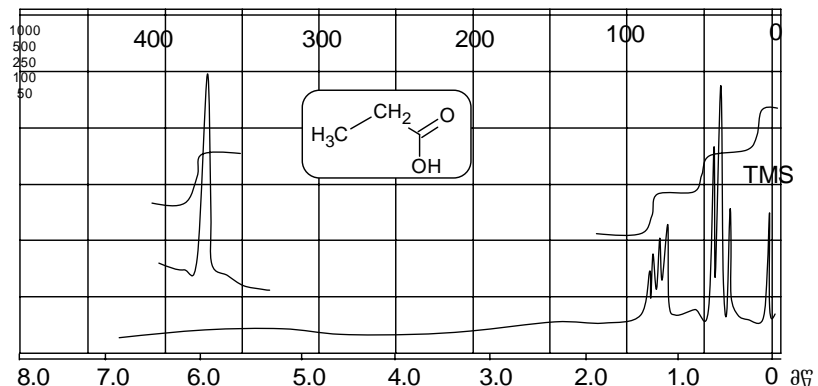
12.4. პარბონიშვავები

კარბოქსილური ჯგუფის პროტონთა სიგნალები განლა-
გებულნი არიან ძლიერ სუსტ ველში ($\delta=10-12$ მწ). თუ სპექტრი ჩაწერილი იქნება დეიტერიუმის ოქსიდში, მაშინ ეს სიგნალი ქრება მიმოკლის რეაქციის გამო.

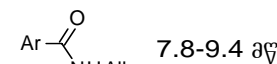
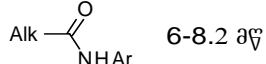


პროპანმჴვას H^1 -ბმრ სპექტრი დეიტეროქლორო-
ფორმში მოცემულია ნახ. 43-ზე.

კარბონმჴვას ისეთი წარმოებულები, როგორიცაა
ანტიდრიდები და რთული ეთერები, არ შეიცავენ უშუალოდ
კარბოქსილის ჯგუფთან დაკავშირებულ პროტონებს. ამიტომ
ეს ფუნქციური ჯგუფები არ შეიძლება დადგენილი იქნას
 H^1 -ბმრ სპექტრომეტრის საფუძველზე. თუმცა ეს ჯგუფები
იწვევეს მეზობელი პროტონების დეზეპრანირებას, რის
შედეგად შეიძლება გარკვეული ინფორმაციის მიღება.
მაგალითად, აცეტილელორიდის, აცეტანტიდრიდის, აცეტ-
ამიდისა და ძრმარმჴვას მეთილის ჯგუფები იძლევა სიგნალს
 $\delta=2.66, 2.20, 2.02$ და 2.08 მწ-ზე შესაბამისად. ეს
მნიშვნელობები შეიძლება შევადაროთ ბუტანმჴვას
კარბოქსილის ჯგუფიდან შორის მდებარე მეთილის ჯგუფის
რეზონანსთან. ამ უკანასკნელის სიგნალი მდებარეობს 1.00 მწ-
ზე.



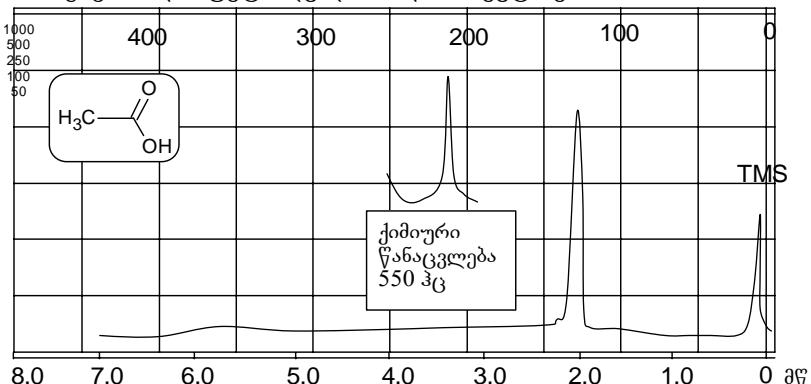
ნახ. 43. პროპანმჴვას H^1 -ბმრ სპექტრი დეიტეროქლოროფორმში



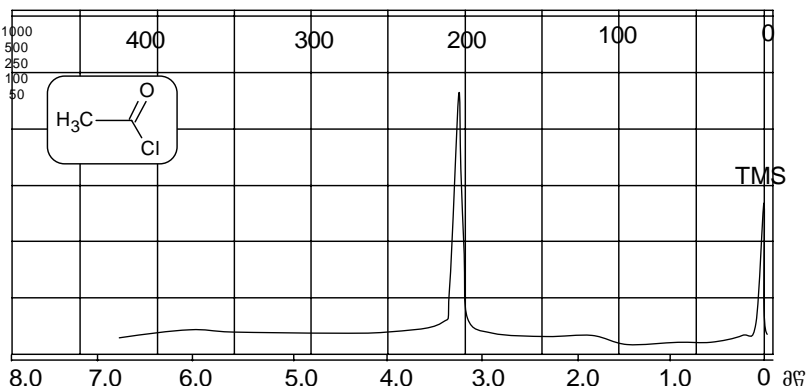
ამიდები მჴავების ერთ-
ერთი წარმოებულია, რომელშიც
ფუნქციური ჯგუფი შეიცავს
პროტონს. მისი სიგნალი მარტივ
ამიდებში RC(O)NH_2 მდებარეობს

$\delta=5-6.5$ მწვერვალში, ხოლო N -ჩანაცვლებულ ამიდებში $\delta=0$ $N-H$ -ის სიგნალის მდებარეობა დამოკიდებულია აზოტის ატომთან არსებულ N -ჩანაცვლებლის ბუნებაზე.

კარბონმჟავებისა და მათი ^1H -ბმრ სპექტრების ნიმუშად ნახ. 44 და ნახ. 45-ზე მოცემულია ძმარმჟავასა და აცეტილქლორიდის სპექტრები.



ნახ. 44. ყინულმარმჟავას ^1H -ბმრ სპექტრი



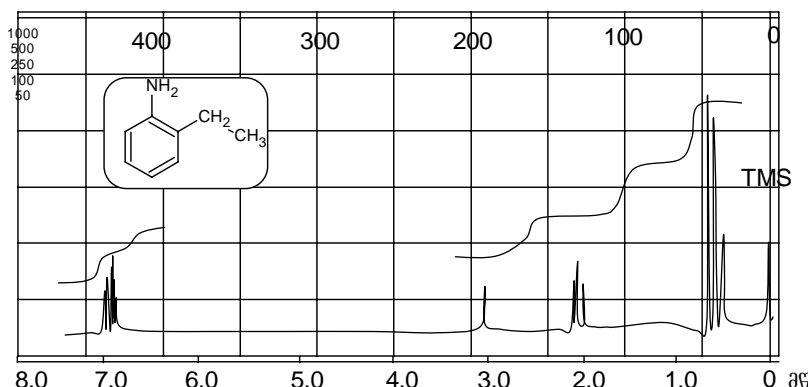
ნახ. 45. აცეტილქლორიდის ^1H -ბმრ სპექტრი

12.5. ამინები

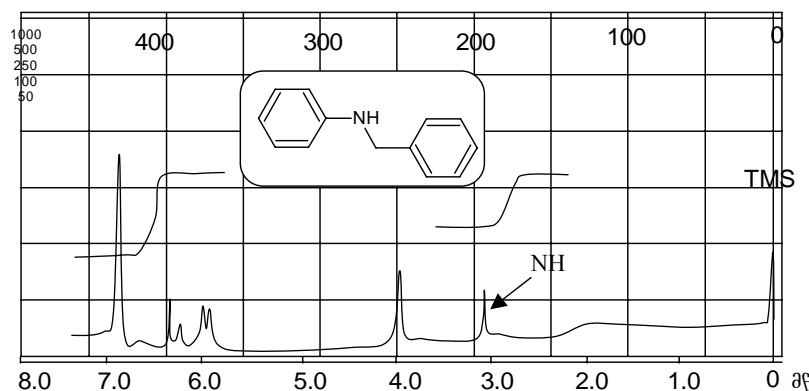
Alk-NH_2 და Alk_2NH ტიპის ამინები ყოველთვის იძლევიან $N-H$ პროტონის სიგნალს 0.5-3.5 მ ინტერვალში, ხოლო ArNH_2 , Ar-NH-Alk და Ar_2NH ტიპის ამინები $\delta=0$ - 2.9-4.8 მ ინტერვალში, მაგრამ სამწუხაროდ ეს უბნები იფარება. ამის გარდა, ამ ჯგუფების ქიმიური წანაცვლება გარკვეულ წილად დამოკიდებულია ამინის კონცენტრაციაზე და გამსხველის ბუნებაზე. აქედან გამომდინარე, ამინების იდენტიფიკაცია საკმაოდ რთულია H^1 -ბმრ სპექტრომეტრით.

H^1 -ბმრ სპექტრომეტრით, როგორც წესი, მესამეული ამინების განსაზღვრა შეუძლებელია, ვინაიდან აზოტის ატომზე არ არსებობს წყალბადის ატომი. თუმცა სხვა ფუნქციური ჯგუფების პროტონები იძლევიან შესაბამის სიგნალებს.

ზოგიერთი ამინის H^1 -ბმრ სპექტრი მოცემულია ნახ. 46-ზე და ნახ. 47-ზე. თუ სინჯს დავამატებთ დეიტერიუმის ოქსიდს, მაშინ ეს სიგნალები ქრება პროტონის ქიმიური მიმოცვლის გამო NH ჯგუფსა და D_2O -ს შორის.



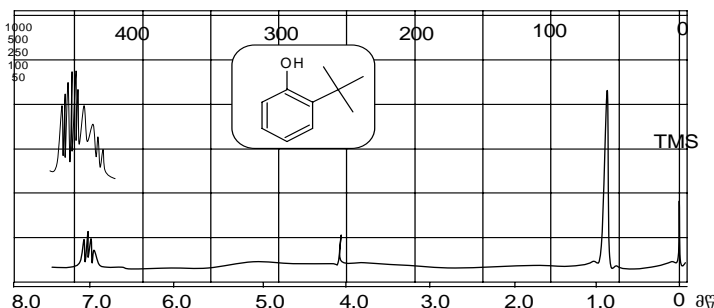
ნახ. 46. 2-ეთილანილინის ^1H -ბმრ სპექტრი



ნახ. 47. ფენილბენზილამინის H^1 -ბმრ სპექტრი

12.6. ფენოლები

ფენოლური -OH ჯგუფის პროტონის სიგნალი შეიძლება 4-12 მწ ინტერვალში, თუმცა მისი მდებარეობა დამოკიდებულია ტემპერატურაზე, გამხსნელის ბუნებაზე, კონცენტრაციასა და pH მდების არსებობაზე. იმ პროტონებისათვის, რომლებიც მონაწილეობენ შიდამოლეკულურ წყალბადურ ბმებში, დამახსინათებელია ძლიერ სუსტ ველში გადაადგილებული სიგნალები. 2-მესამ.-ბუტილფენოლის H^1 -ბმრ სპექტრი მოცემულია ნახ. 48-ზე.



ნახ. 48. 2-მესამეული-ბუტილფენოლის H^1 -ბმრ სპექტრი

13. H^1 -ბმრ სპექტრების ინტერპრეტაცია

ორგანული ნაერთების H^1 -ბმრ სპექტრების ინტერპრეტაცია განვიხილოთ რამოდენიმე კონკრეტულ მაგალითზე.

2-მეთილ-1-პროპანოლი (იზოპუტანოლი)

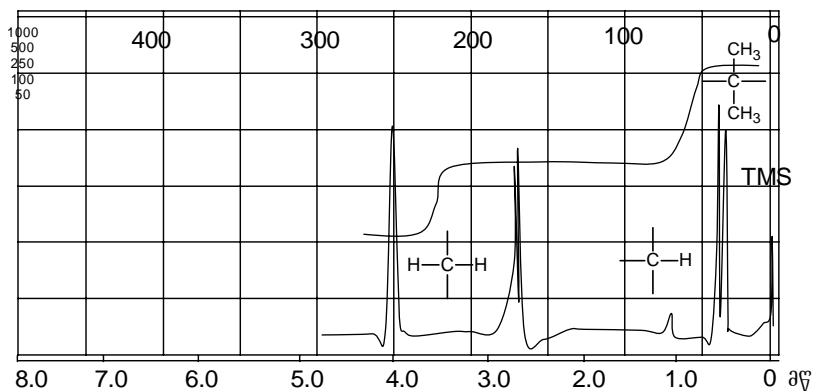
1. იზოპროპილის ჯგუფის მეთილის პროტონების სიგნალი გახლებილია დუბლეტად მეთინური წყალბადის ურთიერთქმედების გამო.

2. მეთილური ჯგუფის სიგნალი ასევე წარმოადგენს დუბლეტს, მაგრამ მისი განსხვავება ადვილად შეიძლება წინა სიგნალისაგან ფარდობით ინტენსიურობებსა (მისი ინტენსიურობა არის 2H და არა 6H) და ქიმიურ წანაცვლებაზე დაყრდნობით.

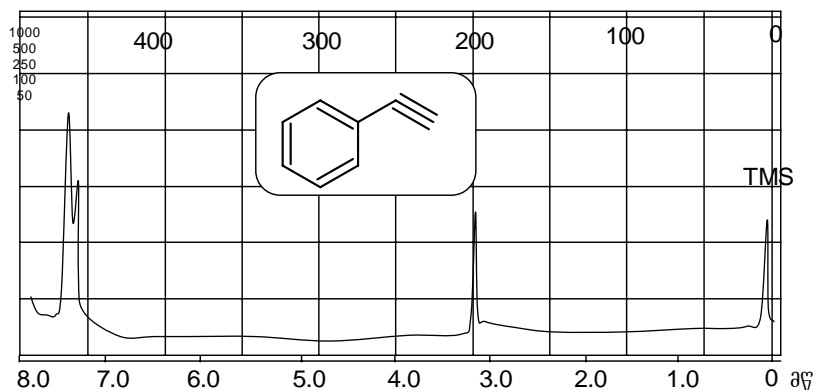
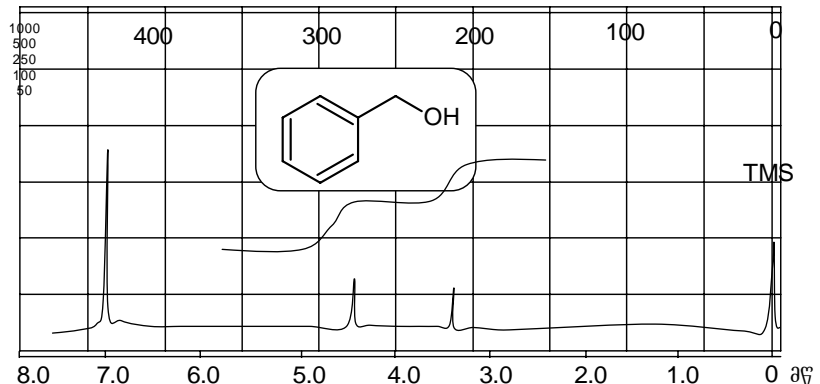
3. მეთინური ჯგუფის სიგნალი უფრო რთულია, ვიდრე ეს ნახ. 49-ზეა მოცემული. იგი განპირობებულია მეთილური ჯგუფის გავლენით გამოწვეული დამატებითი გახლებით.

4. -OH ჯგუფის პროტონის სიგნალი არ არის გახლებილი და წარმოადგენს სინგლეტს. სპირტული პროტონის სიგნალის ასეთი სახე დამახსინათებელია სპირტებისათვის, როდესაც ისინი გახსნილი არიან CD_3Cl_2 -ში.

5. სხვადასხვა სიგნალის ფარდობითი ინტენსიურობები ნაჩვენებია საფეხურებრივი ინტეგრალური წირით. იგი აშ კონკრეტულ შემთხვევაში ნაპოვნია სიგნალის ინტეგრირებით მიღებული თითოეული რიცხვის გაყოფით უმცირეს ინტენსიურობაზე (10-ზე).



ნახ. 49. იზობუტანოლის H^1 -ბმრ სპექტრი



ნახ. 50. H^1 -ბმრ სპექტრები: ბენზილის სპირტი, ფენილაცეტილენი

- ფენილის ჯგუფის პროტონების სიგნალები ორივე ნაერთისათვის შეინიშნება თითქმის ერთი და იგივე ველში (≈ 7.2 δ), თუმცა მათი საერთო სახე ძლიერ განსხვავდება. რაც უფრო ელექტროუარყოფითია ფენილის ჯგუფთან დაკავშირებული ატომი, მით უფრო რთულია სიგნალის სახე.
- $-\text{OH}$ და $-\text{CH}_2-$ ჯგუფის სიგნალები არ არის გახლეჩილი (რაც დამახასიათებელია სპირტებისათვის სხვადასხვა გამსწველში).

მას სპეციალური მეთოდი

შესავალი

ზემოთ აღნიშნული სპეციალური მეთოდის სახეები (უი, იწ და H^1 -ბმრ) დაფუძნებულია მოლეკულის მიერ ენერგიის შერჩევით შთანთქმაზე. ამ დროს თვით მოლეკულა არ განიცდის დაშლას ან გადაჯვებას. მას-სპეციალური მეთოდი, სხვა სპეციალური მეთოდებისაგან განსხვავებით, დაფუძნებულია ელექტრონების დაბომბვით მოლეკულის დაშლასა და მიღებული ნაწილაკების მასების რეგისტრაციაზე.

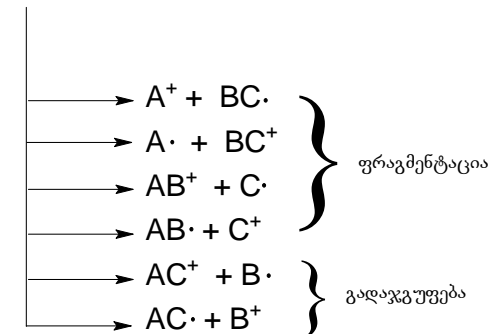
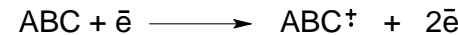
თუ ორგანული ნაერთის მოლეკულაზე განხორციელებული იქნება ნივთიერების იონიზაციის პირველი პოტენციალის მატერიელი ენერგიის (~10 ევ) ელექტრონებით დაბომბვა, მაშინ მოლეკულიდან მოხდება ელექტრონის მოწყვეტა:



ელექტრონის მოხლების ამ პროცესს ეწოდება იონიზაცია, ხოლო მიღებულ ნაწილაკს M^+ მოლეკულური იონი. მოლეკულურ იონს გააჩნია დადებითი მუხტი და ერთი გაუწყვილებელი ელექტრონი, ანუ არის კატიონ-რადიკალი. თუ ჩავთვლით, რომ ელექტრონის მასა ნულის ტოლია, მაშინ მოლეკულური იონის მასა იმ მოლეკულის მასის ტოლი იქნება, რომლიდანაც ელექტრონი იქნა მოწყვეტილი.

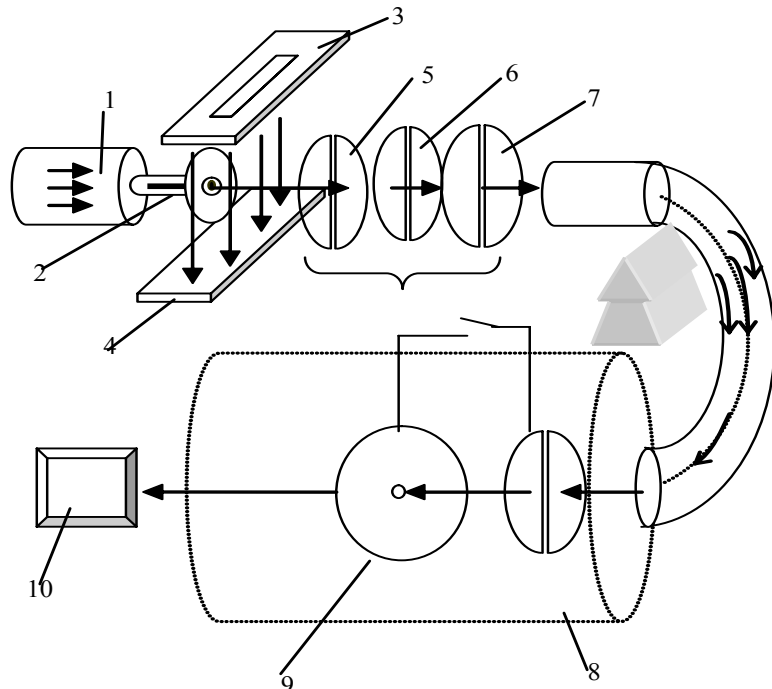
თუ მოლეკულა განიცდის უფრო დიდი ენერგიის ელექტრონებით დაბომბვას, ვიდრე იონიზაციის პირველი პოტენციალია, მაშინ მოლეკულური იონი იძებნის ისეთი რაოდენობის ენერგიას, რომ შესაძლებელი ხდება ბებების გაწყვეტა. ბებების გაწყვეტის შედეგად მოლეკულური იონი იშლება უფრო მცირე ზომის ფრაგმენტებად - რადიკალებად

და კატიონებად. ამ პროცესს კი ეწოდება ფრაგმენტაცია. ამასთანავე, ბებების გაწყვეტასთან ერთად ადგილი აქვს შიდამოლუკულურ გადაჯვებასაც, რომლის დროსაც მიღება გადაჯვებული იონები და რადიკალები.



ამდენად, მაღალი ენერგიის (~70 ევ) ელექტრონებით დაბომბვისას მოლეკულა იშლება მცირე ზომის დამუხტულ (იონები) და ხეიტრალურ (რადიკალები) ნაწილაკებად. მას-სპეციალური მეთოდის საშუალებით შესაძლებელია მხოლოდ დამუხტული ნაწილაკების მასის რეგისტრაცია.

მას-სპეციალის ჩაწერისას ნივთიერება აირად ფაზაში ღრმა ვაკუუმის პირობებში ($\approx 10^{-6}$ მმ Hg სვ) განიცდის ≈ 70 ევ ენერგიის ელექტრონებით დაბომბვას. მიღებული დამუხტული ნაწილაკები მაღალი ელექტრონული ველის ზემოქმედებით განიცდიან აჩქარებას და ხვდებიან მაგნიტურ ველში. ამ უკანასკნელში ხეიტრალური ნაწილაკები არ იცვლიან მოძრაობის მიმრთულებას, ხოლო იონები იცვლიან მოძრაობის ტრაექტორიას მასისა და მუხტის თანაფარდობის m/z მიხედვით. ეს კი საშუალებას იძლევა, განაწილებული იქნას იონები, დადგენილი იქნას მათი მასები და რაოდენობა. მას-სპეციალური მეთოდის პრინციპული სქემა მოცემულია ნახ. 51-ზე.



ნახ. 51. მას-სპექტრომეტრის პრინციპული სქემა:

1-მოლეკულური ამომფრქვევი, 2-აირის ნაკადი, 3-აირის ნაკადის მაფორმირებელი ჭრილი, 4-ანოდი, 5-იონების ამაჩქარებელის პირველი ჭრილი, 6-მაფოკუსირებელი ჭრილი, 7-იონების ამაჩქარებელი მეორე ჭრილი, 8-0,18 მმ დიამეტრის ჭრილი, 9-კოლექტორი, 10-თვითჩამწერი

მას სპექტრი წარმოადგენს სიგნალის ინტენსიურობის დამოკიდებულებას იონის მასისა და მუხტის ფარდობაზე.

მაქსიმალური ინტენსიურობის მქონე პიკის სიმაღლე ითვლება 100%-ად, ხოლო დანარჩენი პიკების ინტენსიურობა გამოითვლება ამ პიკის მიხედვით (ნახ. 53).

ელექტრონებით დაბომბვის შედეგად მიღებული ნაწილაკების მუხტი, როგორც წესი, 1-ის ტოლია. ამიტომ m/z თანაფარდობა ემთხვევა ნაწილაკის მასას. მას-სპექტრი, გარდა გრაფიკული გამოსახულებისა, შესაძლებელია წარმოდგინდეს

ცხრილის სახითაც, რომელშიც მოცემული იქნება m/z და პიკის ფარდობითი ინტენსიურობები.

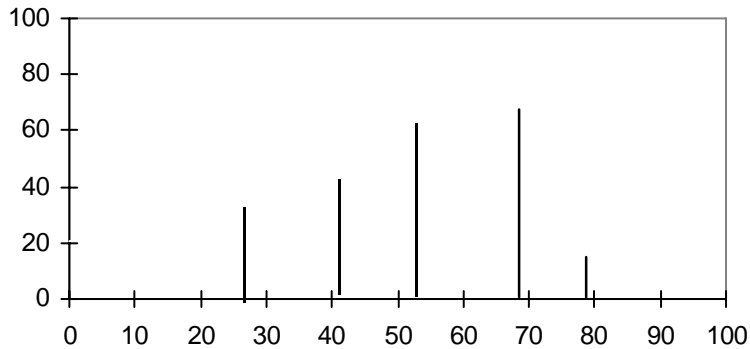
მას-სპექტრის საშულებით შესაძლებელია დადგენილი იქნას ნაერთის მოლეკულური მასა, მოლეკულური (ბრუტო) ფორმულა და მარტივი ნაერთებისათვის კი - აღნაგობა.

1. მოლეკულური მასისა და ბრუტო ფორმულის დადგენა

მოლეკულური მასის დადგენისათვის საჭიროა, მას-სპექტრში გამოვლენილი იქნას მოლეკულური იონის პიკი. ამ პიკის m/z მნიშვნელობა შეესაბამება ნივთიერების მოლეკულურ მასას. ბენზოლის მას-სპექტრზე ყველაზე ინტენსიური პიკი m/z 78 არის მოლეკულური იონის პიკი (ნახ. 52).

ელექტრონების დაბალი ენერგიის (≈ 10 ევ) დროს მოლეკულურ იონს, როგორც წესი, შეესაბამება ყველაზე ინტენსიური პიკი, ვინაიდან ამ დროს ადგილი აქვს მხოლოდ მოლეკულის იონიზაციას. ელექტრონების 70 ევ ენერგიის დროს მოლეკულური იონის პიკის ინტენსიურობა მცირდება, ვინაიდან ადგილი აქვს მის ფრაგმენტაციას. მისი ინტენსიურობა დამოკიდებულია მოლეკულური იონის სტაბილურობაზე. ამიტომ ყველაზე ინტენსიური პიკი მას-სპექტრში ყოველთვის არ შეესაბამება მოლეკულურ იონს. თუ ფრაგმენტაციის დროს წარმოიქმნება ელექტრონული ეფექტებით სტაბილიზებული უფრო მდგრადი კარბკატიონი, მაშინ მოლეკულური იონის პიკს აქვს შედარებით მცირე ინტენსიურობა, ხოლო ზოგიერთ შემთხვევაში იგი შეიძლება საერთოდ არც არსებობდეს.

ცხრილი 10. ზოგიერთი ელემენტის იზოტოპების შემცველობა



ნახ. 52. ბენზოლის მას-სპექტრი

არომატული ნაერთების მოლეკულური იონები ხასიათ-დებიან ყველაზე გაზრდილი სტაბილურობით, ხოლო ამინების, სპირტების, კარბომჟავების მოლეკულური იონები ხასიათ-დებიან შემცირებული სტაბილურობით. მცირე ინტენსიურობის მოლეკულური იონების არსებობის შემთხვევაში მისი გამოვლინებისათვის ყურადღება უნდა მიექცეს შემდეგ გარემოებებს:

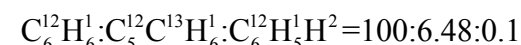
- თუ ნივთიერება შეიცავს C, H, O, S ელემენტებსა და ჰალოგენებს, მაშინ მასური რიცხვი არის წყვილი
- თუ მოლეკულაში აზოტის ელემენტის კენტი რაოდენობაა, მაშინ მოლეკულური იონის მასური რიცხვი არის კენტი
- თუ მოლეკულაში აზოტის ელემენტის წყვილი რაოდენობაა, მაშინ მოლეკულური იონის მასური რიცხვი არის წყვილი (ე.წ. „აზოტის“ წესი)

ელემენტი	იზოტოპების თანაფარდობა
C	$^{12}\text{C}:\text{C}^{13}=100:1.08$
H	$^1\text{H}:\text{H}^2=100:0.16$
N	$^{14}\text{N}:\text{N}^{15}=100:0.38$
O	$^{16}\text{O}:\text{O}^{17}:\text{O}^{18}=100:0.04:0.02$
S	$^{32}\text{S}:\text{S}^{33}:\text{S}^{34}=100:0.78:4.45$
Cl	$^{35}\text{Cl}:\text{Cl}^{37}=100:32.5$
Br	$^{79}\text{Br}:\text{Br}^{81}=100:98.0$

ბენზოლის ატომების უმეტესი ნაწილი არის C^{12} და H^1 სტაბილური იზოტოპები. ამიტომ მისი მოლეკულური მასა არის 78. ბენზოლის იზოტოპურ სახესხვაობას, რომელიც ერთი C^{12} ატომის ნაცვლად შეიცავს ერთ C^{13} ატომს, მოლეკულური მასა არის 79. ცხრილი 10-ის თანახმად, ბენზოლის ყოველ 100 მოლეკულაზე (მოლეკულური მასით 78) მოდის 6.48 (6×1.08) ბენზოლის მოლეკულა, რომლის მოლეკულური მასა 79-ის ტოლია.

ბენზოლის იზოტოპური სახესხვაობა შეიძლება H^1 -ის ატომის ნაცვლად შეიცავდეს H^2 ატომს. მისი მოლეკულური მასა ასევე 79-ის ტოლი იქნება. მაგრამ ასეთი მოლეკულების რაოდენობა კიდევ უფრო მცირეა, ვინაიდან ცხრილი 10-ის თანახმად ყოველ 100 ბენზოლის მოლეკულაზე (მოლეკულური მასით 78) მოდის ≈ 0.1 (0.16×6) ასეთი მოლეკულა.

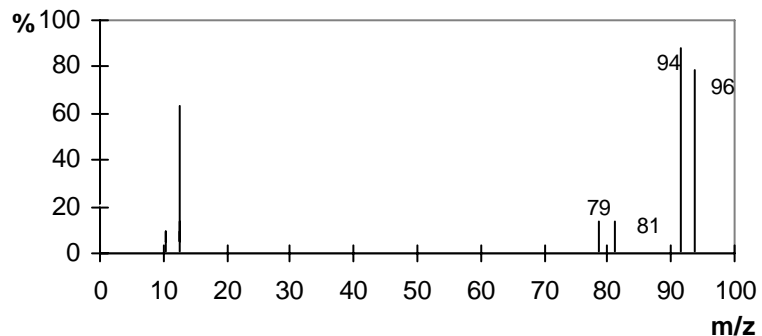
მაშასადამე, თანაფარდობა შემდეგნაირად გამოიყურება:



აქედან გამომდინარე, ბენზოლის მას-სპექტრში მოლეკულური იონის გვერდით ყოველთვის იქნება $M+1$ პიკი (m/z 79) ინტენსიურობით 6.58% ($6.48+0.1$) მოლეკულური

იონის პიკის ინტენსიურობასთან შედარებით. ბერზოლის მას-სპექტრში ასევე შეინიშნება $M+2$ პიკი, მაგრამ მისი ინტენსიურობა ძალიან მცირეა (0.18%).

განვიხილოთ ბრომმეთანის მას-სპექტრი (ნახ. 53).



ნახ. 53. ბრომმეთანის მას-სპექტრი

CH_3Br -ის მოლეკულური მასა არის 95, თუმცა სპექტრზე m/z 95 პიკის ნაცვლად არის m/z 94 და m/z 96 პიკები. ეს მოვლენა აიხსნება იმ გარემოებით, რომ ბრომმეთანი არსებოს ორი იზოტოპური მოდიფიკაციის სახით: $\text{CH}_3\text{Br}^{79}$ და $\text{CH}_3\text{Br}^{81}$.

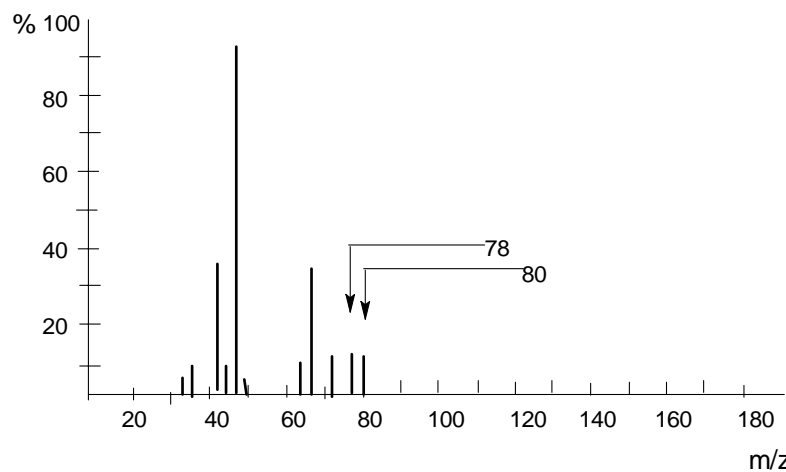
ცხრილი 10-ის მიხედვით მათი თანაფარდობა იქნება 100:98.0. ბრომმეთანის აღნიშნული იზოტოპური მოდიფიკაციების მოლეკულური მასები შესაბამისად არის 94 და 96. ამასთანავე, m/z 94 პიკი 2%-ით უფრო ინტენსიურია, ვიდრე m/z 96 პიკი.

როგორც აღნიშნული იყო, მოლეკულური იონი ეწოდება იმ იონს, რომელიც წარმოიქმნება შედარებით მდგრადი იზოტოპური მოდიფიკაციიდან. აქედან გამომდინარე, მოლეკულური იონის შესაბამისი პიკი იქნება m/z 94 და არა m/z 96.

ქლორის ატომი, ბრომის ატომის მსგავსად, ბუნებაში არსებობს ორი იზოტოპის სახით: Cl^{35} და Cl^{37} . ამიტომ 2-ქლოროპროპანის მას-სპექტრი $M+$ პიკთან ერთად შეიცავს $M+2$ პიკს, რომელიც შეესაბამება $\text{C}_3\text{H}_7\text{Cl}^{37}$ (ნახ. 54). ვინაიდან, Cl^{35} იზოტოპი სამჯერ უფრო სტაბილურია Cl^{37} იზოტოპზე, (ცხრილი 10) $M+$ პიკიც, შესაბამისად, ამდენჯერვე ინტენსიურია $M+2$ პიგზე.

მოლეკულური ფორმულის დადგენა მას-სპექტრის საშუალებით შესაძლებელია $M+1$, $M+2$ პიკების ანალიზით, ვინაიდან მათი ინტენსიურობა დამოკიდებულია მოლეკულის ელემენტურ შედგენილობაზე. აქედან გამომდინარე, თუ დადგენილი იქნება მოლეკულური იონის მასა და $M+1$ და $M+2$ პიკების ფარდობითი ინტენსიურობები, შესაძლებელია დადგენილი იქნას ნაერთის ბრუტო ფორმულა ბეირონის ცხრილების საშუალებით¹.

¹ Сильверстейн Р., Басслер Г., Моррил Т. Спектроскопическая идентификация органических соединений. М.: Мир, 1977.



ნახ. 54. 2-ქლორპროპენის მას-სპექტრი

შევადაროთ $M+1$ და $M+2$ პიკების ფარდობითი ინტენსიურობები შემდეგი ნაერთებისათვის: ჭიანჭველმჟავა, მეთილჰიდრაზინი და ეთანოლი (იხ. ცხრილი 11).

ცხრილი 11. ჭიანჭველმჟავას, მეთილჰიდრაზინს, ეთანოლისა და დიმეთილეთერის შთანთქმის პიკების ინტენსიურობები

ბრუტო ფორმულა	დასახელება	ინტენსიურობა %		
		$M+$	$M+1$	$M+2$
CH_2O_2	ჭიანჭველმჟავა	100	1.19	0.40
CH_6N_2	მეთილჰიდრაზინი	100	1.94	0.01
$\text{C}_2\text{H}_6\text{O}$	ეთანოლი, დიმეთილეთერი	100	2.30	0.22

ნაერთის მოლეკულური ფორმულა შესაძლებელია დადგენილი იქნას აგრეთვე მაღალი გარჩევის მას-სპექტრო-მეტრით, რომელსაც აქვს უნარი, გაარჩიოს m/z მნიშვნელობა მძიმის შემდეგ 4 ნიშნულით. მაგალითად, ნახშირჟნებს და ეთილენს აქვს ერთნაირი მასური რიცხვი - 28, ხოლო მაღალი სიზუსტის მას-სპექტრომეტრით შესაძლებელია დადგენილი

იქნას მათი მასები ნახშირჟნებისათვის 27.9949 და ეთილენისათვის 28.0312 სიზუსტით.

2. მრგვანული ნაერთის სტრუქტურის დადგენა

ორგანული ნაერთის სტრუქტურის იდენტიფიკა-ციისათვის დადგენილი უნდა იქნას მოლეკულური იონის დაშლის სქემა. ამისათვის კი უნდა შევისწავლოთ ნაწილაკებისა და გადაჯგუფებული იონების პიკები.

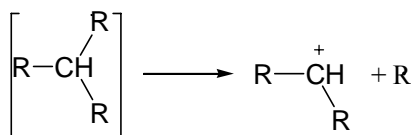
მოლეკულური იონის ფრაგმენტაციის მიმართულება განისაზღვრება შემდეგი ფაქტორებით:

- ბმის ენერგიით: იონების დაშლისას პირველად წყდება ის ბმები, რომელთა ენერგიაც მცირეა. მაგალითად, C-C ბმა უფრო ადვილად წყდება, ვიდრე C-H ბმა. ამიტომ, ალკანების ფრაგმენტაციისას ადგილი აქვს ჩონჩხის დაშლას. ჯერადი ბმები უფრო მაღალი ენერგიით გამოირჩევიან, ვიდრე ერთმაგი ბმა. ერთმაგი ბმა ნახშირბადსა და ჰეტეროატომს შორის უფრო ლაბილურია, ვიდრე C-C ბმა.
- ფრაგმენტაციისას მიღებული იონების სტაბილურობით.

3. ვრაგმენტაციის ძირითადი დასები

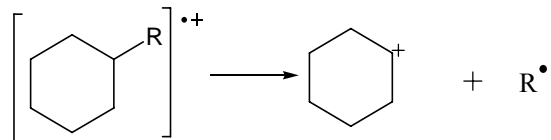
1. ალკანებში და ალკანურ ფრაგმენტში C-C ბმის გაწყვეტა ხდება განშტოებულ ნახშირბადატომთან, რადგან ამ

დროს მიიღება შედარებით სტაბილური მესამეული და მეორეული კარბკატიონები.

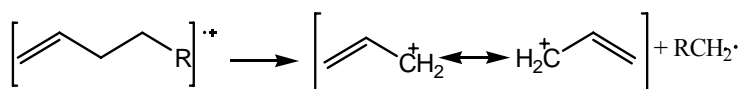


მიღებული პიკის ფარდობითი ინტენსიურობა განისაზღვრება მისი სტაბილურობით. მაგალითად, თუ ერთდროულად წარმოიქმნება პირველადი და მეორეული კარბკატიონები, მაშინ უფრო ინტენსიური პიკი ექნება შედარებით სტაბილურ-მეორეულ კარბკატიონს.

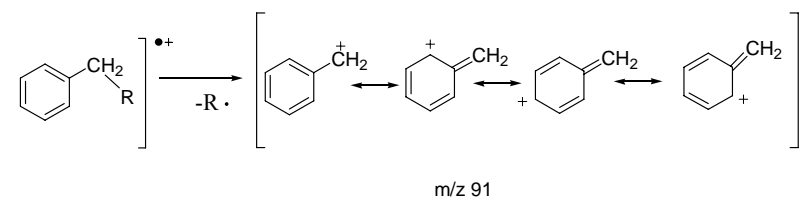
2. ჩანაცვლებულ ციკლოალკანებში უპირატესად შეინშნება α -გახლებია (ა მდებარეობა ციკლის მიხედვით), რომლის დროსაც მოიხლიჩება ჩამნაცვლებელი და მიიღება მეორეული კარბკატიონი.



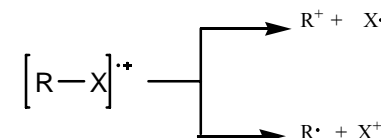
3. ალკენებისათვის დამახასიათებელია მოლეკულური იონის β -გახლებია. ამ დროს მიიღება მეზომერული ეფექტებით სტაბილიზებული ალილის კატიონი m/z 41-ით.



4. ალკილბენზოლებისათვის დამახასიათებელია β -გახლებია სტაბილური ბენზილის კატიონის m/z 91 წარმოქმნით.

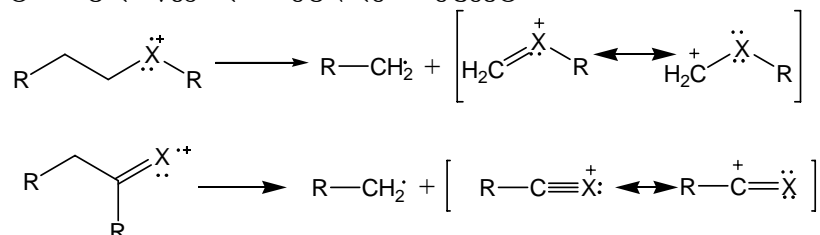


5. სპირტებში, ეთერებში, თიოლებში, ამინებში, ნიტრონაერთებში, ჰალოგენ- და ნახშირწყალბადების სხვა ფუნქციურ წარმოებულებში, რომლებშიც ნახშირბადატომი დაკავშირებულია ერთმაგი ბმით ჰეტეროატომთან, ადგილი აქვს α -გახლების.



თუმცა ამ ნაერთების მას-სპექტრებში R^+ -ის შესაბამისი პიკი შეინიშნება მხოლოდ ჰალოგენწარმოებულების ფრაგმენტაციისას.

ჟანგბადის, აზოტისა და გოგირდის ატომების შემცველ ნაერთებში, $\text{C}-\text{X}$ -ბმის გარდა, აგრეთვე ადგილი აქვს $\text{C}-\text{C}$ ბმის β -გახლების. ამ დროს წარმოქმნილი კატიონების სტაბილურობა განპირობებლია ჰეტეროატომის თავისუფალი ელექტრონული წყვილის შეუღლების ეფექტით.



6. მოლეკულური იონის გადაჯგუფება ხდება მცირე რაოდნობის ენერგიის ხარჯვით. ამ დროს ხშირად მოიხდის ხეიტრალური ნაერთები H_2O , CO , NH_3 , H_2S , HCN , $HHal$, ROH , $RCH=CH_2$ და წარმოიქმნებიან სტაბილიზებული გადაჯგუფებული იონები, რომელთა განსხვავებაც ნაშენებისაგან შესაძლებელია მასური რიცხვით. თუ მოლეკულური იონის მასური რიცხვი წყვილია, მაშინ გადაჯგუფებული იონის მასური რიცხვიც არის წყვილი, ხოლო ნაშენების მასური რიცხვები კი - კენტი.

ახლა შედარებით ვრცლად განვიხილოთ თითოეული ქლასისათვის დამახასიათებელი ფრაგმენტაციის მიმართულები.

4. ალკანები

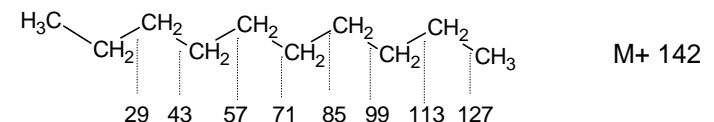
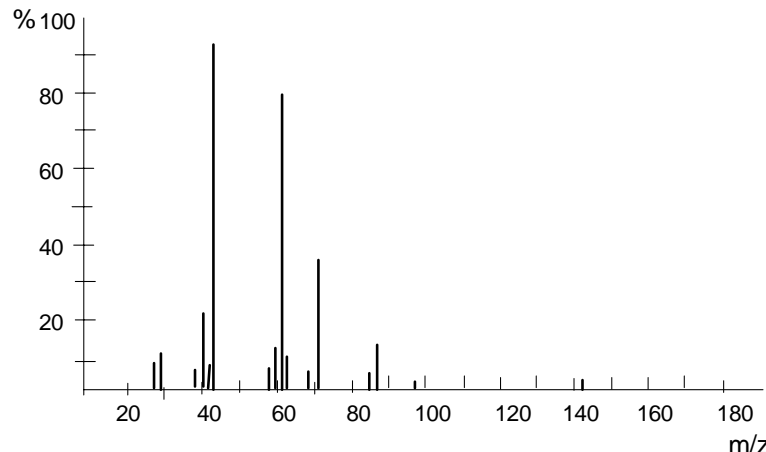
არაგანშტოებული დაბალმოლეკულური ალკანების მას-სპექტრებში ყოველთვის ნათლად შეინიშნება მოლეკულური იონის პიკი, თუმცა მისი ინტენსიურობა მცირდება ჩრდილებასთან ერთად, ხოლო 12-ზე მეტი ნაშირბადის შემცველი ალკანებისათვის იგი საერთოდ ქრება. ალკანების მოლეკულური იონი სტაბილიზირებული არ არის. ამიტომ, ადვილად მიმდინარეობს მისი ფრაგმენტაცია, რომლის დროსაც იკარგება ჯერ CH_3 -ჯგუფი ($M-15$ პიკი), ხოლო შემდეგ CH_2 -ჯგუფები, რის შედეგადაც მიიღება $M-29$, $M-43$, $M-57$ და ა.შ. პიკების სერია (m/z 14 განსხვავებით).

ნ-დეკანის მას-სპექტრი (ნახ. 55) შეიცავს მოლეკულური იონის M^+ (m/z 142) პიკს, თუმცა მისი ინტენსიურობა ძალიან მცირეა. $M-15$ პიკი, რომელიც შეესაბამება ნ-ნონილის ფრაგმენტს (მეთილის ჯგუფჩამოცილებულ დეკანს) საერთოდ არ შეინიშნება მისი სიმცირის გამო. მას-სპექტრზე პიკების სერია შეესაბამება მოლეკულური იონის შემდგომ დეფრაგმენტაციას, რომლის დროსაც თანმიმდევრულად იკარგება მეთილენის ჯგუფები.

მოცემულ მას-სპექტრზე ყველაზე ინტენსიური პიკია m/z 43 და m/z 57, რომლებიც წარმოადგენენ ნ-პროპილისა და ნ-ბუტილის კატიონებს.

განშტოებული ალკანების მოლეკულური იონის პიკის ინტენსიურობა არ არის დიდი, რადგან ადვილად მიმდინარეობს C-C ბმის გაწყვეტა განშტოების ადგილზე და მიიღება შედარებით სტაბილური მეორეული და მესამეული კარბკატიონები.

მაგალითად, 2-მეთილპენტანში (ნახ. 56) C_2H_5 -ფრაგმენტის მოხლეჩით მიიღება პირველადი - იზობუტილის კატიონი. ამიტომ ფრაგმენტაცია უპირატესად მიმდინარეობს CH_3 -და C_3H_7 -ფრაგმენტების მოხლეჩით, ვინაიდან უკანასკნელ შემთხვევაში ადგილი აქვს შედარებით სტაბილური

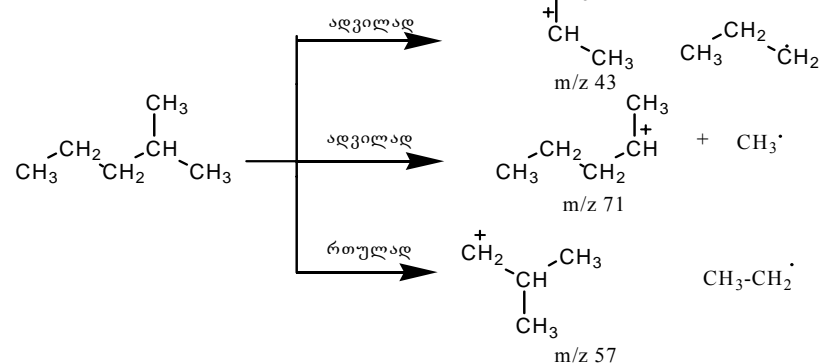


ნახ. 55. ნ-დეკანის მას-სპექტრი

კატიონების (იზოპროპილისა და მეორეული ბუტილის) წარმოქმნას.

თუმცა აქვე უნდა აღინიშნოს, რომ ელექტრონებით დაბომბვის დროს ადვილი შესაძლებელია ალკილის

რადიკალების შიდამოლეკულური მიგრაცია, რაც შეუძლებელს ხდის იზომერული ალკანების ზუსტი სტრუქტურის დადგენას.



ნახ. 56. 2-მეთილპენტანის მას-სპექტრი

5. ალკენები

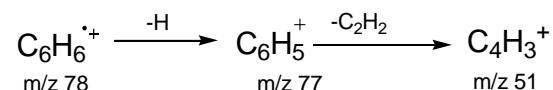
ალკენების მოლეკულური იონის პიკები უფრო ინტენსიური არიან ვიდრე ალკანებისა, რადგან ორმაგი ბმა იწვევს მოლეკულური იონის სტაბილიზაციას. ალკენებში შედარებით ინტენსიურობით ხასიათდებიან $[C_nH_{2n-1}]^+$ ნაშსხვრ-

ევების შესაბამისი პიკები, რომლებიც მიიღება მოლეკულური იონის დაშლით. ასეთი ინტენსიური პიკები ვლინდება m/z 41-ზე, m/z 55-ზე, m/z 69-ზე და ა.შ., რომლებიც შეესაბამება ალილის ფრაგმენტის შემცველ ალკენების კარბკატიონებს- $CH_2=CH-CH_2^+$ (m/z 41), (m/z 55), $CH_2=CH-CH^+-CH_2CH_3$ (m/z 69).

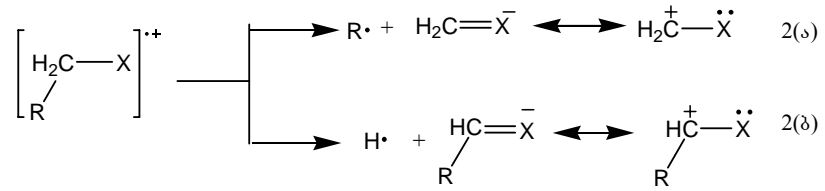
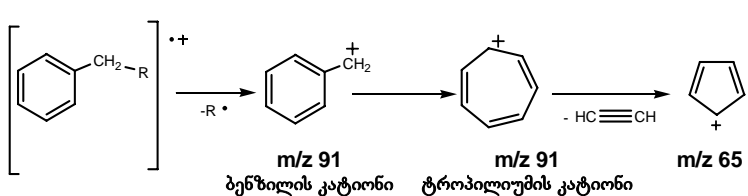
ამ ნაწილაკების შემდგომი ფრაგმენტაცია მიმდინარეობს ალკანების მსგავსად და მიიღება პიკების სერია, რომელთა შორის განსხვავება არის m/z 14. ამასთანავე, ალკენებში, ალკანებთან შედარებით, უფრო მეტად შეინიშნება შიდამოლეკულური გადაჯგუფება. გადაჯგუფებული იონების სიმრავლე კი ართულებს სპექტრის წაკითხვას და, იზომერული ალკანების შემთხვევაში, შეუძლებელს ხდის სტრუქტურული ფორმულის დადგენას.

6. არომატული ნაერთები

არომატული ნაერთები იძლევიან გამოკვეთილი მოლეკულური იონის პიქს. ბენზოლში $C-H$ ბმის გაწყვეტით მიიღება ფენილის კატიონი m/z 77 (), ხოლო ამ უკანასკნელის დაშლით გამოიყოფა აცეტილენის მოლეკულა და მიიღება $C_4H_3^+$ იონი (m/z 51).



მონოჩანაცვლებული ალკილბენზოლების მას-სპექტრებში მახასიათებელ პიქს წარმოადგენს m/z 91 პიკი, რომელიც შეესაბამება ბენზილის კატიონს. იგი შემდგომში გადაჯგუფდება ტროპილიუმის კატიონში C_7H_7 (m/z 91), ხოლო ეს უკანასკნელი, აცეტილენის მოლეკულის მოხსენების შემდეგ, წარმოქმნის ციკლოპენტადიენილ კატიონს $C_5H_5^+$ (m/z 65).



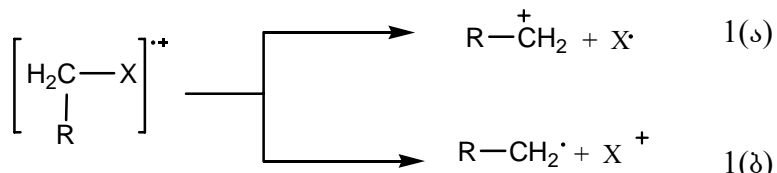
7. ნახშირზყალბადების ფუნქციური ნარმოებულები R-X ($\text{X}=\text{Hal, OH, NH}_2$)

$[\text{R-X}]^+$ მოლეკულური იონის პიკის ინტენსიურობა და მოკიდებულია ჰეტეროატომის ელექტროუარყოფითობაზე და მცირდება შემდეგ მწკრივში:



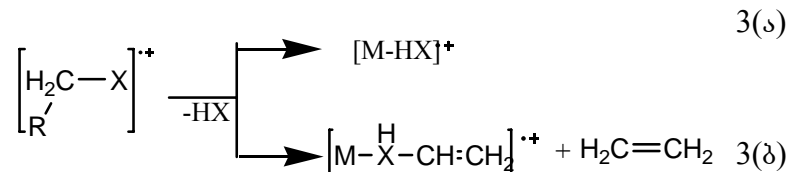
მოლეკულური იონის ფრაგმენტაცია შესაძლებელია წარიმართოს შემდეგი მიმართულებების მიხედვით:

1. C-X ბმის α -გახლება:



2. C-C ბმის β -გახლება:

3. C-X ბმის გაწყვეტა და ერთდროული გადაჯგუფება:

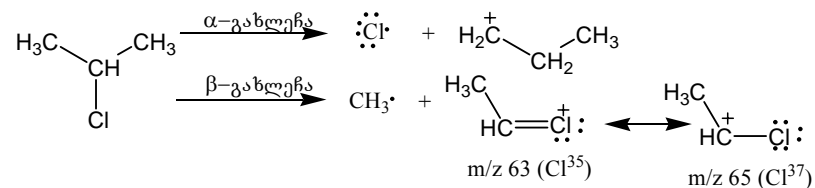


7.1. ჰალოგენნარმოებულები

ჰალოგენნარმოებულებისათვის დამახასიათებელია ზემოთ აღწერილი ფრაგმენტაციის ყველა მიმართულება. იოდ-და ბრომნახშირზყალბადები განიცდიან α -გახლებას, ფორმარმოებულები კი β -გახლებას და მას შემდგომ გადაჯგუფებს (მე-2 და მე-3 მიმართულებები). ზოგადად, α -გახლების შესაძლებლობა მცირდება შემდეგი მწკრივის თანახმად $\text{I}>\text{Br}>\text{Cl}>\text{F}$, ხოლო მე-2 და მე-3 მიმართულებების შესაძლებლობა პირიქით $\text{F}>\text{Cl}>\text{Br}>\text{I}$. აქედან გამომდინარე, ქლორნარმოებულებისათვის შესაძლებელია ფრაგმენტაციის განხორციელება სამივე მიმართულებით. ამდენად, ბრომმეთანის მას-სპექტრში (ნახ.59) შეინიშნება ნაშსხვრევი იონის პიკები,

რომლებიც მიღება C-Br ბმის α -გახლებით. ინტენსიური პიკი m/z 15 შესაბამება მეთილის (CH_3) კატიონს, ხოლო სუსტი ინტენსიურობის m/z 79 და m/z 81 პიკები კი- ბრომის კატიონებს (Br^{79} და Br^{81} შესაბამისად).

$2\text{-ქლორპროპანის$ მას-სპექტრზე (ნახ. 54) ძირითადი პიკი (ინტენსიურობა 100%) m/z 43 შესაბამება მეორეული პროპილის კარბატიონს, რომელიც მიღება C-Cl ბმის α -გახლებით:



როგორც ზემოთ იყო აღნიშნული, $2\text{-ქლორპროპანის$ მას-სპექტრი მოლეკულური იონის M^+ პიკთან ერთად შეიცავს $M+2$ პიკსაც, რაც განპირობებულია ქლორის იზოტოპის არსებობით. ქლორის იზოტოპი შეინიშნება აგრეთვე მის ნაშვრევი იონებშიც. მაგალითად, m/z 63 პიკთან ერთად m/z 65 პიკის არსებობა განპირობებულია ფრაგმენტში ქლორის ატომის არსებობით. ამ პიკების შედარებისას ყურადღება უნდა მიექცეს მათ ინტენსიურობებსაც. პირველი პიკი მეორეზე, M^+ და $M+2$ პიკების ანალოგიურად, სამჯერ უფრო ინტენსიურია.

7.2. სპირტები

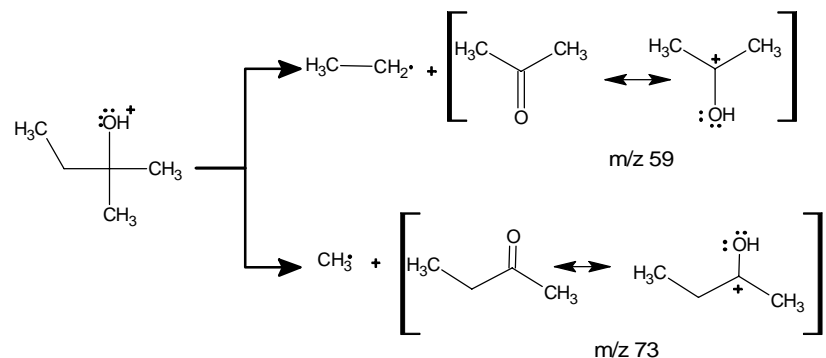
პირველადი და მეორეული სპირტების მოლეკულური იონის პიკის ინტენსიურობა ყოველთვის მცირეა, ხოლო მესამეული სპირტებისა - საერთოდ არ შეინიშნება. სპირტებისა-თვის მოლეკულური იონის α -გახლება არ შეინიშნება, რადგან C-O ბმა ბევრად უფრო მტკიცეა, ვიდრე C-Hal ბმა.

სპირტების მას-სპექტრები ყოველთვის შეიცავენ $M-18$ პიკს, რომელიც მიღება წყლის მოხლეკულის მოხლებით. ამასთანავე, მას-სპექტრებზე ვლინდება C-C ბმის α -გახლებით მიღებული იონების პიკები.

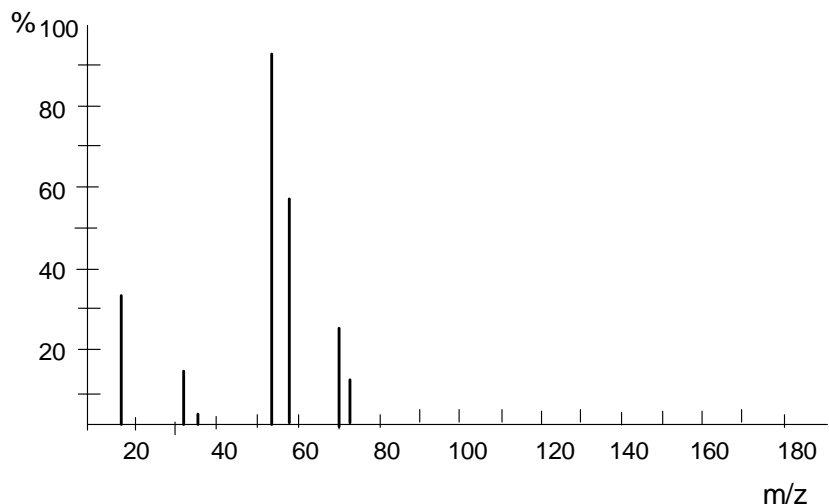
ჩამნაცვლებლების მოხლება და C-C ბმის დესტრუქცია უფრო ადვილად შეინიშნება მეორეულ და მესამეულ სპირტებში.

განვიხილოთ მესამეული სპირტის 2-მეთილ-2-ბუტანოლის მას-სპექტრი (ნახ. 57). მოლეკულური იონის შესაბამისი პიკი m/z 88 სპექტრზე არ ჩანს. შეინიშნება მხოლოდ პიკები m/z 73-ზე და m/z 59-ზე, რომლებიც შესაბამებიან α -გახლებით მიღებულ სტაბილურ $M\text{-CH}_3$ და $M\text{-C}_2\text{H}_5$ იონებს.

სპექტრზე შეინიშნება აგრეთვე m/z 70 პიკი, რომელიც შესაბამება მოლეკულური იონიდან წყლის მოლეკულის მოხლებით მიღებულ იონს.



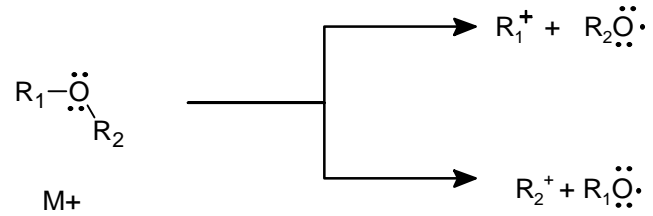
m/z 55 ძლიერი ინტენსიურობის პიკის წარმოქმნა განპირობებულია m/z 70 იონის დეფრაგმენტაციით, რომლის დროსაც მიღება მეზომერული ეფექტით სტაბილიზებული ჩამნაცვლებული ალილის კატიონი.



ნახ. 57. 2-მეთილ-2-ბუტანოლის მას-სპექტრი

7.3. მარტივი ეთერები

მარტივი ეთერების მას-სპექტრებში მოლეკულური იონის ინტენსიურობა უმნიშვნელოა. მოლეკულური იონის C-O ბმის α -გახლებით მიიღება ალკილური ფრაგმენტების ნაკლებ-ინტენსიური პიკები, რომლებიც შემდგომში იშლებიან ალკანების მსგავსად და იძლევიან ძირითადად m/z 29 ($C_2H_5^+$), m/z 43 (Pr^+), და m/z 57 (Bu^+) კატიონებს.



ყველაზე ინტენსიური პიკები შეინიშნება β -გახლების დროს და ამავე დროს რადიკალის სახით უფრო ადვილად იხლიჩება შედარებით დიდი მოცულობის ჩამნაცვლებელი.

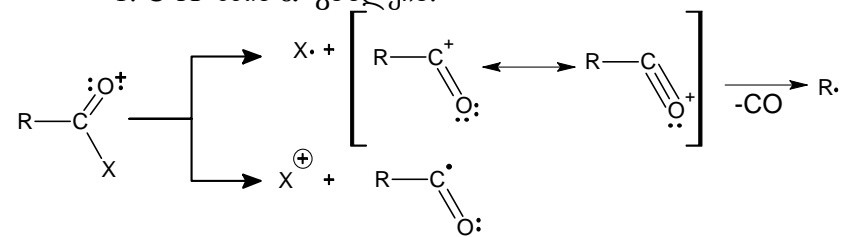
7.4. პირენი

ამინების მოლეკულური იონები არ განიცდიან α -გახლებს, ვინაიდან C-N ბმა საკმაო სიმტკიცით გამოირჩევა. ამინებისათვის უფრო დამახასიათებელია მოლეკულური იონის β -დაშლა. მეორეული და მესამეული ამინებისათვის დამახასიათებელია დიდი ზომის ჩამნაცვლებლების მოხლება.

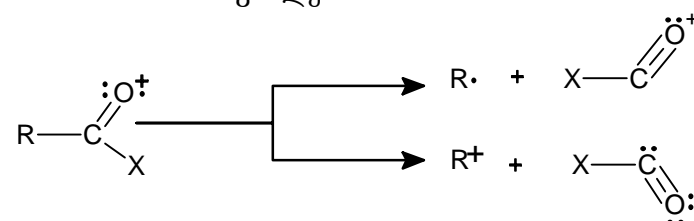
7.5. პარბონილური ნაერთები

კარბონილური ჯგუფის ($C=O$) შემცველი ნაერთებისათვის დამახასიათებელია შემდეგი მიმართულების ფრაგმენტაციები:

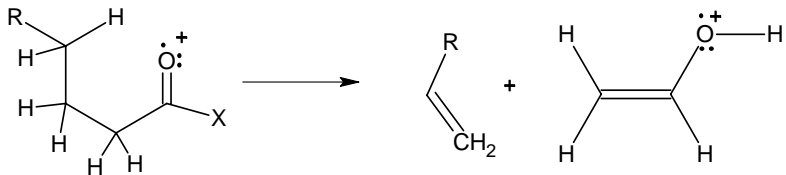
1. C-X ბმის α -გახლება.



2. C-C ბმის α -გახლება



3. ე.წ. მაკ-ლაფრეტის გადაჯგუფება.



ალდეჰიდები

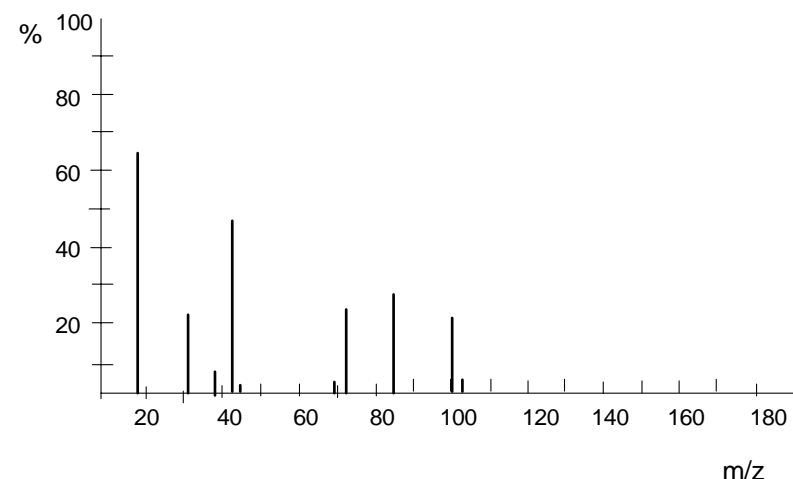
ალდეჰიდების მას-სპექტრებში ვლინდება ნაშენვრევი იონების პიკები, რომლებიც ნაერთების α -გახლეჩით მიიღება. ასეთი პიკებია $M-1$ (1ა მიმართულება), CHO^+ (m/z 29, 2ა მიმართულება), $M-CHO$ (2ბ მიმართულება). თუ ალდეჰიდი მოიცავს ოთხ ან მეტ ნახშირბადატომს, მაშინ მას-სპექტრებში შეინიშნება მაკ-ლაფრეტის გადაჯგუფებით მიღებული იონის ინტენსიური პიკი.

კეტონები

კეტონების მას-სპექტრებში, მაგალითად $CH_3COC_2H_5$, შეინიშნება R_1CO^+ და R_2CO^+ ნაშენვრევი იონების ინტენსიური პიკები (m/z 43 ($R=CH_3$), 57 ($R=C_2H_5$) და ა.შ. - 1ა და 2ა მიმართულებები). კეტონები ასევე განიცდიან 1ბ და 2ბ მიმართულებით დეფრაგმენტაციას, რომლის დროსაც წარმოიქმნება R_1^+ და R_2^+ იონები. კეტონებისათვის ალდეჰიდების მსგავსად არის დამახასიათებელი ლაფრეტის გადაჯგუფება, რომლის შედეგადაც მას-სპექტრზე წარმოიქმნება m/z 58, 72, 86 და ა. შ. პიკები.

3-მეთილ-2-პენტანონის მას-სპექტრებზე (ნახ. 58) ვლინდება მოლეკულური იონის პიკი m/z 100. მისი C-C ბმის გახლეჩით წარმოიქმნება ნაშენვრევი იონები m/z 85 ($C_4H_9CO^+$), 43 (CH_3CO^+ (1ა და 2ა მიმართულება)), m/z 57

($C_4H_9^+$, 1ბ და 2ბ მიმართულება). პიკი m/z 72 შეესაბამება ლაფრეტის გადაჯგუფებით მიღებულ იონს.



ნახ. 58. 3-მეთილ-2-პენტანონის მას-სპექტრი

7.6. კარბონმჟავები

კარბონმჟავების მას-სპექტრებში ტიპურ ფრაგმენტებს წარმოადგენენ იონები, რომლებიც მიიღება $-OH$ და $-COOH$ ჯგუფებისა და წყლის მოხლეჩით. ერთ-ერთი ასეთი იონია RCO^+ (პიკი $M-17$, 1ა მიმართულება). წყლის მოხლეჩით მიღებული იონი ვლინდება m/z $M-18-\ddot{N}$, ხოლო კარბოქსილის ჯგუფის მოცილების შემდეგ მიღებული კატიონი კი - m/z $M-45-\ddot{N}$ (1გ მიმართულება). გრძელი ნახშირბადოვანი ჩონჩხის მქონე კარბონმჟავების მას-სპექტრებში ადგილი აქვს $^{+(CH_2)_n}COOH$ იონების გამოვლინებას (m/z 45 $n=0$ -თვის, 59 $n=1$ -თვის, 73 $n=2$ -თვის, 87 $n=3$ -თვის და ა.შ.) მაკ-ლაფრეტის გადაჯგუფებით მიიღება იონი, რომლისთვისაც m/z MnO_2 60-ის ტოლია ($X=OH$).

ძირითადი ტერმინები

აზოტის წესი. მოლეკულურ იონს შეესაბამება წყვილი ატომური რიცხვი, თუ ნაერთში აზოტის ატომების წყვილი რაოდენობაა და პირიქით, აზოტის ატომების კენტი რაოდენობის შემთხვევაში მოლეკულური იონის მასური რიცხვი კენტია.

ანგსტრემი (Å). სიგრძის ძალიან პატარა ერთეულია. იგი ტოლია 10^{-8} სმ ანუ 10^{-10} მ. სახელი ეწოდა შვედი ფიზიკოსის ა. ანგსტრემის (1814-1874) საპატივსაცემოდ.

ანიზოტროპული ეფექტი. ელექტრონების ცირკულაცია იწვევს მაგნიტური ველის ინდუცირებას, რომელიც მოცემულ წერტილში იკრიბება ან აკლდება მოდებულ მაგნიტურ ველს H_0 . თუ მოცემულ პროტონზე ინდუცირებული ველის ეფექტი (სიდიდე და მიმართულება) წარმოადგენს ამ პროტონის ორიენტაციის ფუნქციას ინდუცირებული ველის მიმართ, მაშინ იგი განიხილება ანიზოტროპულად. ტერმინი „ანიზოტროპული“ ნიშნავს „სივრცით ასიმეტრიულს“ ან „მიმართულებით განსხვავებულს“.

ანიზოქრონული ბირთვები. ბირთვები, რომლებიც მაგნიტოარა-ეპივალენტურები არიან ქიმიური წანაცვლების თვალსაზრისით, ანუ აქვთ სხვადასხვა ქიმიური წანაცვლება. დიასტერეოტოპური პროტონები ანიზო-ქრონულებია.

ბერ-ბუგერ-ლამბერტის კანონი. სინჯზე დაცემული სინათლის სხივის ინტენსიურობისა (I_0) და სინჯიდან გამოსული სხივის ინტენსიურობის (I) რაოდენობითი ფარდობა.

$$\varepsilon = \frac{\lg(I_0)}{cb}$$

სადაც C არის ნივთიერების მოლური კონცენტრაცია ხსნარში,

б- ხსნარში სინათლის სხივის ოპტიკური გზა სანტიმეტრებში (კიუვეტის სიგანე)

ე- ექსტინქციის მოლური კოეფიციენტი. იგი შეიძლება განხილული იყოს როგორც cB -სა და $\lg(I_0/I)$ -ის პროპორციულობის კოეფიციენტი. შთანთქმის მოლური კოეფიციენტის სიდიდე დამოკიდებულია ნივთიერების გვარობაზე და არ არის დამოკიდებული ხსნარის კონცენტრაციაზე.

ბერ-ბუგერ-ლამბერტის კანონი შეიძლება ჩამოყალიბდეს შემდეგნაირად: $D = ecb$, სადაც D არის ხსნარის შთანთქმა ანუ ოპტიკური სიმკვრივე. სიმბოლო D -ს ნაცვლად ხშირად იხმარება სიმბოლო A .

ემისია. ელექტრომაგნიტური ტალღის გამოსხივება.

ექსტინქციის მოლური კოეფიციენტი. იხ. **შთანთქმის მოლური კოეფიციენტი.**

„**თითების ანაბეჭდების უბანი**“. იწ სპექტრის ყველაზე რთული და ამდენად, ყველაზე მახასიათებელი უბანი. ამ უბნის სპექტრი ინდივიდუალურია ყველა ნაერთისათვის.

მაქსიმალური პიკი. ყველაზე ინტენსიური პიკი მას-სპექტრში. მას ზოგჯერ „ძირითად პიკსაც“ უწოდებენ.

მოლეკულური იონი. იონი, რომელიც მიიღება მოლეკულიდან ერთი ელექტრონის ჩამოცილებით ელექტრონული ნაკადის დაჯახებისას. მოლეკულური იონი წარმოადგენს კატიონ-რადიკალს. თუ მას-სპექტრზე მოცემულია მოლეკულური იონის პიკი, მას m/z -ს ყველაზე დიდი მნიშვნელობა აქვს (თუ მხედველობაში არ მივიღებთ იზოტოპური ეფექტით გამოწვეულ პიკებს).

მიკროტალღები. გამოსხივება, რომლის ტალღის სიგრძეც მოთავსებულია 1 მმ-დან 50 სმ-მდე. მიკროტალღური გამოსხივება გამოიყენება რადიოსიგნალების გადაცემაში (რადიოლოკაცია), სამზარეულო ღუმელსა (მიკროტალღური ღუმელები) და რენტგენოსტრუქტურულ ქიმიაში.

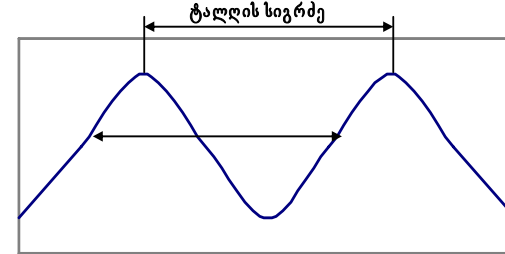
მონოქრომატორი. მოწყობილობა, რომლის საშუალებითაც პოლიქრომატული სხივი (მაგ. დღის სხივი) გადადის მონოქრომატულში.

ორმაგი რეზონანსი. H^1 -ბმრ სპექტრომეტრიის ერთ-ერთი მეთოდიკა, რომელიც გამოიყენება სპინ-სპინური გახლების გამარტივებისათვის ანუ ამცირებს სპინ-სპინური ურთიერთქმედებით გამოწვეულ მულტიპლეტობას. მულტიპლეტობის შემცირება შესაძლებელია, თუ სინჯს დავასხივებთ ისეთი რადიოსიხშირით, რომელიც შეესაბამება სპინ-სპინურ ურთიერთქმედებაში მონაწილე ერთ-ერთი ატომის რეზონანსულ სიხშირეს. მულტიპლეტურობის სიხშირეს იწევენ ისიც, რომ ამ პროტონის სიგნალი ქრება, რომელიც განიცდის „დამატებით დასხივებას“.

საწყისი პიკი. იგივეა, რაც მოლეკულური იონი.

სიხშირე. ტალღების რიცხვია, რომელიც ერთ რაიშე წერტილს გადის დროის განსაზღვრულ მონაკვეთში.

ტალღის სიგრძე. მანძილი ორ მეტობელ ქიმს (მაქსიმუმის წერტილებს) შორის. თუმცა უნდა აღინიშნოს, რომ ტალღის სიგრძის გაზომვა შესაძლებელია ერთ სიმაღლეზე მდებარე ნებისმიერ ორ წერტილს შორის.



ტალღის სიგრძე აღინიშნება ბერძნული ასოთი λ. იგი იზომება სიგრძის საზომი ერთეულებით, თუმცა სპექტრალურ ანალიზში ძირითადად გამოიყენება ანგსტრომი (\AA), სმ, ნანომეტრი (ნმ), მიკრომეტრი (მკმ).

ქრომოფორი. ფუნქციური ჯგუფები, რომელსაც ახასიათებს შთანთქმა უი და ხილულ უბნებში.

შთანთქმის მოლური კოეფიციენტი. მისი სიდიდე პროპორციულია განსაზღვრული გადასვლების ალბათობისა. დიდი ალბათობის გადასვლებისათვის კოეფიციენტის სიდიდეც დიდია ($\sim 10^5$), ხოლო მცირე ალბათობის გადასვლებისათვის კი – პატარა სიდიდე ($\sim 10^0$ - 10^3). შთანთქმის მოლური კოეფიციენტი შეიძლება განხილულ იქნას აგრეთვე, როგორც პროპორციულობის კოეფიციენტი სინჯის მიერ შთანთქმული გამოსხივებისა და სინჯის რაოდენობას შორის. ასევე იხ.. დერბუგერ-ლამბერტის კანონი.

ძირითადი რხევა. რხევა, რომელიც შეესაბამება ელექტრონის ძირითად გადასვლას ანუ მოლეკულის აღზნებას ერთი ენერგეტიკული დონიდან მეორე, უფრო მაღალი ენერგიის შქონე ენერგეტიკულ დონეზე. ყველაზე უფრო მნიშვნელოვანია ძირითადი რხევები, რომლებიც შეესაბამება ძირითადი მდგომარეობიდან პირველ აღზნებულ მდგომარეობაზე გადასვლას.

ძირითადი პიკი. იგივეა, რაც მაქსიმალური პიკი.

პომოტროპური ჯგუფები. ეკვივალენტური ჯგუფები.

γ-სხივები. მაღალი სიხშირის ელექტრომაგნიტური გამოსხივება (ანუ მაღალი ენერგიის ელექტრომაგნიტური გამოსხივება).

დანართი A

ცხრილი 12. უი სპექტრომეტრიაში გამოყენებული ოპტიკურად სუფთა გამსხნელების „საზღურბლო წერტილები“*

გამსხნელი	ტალღის სიგრძე, ნმ
2,2,2-ტრიფთორუეთანოლი	190-400
წყალი	190-400
აცეტონიტრილი	195-400
ციკლოჰექსანი	200-400
ნ-ჰეპტანი	200-400
დეკაჰიდრონაფთალინი	205-400
ნ-ჟესანი	205-400
ნ-ჰენტანი	205-400
ბუტანოლ-1	205-400
ეთანოლი	205-400
ეთანოლი (95%)	205-400
გლიცერინი	205-400
მეთანოლი	205-400
მეთილციკლოჰექსანი	205-400
2,2,4-ტრიმეთილპენტანი	210-400
ციკლოჰენტანი	210-400
ლი-ნ-ბუტილეთერი	210-400
H_2SO_4 (96%)	210-400
პროპანოლ-2	215-400
დიეთილეთერი	220-400
1,4-დიოქსანი	220-400
ტეტრაჰიდროფურანი	230-400
1,2-დიქლორორეთანი	230-400
დიქლორმეთანი	245-400

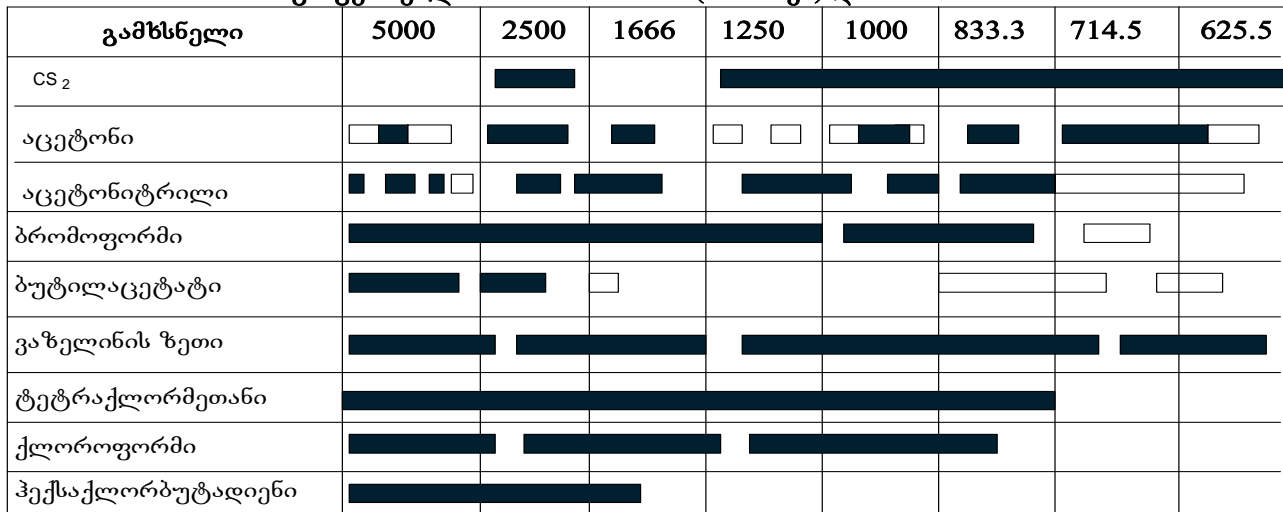
* უი უბანში „საზღურბლო წერტილი“ შეესაბამება იმ ტალღის სიგრძეს, რომლის დროსაც შთანთქმა 1 სმ სიგანის კიუპეტაში უახლოვდება 1,0-ს, თუ სტანდარტულ ნივთიერებად აღებულია წყალი. საზღურბლო წერტილის ქვემოთ გამსხნელის გამოყენება არ შეიძლება. საზღურბლო წერტილის მდებარეობა ქლიფრა დამტკიცებული გამსხნელის სისუფთავეზე. ცხრილში მოცემული წერტილები შეესაბამება „სპექტრალურად სუფთა“ ეკალიფიკაციას.

ცხრილი 12-ის გაგძლიერება

გამზსნელი	ტალღის სიგრძე, ნმ
ქლოროფორმი	255-400
ეთილაცეტატი	255-400
ბუტილაცეტატი	260-400
ტეტრაქლორმეთანი	260-400
მეთილფორმიატი	265-400
1-მეთილპიროლიდონ-2	270-400
დიმეთილსულფონქსიდი	280-400
N,N-დიმეთილფორმამიდი	285-400
ბენზოლი	290-400
ტოლუოლი	300-400
ტეტრაქლორეთილენი	330-400
ბენზონიტრილი	330-400
პირიდინი	330-400
აცეტონი	360-400
ბრომფორმი	360-400
CS ₂	360-400

დანართი B

იწ სპექტრომეტრიაში გამოყენებული „სპექტრალურად სუფთა“ ორგანული გამზსნელების გამჭვირვალობა $5000-625 \text{ nm}^{-1}$ (2-16 მკმ) დიაპაზონში*



* მარკუთხედებით აღნიშნულია გამზსნელების გამოყენების დიაპაზონი. მუქი ფერის მართხუთხედი შეესაბამება 80-100% გამჭვირვალობას, ხოლო გაუფერადებელი მართხუთხედი კი- 60-80% გამჭვირვალობას.

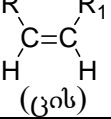
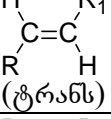
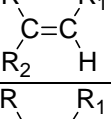
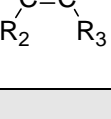
დანართი C

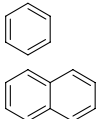
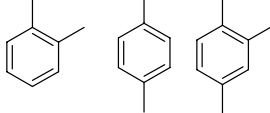
ცხრილი 13. ფუნქციური ჯგუფების ძირითადი შთანთქმის ზოლები

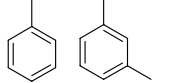
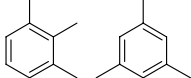
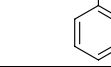
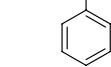
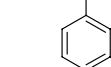
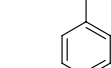
ჯგუფი	შთანთქმის ზოლი, cm^{-1}	ინტენსიურობა	მისადაგება
ალკანები			
$-\text{CH}_3$	2960	δ	$\nu_{\text{as}}\text{CH}_3$
	2870	$\text{s}\ddot{\text{a}}\ddot{\text{s}}$	$\nu_s\text{CH}_3$
	1460	$\text{s}\ddot{\text{a}}\ddot{\text{s}}$	$\delta_{\text{as}}\text{CH}_3$
	1380	δ	$\delta_s\text{CH}_3$
$-\text{CH}_2-$	1925	δ	$\nu_{\text{as}}\text{CH}_2$
	2850	δ	$\nu_s\text{CH}_2$
	1470	$\text{s}\ddot{\text{a}}\ddot{\text{s}}$	CH_2 მაკრატელისებური
	725-720	δ	$(\text{CH}_2)_n$ ქანქარისებური
$\begin{array}{c} \\ -\text{C}-\text{H} \\ \\ \parallel \end{array}$	2890	$\text{s}\ddot{\text{u}}\text{s}\ddot{\text{t}}\text{o}$	νCH
	1340	$\text{s}\ddot{\text{u}}\text{s}\ddot{\text{t}}\text{o}$	δCH
$\begin{array}{c} \text{H}_3\text{C} \\ \\ \text{CH}- \\ \\ \text{H}_3\text{C} \end{array}$	1170	δ	ჩონჩხის
	1145		ჩონჩხის

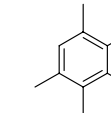
ჯგუფი	შთანთქმის ზოლი, სმ ⁻¹	ინტენსიურობა	მისადაგება
$\begin{array}{c} \text{CH}_3 \\ \\ \text{H}_3\text{C}-\text{C}- \\ \\ \text{CH}_3 \end{array}$	1255	δ	ჩონჩხის
	1210		
$\begin{array}{c} \text{CH}_3 \\ \\ -\text{C}- \\ \\ \text{CH}_3 \end{array}$	1215	δ	ჩონჩხის
	1195	δ	ჩონჩხის
$\begin{array}{c} \text{CH}_2 \\ \\ -\text{C}-\text{C}- \\ \\ \end{array}$	1020-1005	საშ	$\delta_{\text{as}}\text{CH}_2$
$\begin{array}{c} \text{NH} \\ \\ -\text{C}-\text{C}- \\ \\ \end{array}$	3000	საშ	δCH
C-H ბმის ზოგიერთი დეფორმაციული რხევა 1400 სმ ⁻¹ უბანში			
O-CO-CH ₃	1380-1365		
-CO-CH ₃	1360-1355		
-COOCH ₃	1440-1435		$\delta_{\text{as}}\text{CH}_3$
	1365-1356		$\delta_s\text{CH}_3$
-CH ₂ -CO-	1440-1400		

ჯგუფი	შთანთქმის ზოლი, სმ ⁻¹	ინტენსიურობა	მისადაგება
-CH ₂ -C=C- -CH ₂ -C≡C-	1445-1430	δ	
ალკენები			
=CH ₂	3080	საშ	$\nu_{\text{as}}\text{CH}_2$
	2975	საშ	$\nu_s\text{CH}_2$
=CH-	3020	საშ	νCH_2
R-CH=CH ₂ ტერმინალური გინილი	1860-1800	საშ	$\delta\text{ CH}$ (ობერტონი)
	1645	საშ	$\nu\text{C}=\text{C}$
	1420	საშ	$\delta\text{ CH}$
	1300	საშ-სუსტი	$\delta\text{ CH}$
	990	δ	$\delta\text{ CH}$ (არაბრტყელი)
	910	δ	$\delta\text{ CH}$ (არაბრტყელი)
$\begin{array}{c} \text{R} \\ \\ \text{C}=\text{CH}_2 \\ \\ \text{R} \end{array}$ ტერმინალური	1800-1750	საშ	$\delta\text{ CH}$ (ობერტონი)
	1655	საშ	$\nu\text{C}=\text{C}$
	1415	საშ	$\delta\text{ CH}$

ჯგუფი	შთანთქმის ზოლი, სმ ⁻¹	ინტენსიურობა	მისადაგება
	890	δ	δ CH (არაბრტყელი)
 $\begin{array}{c} R \\ \\ C=C \\ \\ H \end{array}$ (ვინ)	1660	საშ	$\nu C=C$
	1415	საშ	δ CH
	730-675	საშ	δ CH (არაბრტყელი)
 $\begin{array}{c} H \\ \\ C=C \\ \\ R \end{array}$ (ტრანს)	1675	სუსტი	$\nu C=C$
	965	δ	δ CH
 $\begin{array}{c} R \\ \\ C=C \\ \\ R_2 \end{array}$ H	1675	სუსტი	$\nu C=C$
	965	δ	δ CH
 $\begin{array}{c} R \\ \\ C=C \\ \\ R_2 \\ \\ R_3 \end{array}$	1670	სუსტი	$\nu C=C$
შეუღლებული ორმაგი ბმები			
დიენები	1650		$\nu C=C$
	1600		$\nu C=C$

ჯგუფი	შთანთქმის ზოლი, სმ ⁻¹	ინტენსიურობა	მისადაგება
ტრიენები	1650		$\nu C=C$
	1600		$\nu C=C$
	960		δCH
პოლიენები	1650-1580		$\nu C=C$
	990-970		δCH (თუ არსებობს ტრანს ორმაგი ბმა)
არომატული ნაერთები			
 $\begin{array}{c} \text{C}_6\text{H}_6 \\ \text{C}_10\text{H}_8 \end{array}$	~3030	საშ	$\nu C_{ar}-H$
	1600 (1580)	საშ-სუსტი	$\nu C_{Ar}=C_{Ar}$
	2000-1660	სუსტი	δCH (ობერტონი)
	1500 (1450)	საშ-სუსტი	$\nu C_{Ar}=C$
 $\begin{array}{c} \text{C}_6\text{H}_5\text{CH}_3 \\ \text{C}_6\text{H}_4(\text{CH}_3)_2 \\ \text{C}_6\text{H}_3(\text{CH}_3)_2 \end{array}$	1275-1175		$\nu C_{ar}-H$ (ბრტყელი)
	1175-1125		$\nu C_{ar}-H$ (ბრტყელი)
	1070-1000 (ორი)		$\nu C_{ar}-H$ (ბრტყელი)

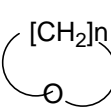
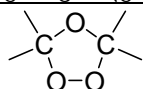
ჯგუფი	შთანთქმის ზოლი, სმ ⁻¹	ინტენსიურობა	მისადაგება
	1175-1125		vC _{ar} -H(ბრტყელი)
	1110-1070		vC _{ar} -H(ბრტყელი)
	1070-1000		vC _{ar} -H(ბრტყელი)
			
	770-730		δCH
	770-735		δCH
	810-750		δCH
	860-800		δCH

ჯგუფი	შთანთქმის ზოლი, სმ ⁻¹	ინტენსიურობა	მისადაგება
	900-860		δCH
X≡Y, X=Y=Z ჯგუფები			
$-C\equiv C-$ ტერმინალური	2140-2100		v≡C
	700-600		δ≡C
$-C\equiv C-$ ცენტრალური	2260-2190		
$-C\equiv N$	2260-2210		v≡C
$-N\equiv N]^+$	2260±20		v≡C
$-CO-CH_2-N\equiv N$ დიაზოკეტონი	3100-2090		v≡C
	2070-2060		v≡C
	1645		vC=O
$C=C=C$ ალენი	1950		
	850		δCH
$-N=C=O$ օზოდიანაზი	2275-2250	ძალიან ძლიერი	

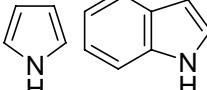
ჯგუფი	შთანთქმის ზოლი, სმ ⁻¹	ინტენსიურობა	მისადაგება
	1350		
Alk-N=C=N-Alk კარბოდიიმიდი	2140	ძალიან ძლიერი	
	2115		
Ar-N=C=N-Ar კარბოდიიმიდი	2145	ძალიან ძლიერი	
	2115		
Alk-S-C≡N თიოციანატი	2140	ძალიან ძლიერი	
Ar-S-C≡N თიოციანატი	2175-2160	ძალიან ძლიერი	
Alk-S=C=N იზოთიოციანატი	2140-1990		
Ar-S=C=N იზოთიოციანატი	2130-2040		
C=C=O კეტენი	~2150		
	~1120		
C=C=N კეტენიმინი	~2000		

ჯგუფი	შთანთქმის ზოლი, სმ ⁻¹	ინტენსიურობა	მისადაგება
O=C=O	2349	δ	
	720	ვიწრო ზოლი	
	667	ვიწრო ზოლი	
სპირტები და ფენოლები			
-OH თავისუფალი	3640-3610	ვიწრო ზოლი	νO-H
	1250	ფართო ზოლი	δO-H(ბრტყელი)
$\begin{array}{c} \\ R-C-OH \end{array}$	3640	δ	νO-H
	1050		νC-O
$\begin{array}{c} R \\ \\ R-C-OH \end{array}$	3630	საშ	νO-H
	1100		νC-O
$\begin{array}{c} R \\ \\ R-C-OH \\ \\ R \end{array}$	3620	საშ	νO-H
	1150		νC-O
Ar-OH	3610		νO-H

ჯგუფი	შთანთქმის ზოლი, სმ ⁻¹	ინტენსიურობა	მისადაგება
	1200		vC-O
R-OH~~~HO-R დიმერები	3600-3500	ძალიან ვიწრო	vO-H
	1500-1300	ფართო ზოლი	δO-H (ბრტყელი)
მარტივი ეთერები			
C-O-C	1150-1070		v _{as} C-O-C
=C-O-C	1275-1200		v _{as} =C-O
	1075-1020		v _s =C-O
Alk-OCH ₃	2830	საშ	v _s CH ₃
Ar-OCH ₃	2850	საშ	v _s CH ₃
	3000, 2950, 2915 ტრიპლეტი		
C-O-C-O-C კეტალები, აცეტალები	1200-1040 კვარტეტი		

ჯგუფი	შთანთქმის ზოლი, სმ ⁻¹	ინტენსიურობა	მისადაგება
	3040 n=3,4	საშ	
	3000 n>4		
	1250		v _s
	950-810		v _{as}
	840-750		
Alk-C-O-O-C-Alk ჰეროქსიდები	890-820	სუსტი	
Ar-C-O-O-C-Ar ჰეროქსიდები	1000	სუსტი	
	1060-1040		
ამინები, ამონიუმის მარილები			
Alk-NH ₂	~3500	სუსტი	v _{as}
Ar-NH ₂	~3400	სუსტი	v _s

ჯგუფი	შთანთქმის ზოლი, სტ ⁻¹	ინტენსიურობა	მისადაგება
$-\text{NH}_2$	1640-1560	ძლიერი- საშუალო	δNH
	900-650	საშუალო	δNH (არაბრტყელი)
$\begin{array}{c} \text{H(R)} \\ \\ \text{R}-\text{N} \\ \\ \text{H(R)} \end{array}$	1230-1030	საშ	$\nu\text{C-N}$
$\begin{array}{c} \text{H(R)} \\ \\ \text{Ar}-\text{N} \\ \\ \text{H(R)} \end{array}$	1360-1250	δ	$\nu\text{C}_{\text{Ar}}\text{-N}$
	1280-1180	საშ	$\nu\text{C}_{\text{Alk}}\text{-N}$
R-NH-R	3350-3310	სუსტი	ν_{as}, ν_s
$-\text{NH}-$	1580-1490	სუსტი	
Ar-NH-Alk	3450	საშ	ν_{as}, ν_s
$-\text{NH}_3^+$	~3000	ფართო	$\nu_{\text{as}} \text{NH}_3^+$
	~2500		
	~2000	საშ	
	1600-1575	δ	$\nu_{\text{as}} \text{NH}_3^+$
	1500	δ	$\nu_s \text{NH}_3^+$

ჯგუფი	შთანთქმის ზოლი, სტ ⁻¹	ინტენსიურობა	მისადაგება
$-\text{NH}_2^+$	2700-2250	ფართო	$\nu_{\text{as}} \text{NH}_2^+, \nu_s \text{NH}_3^+$
	2000	საშ	
	1600-1575	საშ	δNH_3^+
$-\text{NH}^+$	2700-2250	ფართო	
$\begin{array}{c} + \\ \diagup \\ \diagdown \\ \text{N} \end{array}$	არა აქვს მახასათებელი შთანთქმის ზოლი		
	3490		
$\text{C}=\text{N}$	3400-3300		$\nu\text{C}=\text{N}$
$\begin{array}{c} + \\ \text{H}_2\text{C}=\text{NH}-\text{H} \end{array}$	2500-2300	ფართო	
	2200-1800		
	~1680	საშ	$\nu\text{C}=\text{N}^+$
კარბონილური ნაერთები			
Alk-CO-	1715		$\nu\text{C=O}$

ჯგუფი	შთანთქმის ზოლი, სმ ⁻¹	ინტენსიურობა	მისადაგება
Alk-CO-Alk	1100		$\delta C=O$
Ar-CO-Ar	1300		$\delta C=O$
	1675		$\delta C=O$
	1650-1600		$\delta C=C$
Ar-CO-	1690		
	1665		
	1695		

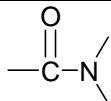
ჯგუფი	შთანთქმის ზოლი, სმ ⁻¹	ინტენსიურობა	მისადაგება
	1705		
	1715		
	1745		
	1780		
	1780+(0-25)		

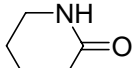
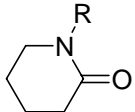
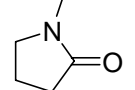
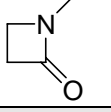
ჯგუფი	შთანთქმის ზოლი, სმ ⁻¹	ინტენსიურობა	მისადაგება
	1720 1675		vC=O
	2820, 2720		vC-H
	1725		vC=O
	1400-1000		δC=O
	1685		
	1685		
Ar-CHO	1700		

ჯგუფი	შთანთქმის ზოლი, სმ ⁻¹	ინტენსიურობა	მისადაგება
მჟავები			
-COOH	3000-2500		
	1760(მონომერი) 1710(დიმერი)	δ	vC=O
	1420		δO-H
	1300-1200		δO-H
 Ar-COOH	1720(მონომერი) 1690(დიმერი)		
-COO ⁻	1610-1550		v _{as} C-O
	1400		v _s C-O
რთული ეთერები			
	1735		vC=O
	1300-1050 ორი პიკი		v _{as} C-O-C v _s C-O-C

ჯგუფი	შთანთქმის ზოლი, სმ ⁻¹	ინტენსიურობა	მისადაგება
	1720		ν_s C-O
	1300-1250	ძალიან ძლიერი	ν_{as} C-O-C
	1200-1050	δ	ν_s C-O-C
Ar-CO-O-	1720		ν C=O
	1300-1250	ძალიან ძლიერი	ν_{as} C-O-C
	1200-1050	δ	ν_s C-O-C
	1760		ν C=O
	1690-1650	δ	ν C=C
Ar-CO-O-Ar	1735		ν C=O
	1735		ν C=O
	1720		ν C=O

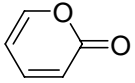
ჯგუფი	შთანთქმის ზოლი, სმ ⁻¹	ინტენსიურობა	მისადაგება
	1760		ν C=O
	1740-1720		ν C=O
	1770		ν C=O
	1750		ν C=O
ანჰიდრიდები და პეროქსიდები			
-CO-O-CO-	1770		ν C=O
	1300-1050		
Alk-CO-O-O-CO-Alk	1815		
	1790		
Ar-CO-O-O-CO-Ar	1790		
	1770		

ჯგუფი	შთანთქმის ზოლი, სმ ⁻¹	ინტენსიურობა	მისადაგება
ამიდები			
-CONH ₂	3500, 3400		vNH ₂
	1690		vC=O
	1600		δC=O
-CO-NHR	3440		δNH
	3300		
	3070		
	1680		vC=O
	1655		
	1530		δNH
	1550		
	1260		vC-N
	1300		
	1650		vC=O

ჯგუფი	შთანთქმის ზოლი, სმ ⁻¹	ინტენსიურობა	მისადაგება
	1670		vC=O
	1640		vC=O
	~1700		vC=O
	1745		vC=O
ნიტრონაერთები			
-NO ₂	1650-1500	δ	v _{as} NO
	1370-1250	δ	v _s NO
C-NO ₂	1650	δ	v _{as} NO
	1350	δ	v _s NO
	870		v _s C-N

ჯგუფი	შთანთქმის ზოლი, სმ ⁻¹	ინტენსიურობა	მისადაგება
	610		$\delta_{\text{s}}\text{C-N-O}$
O-NO ₂	1640-1620		ν_{NO}
	870-855		$\nu_{\text{sC-N}}$
N-NO ₂	1630-1550		ν_{NO}
	1285-1270		ν_{NO}
ნიტროზონაერთები			
C-N=O	1600-1500		ν_{NO}
O-N=O ლუბლეტი	1680-1610		$\nu_{\text{N-O}}$
	815-750		$\nu_{\text{O-N}}$
	690-620		$\delta_{\text{O-N=O}}$
	625-565		$\delta_{\text{O-N=O}}$
N-N=O	1500-1430		$\nu_{\text{N=O}}$
C=N-OH	3650-3500		$\nu_{\text{N=O}}$
	1685-1650		$\nu_{\text{C=N}}$
	960-930		$\nu_{\text{N-O}}$
N-ოქსიდი	960-950		$\nu_{\text{N-O}}$

ჯგუფი	შთანთქმის ზოლი, სმ ⁻¹	ინტენსიურობა	მისადაგება
	ალიფატური		
	1300-1200 არომატული		$\nu_{\text{N-O}}$
N=N→O აზოქსი	1310-1250		$\nu_{\text{N-O}}$
ჰეტეროციკლური ნაერთები			
	3165-3125		ν_{CH}
	~1565		
	~1500		$\nu_{\text{C=C}}$
	1030-1015		
	885-870		
	800-740		
	3125-3050		ν_{CH}
	~1520		
	~1040		
	750-690		

ჯგუფი	შთანთქმის ზოლი, სმ ⁻¹	ინტენსიურობა	მისადაგება
	3490		
	3125-3100		
	1600-1500 (ორი)		
	1740-1720		
	1650-1620		
	1570-1540		vC=C
	1680-1650		
	1650-1600		
	1590-1560		vC=C

დანართი D

ელექტრონული შთანთქმის სპექტრები

აკროლეინი	17
ანილინი	20
ბენზოლი	19
ბენზოლი	20
1,3-ბუტანინი	17
ფენოლი	23
ფთორბენზოლი	20

იწ შთანთქმის სპექტრები

ანილინი	45
ბენზოლები	36
ბენზოლი	38
ბენზომჟავა	43
2-ბუტანონი	41
1,2-დიმეთილბენზოლი	38
3,3-დიეთილ-1-პენტანოლი	47
დიფენილამინი	45
ეთანალი.	41
ო-კრეზოლი (ნალდობი)	49
პირიდინი	46
5-ფენილ-1-პენტინი	35
ციკლოჰექსანი	33
ჰექსანი	33

H^1 -ბმრ სპექტრები

ბენზოლი	61
ფურანი	62

ციკლოოქტატეტრაენი	62
ეთილიოლიდი	69
1-ნიტროპროპანი	76
3-იოდპროპანმჟავა	84
1-მეთოქსი-1-ბუტენ-3-ინი	85
ბენზილის სპირტი	88
ეთანოლი	89
2-პროპანოლი	89
მეთილპროპროპანოლ-2	89
ბუტანალი	90
აცეტოფენონი	91
ეთილბენზოლი	91
პროპანმჟავა	92
ყინულმმარმჟავა	93
აცეტილქლორიდი	93
ეთილანილინი	94
ფენილბენზილამინი	95
2-მესამეული-ბუტილფენოლი	95
იზობუტანოლი	97
ბენზილის სპირტი	98
ფენილაცეტილენი	98

გას -სპექტრები

ბენზოლი	103
ბრომმეთანი	105
2-ქლორპროპანი	107
ნ-დეკანი	112
2-მეთილპროპანი	113
2-მეთილ-2-ბუტანოლი	119
3-მეთილ-2-პენტანონი	122

ანბანური საძიებელი

#
$\pi \rightarrow \pi$; გადასვლები, 15
σ -ელექტრონები, 11
$n \rightarrow \pi^*$ გადასვლები, 17

ა

ატროლები, 17
ალფეპტონები, 39, 121
ალკანები, 13
ალკანები, 31, 111
ალკილბენზოლები, 109
ალკნები, 32, 113
ალკნები, 34, 84
აზობენზოლი, 21
„აზოტის“ წესი, 103
ამინები, 44, 120
1-ამინო-9, 10-ანთრაქინონი, 21
ამინოაცერთები, 23
ანგსტრემი, 7
ანიზოლი, 97
ანილინი, 20, 45, 46
არენები, 35
არომატული ნაერთები, 18, 114
ასიმეტრიული ვალენტური რხევები, 26
აქსილურ მაგნიტური გელი, 59
აცეტან-ჰიდრიდი, 92
აცეტილქლორიდი, 92, 93
აცეტოფენონი, 91

ბ

ბატოქრომული, 16
ბენზილის სპირტი, 97, 98
ბენზოლი, 20, 38
„ბენზოლური“ შთანთქმის ზოლი, 19
ბირთვულ მაგნიტური რეზონანსული
სპექტრომეტრია, 50
ბმის ძალური კონსტანტა, 30
ბრომმეთანი, 105
1,3-ბუტადიენი, 15

გ

გამოსული სხივის ინტენსიურობა, 10
განალების სასიათი, 76
გრუნვითი, 26

დ

დეზექრანირება, 57, 58
დეპანი, 111
დეფორმაციული, 25, 26, 27, 32
დეფრაგმენტაცია, 111
დიასტერეოტოპური ბირთვები, 68
დიმეთილსულფოქსიდი, 87
დიფენილი, 21
1,1-დიქლორეთანი, 66
დუბლები, 76

ე

ეთანი, 13
ეთანოლი, 89, 107
ეთენი, 15
ეთილბენზოლი, 91
ეთილიოდიდი, 69
ელექტრონოაქცეპტორული, 19, 20,
24
ელექტრონოდონორული, 19, 20, 24
ელექტრონული გადასვლები, 12

ვ

ვალენტური, 11, 25, 27, 30, 31, 35,
36, 39, 40, 42, 43, 44, 45, 46, 48,
90
ვაკუუმური გამერები, 14

თ

თავისუფლების ხარისხი, 28
“თითების ანაბეჭდების“ უბანი, 27

ი

იზოტოპური სახესხვაობი, 104
ინფრაწითელი სპექტრომეტრია, 25
ინტენსიურობა, 28
იონიზაცია, 24, 99
იონიზაციის პირველი პოტენციალი,
99

კ

კარბომეტვები, 122
კარბონილური ნაერთები, 120
კაროტინი, 16
კვარტეტი, 70, 76
კვტონები, 39, 121
კუმულირებული პოლიენები, 27

ლ

ლაფრეტის გადაჯგუფება, 121, 122
ლამბერტ-ბუგერ-ბერის კანონი, 10
ლიკოპინი, 16

ბ

მაგნიტურ-არაეკვივალენტურები, 68
მაგნიტური არაექვივალენტურობა,
68
მაგნიტური ეკვივალენტურობა, 82
მაგნიტური ველის დაძაბულობა, 57
მკრატელისუბერი, 26
მარაოსეური, 26
მარტივი ეთერები, 119
მას სპექტროსკოპია, 99
მეთანი, 13
2-მეთილპენტანი, 112
3-მეთილ-2-აენტანონი, 121, 122
მეთილიდრაზინი, 107
1-მეთოქსი-1-ბუტენ-3-ინი, 85
მიკრონი, 7
მიკრომეტრი, 7
მილიმეტრი, 7
მილიონიბით წილები, 57, 73
მისადაგება, 28
მოლეკულური იონი, 99, 102, 103,
104, 106, 108, 109, 111, 112, 113,
114, 115, 117, 118, 119, 120, 121
მულტიპლეტურობა, 70
მოლეკულურ იონს, 99, 102

158

მოლეკულური იონი, 99, 106, 111

ნ

ნანომეტრი, 7
ო-ნიტროანილინი, 21

ო

პლანკის განტოლება, 52
პ-ნიტრ-Н, Н -დიმეთილანილინი,
21

ჰ

რეზონანსული სისშირები, 56, 57
რეზულტატური ეფექტი, 59
როული ეთერები, 43
რხევითი სპექტრები, 25

ს

სივრცითი დაძაბულობა, 28
სიმტრიული, 26, 42, 44
სიხშირე, 5, 6, 7, 29, 30, 39, 52, 54,
57
სინგლეტი, 20
სპირტები, 46, 117
სპინ-სპინური განლეჩა, 70
სპინ-სპინური ურთიერთებები, 69
სპინ-სპინური ურთიერთებების
კონტანტა, 73
სპინ-სპინური ურთიერთებების
ჩახშობა, 78

ტ

ტალლის სიგრძე, 5, 6, 7, 10, 13
ტალლური თეორია, 5
ტალლური რიცხვი, 7, 26
ტეტრამეთილსილანი, 56
ტრიაპლეტი, 70, 76

უ
ულტრაიისფერი, 3, 9
უჯერი ნაერთები, 14

ვ

5-ფენილ-1-პენტინი, 35
ფენილაცეტილენი, 97, 98
ფენილი, 22
ფენოლები, 46
ფერმის რეზონანსი, 29, 30
ფრაგმენტაცია, 100, 111, 112, 114, 115

ქ

ქანქარისებური, 26
ქიმიური წანაცვლება, 57, 59, 64, 65, 66, 79, 81, 82, 83, 94
ქრომოფორი, 15
ქლორანჰიდრიდები, 42
1-ქლორ-1-ფორ-პროპანი, 68

ყ

ყინულმარმარავა, 93

შ

შთანთქმა, 8
შთანთქმის მოლალური კოეფიციენტი, 10

ც

ციკლოალკანები, 13
ციკლოპროპანი, 13, 31

ციკლოჰექსანი, 32
ციკლური დაბაბულობა, 40

წ

წყალბადი, 10, 32, 44, 51, 94, 96

ჭ

ჭიანჭველმჟავა, 107

ხ

ხილული, 6, 9, 10

ჯ

ჯალოგენწარმოებულები, 116
1,3,5-ჰექსატრიინი, 15
ჰირსოქრომია, 23
ჰიპოჰიდრომული წანაცვლება, 16
ჰიპერჰიდრომია, 19
ჰუკის კანონი, 30

სარჩევი

წინასიტყვაობა	3
შესავალი	5
1. ელექტრომაგნიტური გამოსხივება	5
2. შთანთქმა	8
ელექტრონული სპექტრომეტრია	9
შესავალი	9
1. ნაჯერი ნაერთები	13
2. უჯერი ნაერთები	14
3. არომატული ნაერთები	18
ინფრაწითელი სპექტრომეტრია	25
შესავალი	25
1. ინტენსიურობა	28
2. მისადაგება	28
3. ძირითადი ვალენტური სიხშირის გამოთვლა	30
4. ჯგუფური რხევები	31
5. ალკანები და ციკლოალკანები	31
6. ალკენები	32
7. ალკინები	34
8. არენები	35
9. ალდეჰიდები და კეტონები	39
10. კარბონმჟავები და მათი წარმოებულები	42
11. ამინები	44
12. სპირტები და ფენოლები	46
ბირთვულ-მაგნიტური რეზონანსული სპექტრომეტრია	49
ბირთვულ-მაგნიტური რეზონანსული სპექტრომეტრია	50
შესავალი	50
1. ქიმიური წანაცვლება	55
2. ფარდობითი ქიმიური წანაცვლება	55
3. ქიმიურ წანაცვლებაზე მოქმედი ფაქტორები	58
4. ეკრანირების ემპირიული კონსტანტები	64
5. ბმრ-სპექტრომეტრია და სტერეოქიმია	65
6. სპინ-სპინური ურთიერთქმედება	69
7. სპინ-სპინური ურთიერთქმედების კონსტანტა	73
8. გახლების ხასიათი	76
9. სპინ-სპინური ურთიერთქმედების ჩახშობა	78

10. მაგნიტური ეკვივალენტობა სპინ-სპინური ურთიერთებების თვალსაზრისით	79
11. მაგნიტური ეკვივალენტურობა და მათი აღნიშვნა	82
12. ორგანული ნაერთების რ-ბმრ სპექტრომეტრია	84
12.1. ალკინები	84
12.2. სპირტები	86
12.3. ალდეკიდები და კეტონები	90
12.4. კარბონმჟავები	91
12.5. ამინები	94
12.6. ფენოლები	95
13. H ¹ -ბმრ სპექტრების ინტერპრეტაცია	96
მას სპექტრომეტრია	99
შესავალი	99
1. მოლეკულური მასისა და ბრუტო ფორმულის დადგენა	102
2. ორგანული ნაერთის სტრუქტურის დადგენა	108
3. ფრაგმენტაციის ძირითადი წესები	108
4. ალკანები	111
5. ალკენები	113
6. არომატული ნაერთები	114
7. ნახშირწყალბადების ფუნქციური წარმოებულები R-X (X=Hal, OH, NH ₂)	115
7.1. ჰალოგენწარმოებულები	116
7.2. სპირტები	117
7.3. მარტივი ეთერები	119
7.4. ამინები	120
7.5. კარბონილური ნაერთები ალდეკიდები	120
კეტონები	121
7.6. კარბონმჟავები ძირითადი ტერმინები	122
დანართი A	123
დანართი B	128
დანართი C	130
დანართი D	131
სარჩევი	155
	160

რედაქტორი
კორექტორი
კომპიუტერული უზრუნველყოფა ე. ელიზბარაშვილის

გადაეცა წარმოებას **00. 00. 2000 წ.**,
ხელმოწერილია დასაბეჭდად **00. 00. 2000 წ.**,
ქაღალდის ზომა **60×84 1/16**, ნაბეჭდი თაბაზი **0000**
სააღრიცხვო-საგამომცემლო თაბაზი **0000**

ტირაჟი 100 ეგზ.
შეკვეთა № **000**

გამომცემლობა „ტექნიკური უნივერსიტეტი“,
თბილისი, მ. კოსტავას 77



სტუ-ს სტამბა, თბილისი, მ. კოსტავას 75